

CENTRO DE CIENCIAS AGROPECUARIAS

DEPARTAMENTO DE BIOLOGÍA

MAESTRÍA EN CIENCIAS AGRONÓMICAS Y VETERINARIAS

TESIS

"FILOGENIA DEL COMPLEJO BOUTELOUA BARBATA BASADA EN DATOS MOLECULARES"

PRESENTA

Biól. Marisol Pacheco Jiménez

PARA OBTENER EL GRADO DE MAESTRA EN CIENCIAS AGRONÓMICAS

TUTOR

Dra. María Elena Siqueiros Delgado

COMITÉ TUTORAL

Dra. Amanda Fisher
Dra. Rosa Cerros Tlatilpa
Dr. Ernesto Flores Ancira

Aguascalientes, Ags., Junio del 2018



Por medio del presente, tengo a bien informarle que la **BIOL. MARISOL PACHECO JIMÉNEZ** con ID 71766, estudiante de la Maestría en Ciencias Agronómicas y Veterinarias ha cumplido de manera satisfactoria el proceso de redacción, revisión y correcciones de su tesis titulada **FILOGENIA DEL COMPLEJO BOUTELOUA BARBATA BASADA EN DATOS MOLECULARES.**

Por lo anteriormente mencionado y con fundamento en el Artículo 175, Apartado II del Reglamento General de Docencia, me permito emitir el VOTO APROBATORIO para la impresión del documento y continuar con el proceso de titulación y programación del examen de grado.

Pongo lo anterior a su digna co<mark>nsiderac</mark>ió<mark>n y sin ot</mark>ro particular por el momento, me permito enviarle un cordial saludo.

ATENTAMENTE

"SE LUMEN PROFERRE"

Aguascalientes, Ags. a 15 de Junio de 2018

Dra. María Elena Siqueiros Delgado

Tutora de tesis



Por medio del presente, tengo a bien informarle que la **BIOL. MARISOL PACHECO JIMÉNEZ** con ID 71766, estudiante de la Maestría en Ciencias Agronómicas y Veterinarias ha cumplido de manera satisfactoria el proceso de redacción, revisión y correcciones de su tesis titulada **FILOGENIA DEL COMPLEJO BOUTELOUA BARBATA BASADA EN DATOS MOLECULARES.**

Por lo anteriormente mencionado y con fundamento en el Artículo 175, Apartado II del Reglamento General de Docencia, me permito emitir el **VOTO APROBATORIO** para la impresión del documento y continuar con el proceso de titulación y programación del examen de grado.

Pongo lo anterior a su digna consid<mark>eración y sin otro par</mark>ticular por el momento, me permito enviarle un cordial saludo.

ATENTAMENTE

"SE LUMEN PROFERRE"

Aguascalientes, Ags. a 15 de Junio de 2018

Dra. Amanda Fisher Asesor de tesis

amonda E. Fisher



Por medio del presente, tengo a bien informarle que la **BIOL. MARISOL PACHECO JIMÉNEZ** con ID 71766, estudiante de la Maestría en Ciencias Agronómicas y Veterinarias ha cumplido de manera satisfactoria el proceso de redacción, revisión y correcciones de su tesis titulada **FILOGENIA DEL COMPLEJO BOUTELOUA BARBATA BASADA EN DATOS MOLECULARES.**

Por lo anteriormente mencionado y con fundamento en el Artículo 175, Apartado II del Reglamento General de Docencia, me permito emitir el **VOTO APROBATORIO** para la impresión del documento y continuar con el proceso de titulación y programación del examen de grado.

Pongo lo anterior a su digna consid<mark>eración y sin otro par</mark>ticular por el momento, me permito enviarle un cordial saludo.

ATENTAMENTE

"SE LUMEN PROFERRE"

Aguascalientes, Ags. a 12 de Junio de 2018

Dra. Rosa Cerros Tlatilpa Asesor de tesis

Losa levros Italipa



Por medio del presente, tengo a bien informarle que la **BIOL. MARISOL PACHECO JIMÉNEZ** con ID 71766, estudiante de la Maestría en Ciencias Agronómicas y Veterinarias ha cumplido de manera satisfactoria el proceso de redacción, revisión y correcciones de su tesis titulada **FILOGENIA DEL COMPLEJO BOUTELOUA BARBATA BASADA EN DATOS MOLECULARES.**

Por lo anteriormente mencionado y con fundamento en el Artículo 175, Apartado II del Reglamento General de Docencia, me permito emitir el VOTO APROBATORIO para la impresión del documento y continuar con el proceso de titulación y programación del examen de grado.

Pongo lo anterior a su digna co<mark>nsiderac</mark>ió<mark>n y sin ot</mark>ro particular por el momento, me permito enviarle un cordial saludo.

ATENTAMENTE

"SE LUMEN PROFERRE"

Aguascalientes, Ags. a 15 de Junio de 2018

Dr. Ernesto Flores Ancira

Asesor de tesis



OF. NO. CCA-D-11-15-081-18

CENTRO DE CIENCIAS AGROPECUARIAS

Dra. en Admón. María del Carmen Martínez Serna Directora General de Investigación y Posgrado PRESENTE.

Por medio de la presente me permito comunicarle a usted que la tesis titulada "<u>FILOGENIA DEL COMPLEJO BOUTELOUA BARBATA BASADA EN DATOS MOLECULARES"</u>, de la alumna **MARISOL PACHECO JIMENEZ**, egresada de la Maestría en Ciencias Agronómicas y Veterinarias, respeta las normas y lineamientos establecidos institucionalmente para su elaboración y su autor cuenta con el voto aprobatorio de su tutor y comité tutorial.

Sin más por el momento aprovecho la ocasión para enviarle un cordial saludo.

A T E N T A M E N T E

Jesús María, Ags., 18 de Junio del 2018

"SE LUMEN PROFERRE"

Dr. Raúl Ortiz Martínez Decano del Centro



c.c.p. Jefa del Departamento de Control Escolar

c.c.p. Sección de Certificados y Títulos

c.c.p. Secretario Técnico

c.c.p. Estudiante

c.c.p. Archivo

TESIS TESIS TESIS TESIS

AGRADECIMIENTOS

A mi *alma mater*, la Universidad Autónoma de Aguascalientes, por ser mi segunda casa por tantos años y ayudarme a convertirme en la profesionista que soy ahora.

Al Consejo Nacional de Ciencia y Tecnología por el apoyo brindado con la beca número 741986.

A la Dra. María Elena Siqueiros, porque además de ser una excelente maestra y tutora, es una persona increíble. Gracias por siempre estar dispuesta a escuchar mis dudas e inquietudes, y por adentrarme al hermoso mundo de los pastos y la filogenia.

A mis asesores; la Dra. Rosa Cerros, Dra. Amanda Fisher y el Dr. Ernesto Flores, por brindarme su conocimiento y apoyo en la realización de este trabajo.

A todo el personal del laboratorio de Biotecnología. Gracias por su amabilidad y por permitirme hacer uso de sus instalaciones, equipo y material para llevar a cabo la parte experimental del proyecto.

A mis compañeras del herbario, Gera, Marce y María Elena, por asesorarme, ayudarme y echarme porras siempre que tuvieron la oportunidad.

A Gera, gracias por ser mi compañera de laboratorio y campo, además de ser mi amiga y guía durante todo este proceso. No hubiera sido lo mismo sin ti.

DEDICATORIAS

A mis tres superhéroes: mi mamá, papá y hermano.

Gracias por enseñarme el verdadero significado de la familia, por siempre estar a mi lado cuando más lo he necesitado, por el apoyo incondicional y amor tan grande que me han hecho sentir en cada momento de mi vida.

Gracias por motivarme a seguir soñando en grande y decirme que puedo lograr todo lo que me proponga; y que por más que el camino se ponga difícil, ustedes siempre estarán ahí para ayudarme.

Dios me dio a la mejor familia que existe y agradezco el poder compartir esta aventura con personas tan maravillosas como ustedes.

Armando, amor de mi corazón, gracias por estar ahí en cada momento bueno y malo de esta travesía. Por hacerme reír, abrazarme o simplemente tomarme de la mano cuando más lo necesitaba. Por entenderme en mis momentos de enojo y frustración, y festejar en los momentos de felicidad.

Gracias por siempre saber que decir para que no me diera por vencida y siguiera luchando para cumplir mi objetivo.

No podría haber elegido un mejor compañero de vida.

Gracias por creer en mi, sin ustedes no hubiera podido lograr esto. ¡Los amo!

ÍNDICE GENERAL

ÍNDICE GENERAL	1
ÍNDICE DE TABLAS	4
ÍNDICE DE FIGURAS	5
ÍNDICE DE ANEXOS	7
ACRÓNIMOS	8
RESUMEN	g
ABSTRACT	11
INTRODUCCIÓN	
PLANTEAMIENTO DEL PROBLEMA	14
HIPÓTESIS DE LA INVESTIGACIÓN	14
OBJETIVOS	14
Objetivo general	
Objetivos específicos	15
JUSTIFICACIÓN	15
MARCO TEÓRICO	15
Los pastizales	15
Importancia de los pastizales	16
El género Bouteloua Lagasca	16
Complejo <i>Bouteloua barbata</i>	17
Filogenia de <i>Bouteloua</i>	17
CAPÍTULO I. FILOGENIA DEL COMPLEJO BOUTELOUA BARBATA	21
MATERIALES Y MÉTODOS	21
Muestras	21
Extracción de ADN	26
Amplificación, purificación y secuenciación	26
Edición y alineamiento de secuencias	28
Análisis filogenético: Inferencia Bayesiana	28
RESULTADOS	29
Espaciador transcrito interno (ITS)	29
Intrón de la proteína ribosomal L16 (rpl16)	31

Análisis combinado (ITS + intrón <i>rpl</i> 16)	33
DISCUSIÓN	35
ITS y Combinado (ITS+ intron rpl16)	35
Intrón <i>rpl</i> 16	37
CAPÍTULO II. ANÁLISIS MORFOMÉTRICO	38
MATERIALES Y MÉTODOS	38
Material y caracteres analizados	38
Análisis	
Test de Mardia	39
Análisis de Componentes Principales (PCA)	39
PERMANOVA	40
Análisis de conglomerados-UPGMA	40
RESULTADOS	41
Análisis de Componentes Principales (PCA)	41
<i>B. barbata</i> var. <i>barbata</i> , var. r <mark>othrockii</mark> y v <mark>ar. s</mark> onorae	41
<i>B. parryi</i> var. <i>parryi y</i> var. g <mark>entryi</mark>	44
B. barbata var. barbata y <mark>var. roth</mark> ro <mark>ckii</mark>	44
B. barbata y B. parryi	44
PERMANOVA	47
Análisis de conglomerados-UPGMA	48
DISCUSIÓN	50
CAPÍTULO III. EVOLUCIÓN DE CARACTERES	52
MATERIALES Y MÉTODOS	
RESULTADOS	54
Duración anual o perenne	54
Longitud de tallo	54
Ancho de lámina foliar	54
No. de ramas por inflorescencia	58
Longitud de espiguillas	58
Presencia/ausencia de pubescencia de base papilosa en la segun	da gluma58
Presencia/ausencia de aristas en pálea	62
DISCUSIÓN	64

- 2 -

Duración anual o perenne	64
Longitud de tallo	64
Ancho de lámina foliar	65
No. de ramas por inflorescencia	65
Longitud de espiguillas	66
Presencia/ausencia de pubescencia de base papilosa en la segunda gluma	66
Presencia/ausencia de aristas en pálea	67
CONCLUSIONES	68
GLOSARIO	70
BIBLIOGRAFÍA	72
ANEXOS	77

ÍNDICE DE TABLAS

Tabla 1. Distribución y hábitat de las especies del complejo Bouteloua barbata de acuerdo
a Gould¹ (1980) y Herrera <i>et al.</i> ² (2004)18
Tabla 2. Colectas incluidas en los análisis filogenéticos de la región ITS en núcleo (1) y el
intrón <i>rpl</i> 16 en cloroplasto (²)
Tabla 3. Información de las secuencias disponibles en GenBank, que fueron incluidas en el
análisis filogenético de la región ITS
Tabla 4. Información de las secuencias proporcionadas por el Dr. Travis Columbus, del
Rancho Santa Ana Botanic Garden, utilizadas en el análisis filogenético de la región ITS25
Tabla 5. Primers utilizados para la amplificación y secuenciación de ADN27
Tabla 6. Caracteres utilizados en los análisis morfométricos39
Tabla 7. Matriz de resultados obtenidos e <mark>n el</mark> análisis PERMANOVA
Tabla 8. Caracteres utilizados para esti <mark>mar su e</mark> volución en los taxa del complejo <i>Bouteloua</i>
barbata52

ÍNDICE DE FIGURAS

Fig. 1. Arbol filogenetico obtenido del analisis de la matriz de la region ITS de los individuos
del complejo Bouteloua barbata y grupo externo, mediante Inferencia Bayesiana 30
Fig. 2. Árbol filogenético obtenido del análisis de la matriz del intrón rpl16 de los individuos
del complejo Bouteloua barbata y grupo externo, mediante Inferencia Bayesiana32
Fig. 3. Árbol filogenético obtenido del análisis de la matriz combinada (ITS + intrón rpl 16)
de los individuos del complejo Bouteloua barbata y grupo externo, mediante Inferencia
Bayesiana34
Fig. 4. Análisis de componentes principales de todos los individuos muestreados del
complejo Bouteloua barbata42
Fig. 5. Análisis de componentes principales de los individuos de Bouteloua barbata var.
barbata (cuadros rojos), Bouteloua barbata var. sonorae (triángulos verdes) y Bouteloua
barbata var. rothrockii (estrellas moradas)43
Fig. 6. Análisis de componentes principales de los individuos de <i>B. barbata</i> var. barbata
(cuadros rojos) y <i>B. barbata</i> var. <i>rothrockii</i> (estrellas moradas)
Fig 7. Análisis de componentes principales de los individuos de B. barbata y B. parryi con
sus respectivas variedades46
Fig.8. Dendograma obtenido mediante el algoritmo de UPGMA (Unweighted pair-group
average) de los individuos analizados pertenecientes al complejo Bouteloua barbata49
Fig. 9. Reconstrucción evolutiva de la duración anual o perenne en los taxa del complejo <i>B</i> .
barbata, en base a una hipótesis de ITS obtenida mediante Inferencia Bayesiana55
Fig. 10. Reconstrucción evolutiva de la longitud de tallo en los taxa del complejo <i>B. barbata</i> ,
en base a una hipótesis de ITS obtenida mediante Inferencia Bayesiana56
Fig. 11. Reconstrucción evolutiva del ancho de la lámina foliar en los taxa del complejo B.
barbata, en base a una hipótesis de ITS obtenida mediante Inferencia Bayesiana57
Fig. 12. Reconstrucción evolutiva del número de ramas por inflorescencia en los taxa del
complejo B. barbata, en base a una hipótesis de ITS obtenida mediante Inferencia
Bayesiana59
Fig. 13. Reconstrucción evolutiva de la longitud de espiguillas en los taxa del complejo B.
barbata, en base a una hipótesis de ITS obtenida mediante Inferencia Bayesiana60

- 5 -



Fig. 14. Reconstrucción evolutiva de la presencia o ausencia de pubescencia de base
papilosa en la segunda gluma en los taxa del complejo B. barbata, en base a una hipótesis
de ITS obtenida mediante Inferencia Bayesiana61
Fig. 15. Reconstrucción evolutiva de la presencia o ausencia de aristas en la pálea en los
taxa del complejo B. barbata, en base a una hipótesis de ITS obtenida mediante Inferencia
Bayesiana62



ÍNDICE DE ANEXOS

ANEXO A. Fotos e ilustraciones de los taxa del complejo <i>B. barbata</i>	77
ANEXO B. Protocolo CTAB 2% de extracción de DNA (MINIPREP) (Doyle y Doy	yle,1987;
modificado por Columbus <i>et al.</i> ,1998)	79
ANEXO C. Secuencias alineadas de la región ITS de las especies del complejo ${\it B}$. barbata
y grupo externo, incluidas en los análisis filogenéticos	81
ANEXO D. Secuencias alineadas del intrón rpl16 de las especies del complejo B. L	barbata y
grupo externo, incluidas en los análisis filogenéticos	99
ANEXO E. Ejemplares utilizados en los análisis morfométricos, con sus res	spectivos
caracteres morfológicos	106



ACRÓNIMOS

ADN Ácido desoxirribonucleico

CTAB Bromuro de hexadeciltrimetilamonio
 dNTP Desoxirribonucleótidos trifosfato
 EDTA Ácido etilendiaminotetraacético

gr Gramo

GTR General Time Reversible; General de Tiempo Reversible

H₂O Agua

HCI Ácido clorhídrico

HKY Hasegawa-Kishino-Yano

HUAA Herbario de la Universidad Autónoma de Aguascalientes

hr Hora

ITS Internal Transcribed Spacer; Espaciador transcrito interno

PERMANOVA Permutational analysis of variance

KCI Cloruro de potasio

M Molar

MCMC Markov Chain Monte Carlo

minMinutomMMilimolarmlMililitro

NaCl Cloruro de sodio ng Nanogramos

PCA Principal Component Analysis; Análisis de Componentes Principales
PCR Polymerase Chain Reaction; Reacción en Cadena de la Polimerasa

pH Potencial de Hidrógeno

rpl16 Ribosomal protein L16; Intrón de la proteína ribosomal L16

Tris (hidroximetil) aminometano
UPGMA Unweighted pair-group average

vol Volumen

°C Grados Celsius

μΙ Microlitros
μΜ Micromolar

RESUMEN

Uno de los géneros más representativos de los pastizales del continente americano es el de *Bouteloua*. Este género puede dividirse en clados denominados complejos, siendo uno de ellos el de *Bouteloua barbata* el cual se encuentra integrado por ocho taxa. Si bien el complejo ha sido incluido en algunos estudios moleculares que se han realizado a nivel de género, las relaciones filogenéticas inter e intraespecíficas no han sido dilucidadas. Debido a lo expuesto anteriormente se decidió realizar este estudio, en el cual los principales objetivos fueron establecer las relaciones filogenéticas del complejo *Bouteloua barbata*, estimar la monofilia de sus especies, definir los caracteres morfológicos diagnósticos que permitan la identificación de sus taxa y definir los caracteres morfológicos apomórficos y plesiomórficos del grupo.

Los individuos utilizados en este estudio fueron obtenidos mediante colectas realizadas en campo y ejemplares de herbarios; para los análisis filogenéticos además se incluyeron secuencias de GenBank para cubrir el mayor rango de distribución de los taxa. Secuencias de la región ITS y del loop D4 del intrón *rpl*16 fueron analizadas mediante Inferencia Bayesiana para inferir la filogenia del complejo.

Para conocer cuales de los 15 caracteres morfológicos medidos podrían ser utilizados para la circunscripción de los taxa de *B. barbata*, se realizaron análisis de componentes principales, conglomerados y PERMANOVA de 147 ejemplares. Mientras que para definir los caracteres morfológicos apomórficos y plesiomórficos del grupo, se mapearon los caracteres obtenidos como informativos de los análisis morfométricos en una hipótesis filogenética de ITS, donde solo se consideraron los individuos de los que se tenían las mediciones correspondientes.

En los análisis filogenéticos se observó que la única especie monofilética del complejo es *B. breviseta*. Por su parte, en los análisis morfométricos se obtuvieron nueve caracteres morfológicos informativos, sin embargo, al mapearlos en la hipótesis de ITS para observar su evolución, se concluyó que sólo cuatro pueden ser utilizados para diferenciar a algunos de los taxa del complejo. Para *B. ramosa* el presentar de 1 a 2 ramas por inflorescencia es

- 9 -



su sinapomorfia, mientras que para *B. elata* su autapomorfia es la longitd del tallo; la presencia de pubescencia de base papilosa en la segunda gluma es la sinapomorfia de *B. elata* y *B. parryi* y el caracter más significativo para diferenciar a *B. parryi* de *B. barbata*. Por su parte, la longitud del tallo y la duración de la planta fueron los caracteres que se encontraron como útiles para diferenciar a *B. barbata* var. *barbata* de la var. *rothrockii*; ya que la var. *rothrockii* es perenne y de tallos largos, mientras que la var. *barbata* es anual y presenta tallos más cortos.

Con la información obtenida en los análisis moleculares y morfométricos se pudo concluir que *B. barbata* var. *barbata* y *B. barbata* var. *rothrockii* están bien delimitadas entre ellas y por lo tanto sí son variedades diferentes; sin embargo, el encontrar algunas formas intermedias sugieren que está existiendo hibridación entre ellas. Por otra parte, la var. *sonorae* no logró diferenciarse de las otras dos variedades de *B. barbata*, debido a esto y a que los caracteres considerados como diagnósticos de dicha variedad se encontraron en la var. *rothrockii*, se concluyó que dicho taxón realmente no existe.

Palabras clave: Bouteloua, caracteres morfológicos, filogenia, intrón rpl16, ITS.

ABSTRACT

America one of the most representative genus of grasslands is *Bouteloua*. This genus can be divided into complexes, such as *Bouteloua barbata*, which is a group integrated by eight taxa. Although the complex has been included in some molecular studies that have been carried out at the genus level, their inter and intraspecific phylogenetic relationships have not been elucidated. Due to this, it was decided to carry out this study, in which the main goals were to stablish the phylogenetic relationships of the *Bouteloua barbata* complex, to estimate the monophyly of the species complex, define the diagnostic morphological characters that allow the identification of its taxa and define the apomorphic and plesiomorphic characters of the group.

Specimens were obtained through field and herbarium collections. For phylogenetic analyzes GenBank sequences were also included to cover the most of their distribution range. ITS and D4 loop *rpl*16 intron DNA sequences were analyzed by Bayesian Inference to infer the complex phylogeny.

To know which of the 15 morphological characters measured could be used for the circumscription of *B. barbata* taxa, analysis of principal components, cluster and PERMANOVA of 147 specimens were performed. To define the apomorphic and plesiomorphic characters of the group, the ones obtained as informative of the morphometric analysis were mapped in a phylogenetic hypothesis of ITS.

In the phylogenetic analyzes it was observed that the only monophyletic species of the complex is *B. breviseta*. On the other hand, in the morphometric analysis nine informative morphological characters were obtained, however, when mapping them in the ITS hypothesis to observe their evolution, it was concluded that only four can be used to differentiate some of the taxa of the complex. For *B. ramosa*, presenting 1 to 2 branches per inflorescence is its synapomorphy, while for *B. elata* its autapomorphy is the length of the culms; the presence of papillose-base hairs on the second glume is the synapomorphy of *B. elata* and *B. parryi* and the most significant character to differentiate *B. parryi* from *B. barbata*. On the other hand, the length of the culms and the duration of the plant help to

differentiate *B. barbata* var. *barbata* of the var. *rothrockii*; because var. *rothrockii* is perennial and long, while var. *barbata* is annual and has shorter culms.

With the information obtained in the molecular and morphometric analyzes it was possible to conclude that *B. barbata* var. *barbata* and *B. barbata* var. *rothrockii* are well delimited among them and therefore they are different varieties; however, finding some intermediate forms suggests that there is hybridization between them. On the other hand, var. *sonorae* could not be differentiated from the other two varieties of *B. barbata*, because of this and that the characters considered as diagnostic of this variety were also found in var. *rothrockii*, it was concluded that this taxon does not really exist.

Key words- Bouteloua, morphological characters, phylogeny, rpl16 intron, ITS.



TESIS TESIS TESIS

INTRODUCCIÓN

Las comunidades vegetales donde el papel preponderante corresponde a las gramíneas, se les denomina pastizales. La familia de las gramíneas es una de las más importantes económicamente hablando, ya que constituyen la base de la alimentación humana y el medio natural más propicio para el aprovechamiento pecuario (Rzedowski, 2006). Desde el punto de vista ecológico también presentan una gran importancia por su diversidad, abundancia y capacidad de formar suelos (Herrera, 2001). Sin embargo, actualmente los pastizales son uno de los ecosistemas más severamente dañados, y por lo tanto más vulnerables por el impacto que las actividades humanas han ejercido sobre ellos desde hace miles de años (Villers y Trejo, 2000; Breymeyer *et al.*, 1996).

Los pastizales están compuestos por una gran diversidad de especies que interactúan entre sí y con el ambiente en que se encuentran (Martín y Agüero, 2014). Algunas de las especies de gramíneas que forman parte de estos ecosistemas son del género *Andropogon, Eragrostis, Aristida, Heteropogon, Muhlenbergia,* entre otros, siendo *Bouteloua* el género más representativo (Rzedowski, 2006). En el continente americano, este género es considerado como uno de los más importantes, no sólo debido a que sus especies son elementos significativos de las asociaciones naturales, sino que también son las de mayor calidad forrajera en terrenos dedicados al pastoreo extensivo (Herrera *et al.*, 2004).

Los miembros de *Bouteloua* pueden ser anuales o perennes. Se caracterizan por poseer inflorescencias unilaterales formadas por una a pocas ramas con muchas espiguillas, o bien, por muchas ramas con pocas espiguillas (Gould, 1980). El número básico de cromosomas de *Bouteloua* es x=10, sin embargo, se han encontrado especies diploides y poliploides (Gould, 1980; Siqueiros, 2001). Todos los integrantes de este género poseen fotosíntesis C4, con anatomía Kranz, la cual en algunas especies ha sido útil para inferir relaciones filogenéticas (Columbus, 1996, 1999; Siqueiros y Herrera, 1996; Siqueiros, 2007).

El género *Bouteloua* está constituido por diferentes complejos, que son grupos de especies que comparten el mismo ancestro y que están cercanamente relacionadas entre si. Uno de

dichos complejos es el de *Bouteloua barbata*, el cual está integrado por ocho taxa; *Bouteloua barbata* var. *barbata*, var. *rothrockii* y var. *sonorae*, *B. elata*, *B. parryi* var. *parryi* y var. *gentryi*, *B. breviseta* y *B. ramosa* (Columbus *et al.*, 1998).

PLANTEAMIENTO DEL PROBLEMA

Por su gran importancia, el género *Bouteloua* ha sido ampliamente estudiado desde el punto de vista de taxonomía tradicional en base a caracteres morfológicos, lo cual en muchos casos no permite la delimitación precisa de las especies por las similitudes que existen entre ellas, además de que usualmente no reflejan la historia evolutiva del grupo. Por ello es necesario buscar otros criterios de delimitación de especies que permitan una identificación clara y certera de las mismas, y que además sean congruentes con su filogenia.

Por otro lado, es importante mencionar que a pesar de que se han realizado varias publicaciones acerca de las relaciones filogenéticas del género *Bouteloua* (Columbus *et al.*,1998, 2000; Siqueiros *et al.*, 2013; Peterson *et al.*, 2015), las relaciones evolutivas entre las especies del complejo *Bouteloua barbata* han sido poco exploradas, por lo que no se conoce la monofilia de sus taxa y la evolución de sus caracteres morfológicos.

HIPÓTESIS DE LA INVESTIGACIÓN

El complejo *Bouteloua barbata* es un grupo monofilético, sin embargo, algunas de las especies que lo constituyen no parecen ser grupos naturales.

OBJETIVOS

Objetivo general

Establecer las relaciones filogenéticas del complejo Bouteloua barbata.

Objetivos específicos

- Estimar la monofilia de las especies que forman el complejo Bouteloua barbata.
- Definir los caracteres morfológicos diagnósticos que permitan la identificación de las especies del complejo Bouteloua barbata.
- Definir los caracteres morfológicos apomórficos y plesiomórficos del grupo.

JUSTIFICACIÓN

Los pastizales son muy importantes para la vida humana, ya que proporcionan servicios ambientales esenciales para la vida diaria, como la captura y el almacenamiento de agua en acuíferos, lagos y ríos; la producción de alimentos a partir de los sistemas agrícolas; la captura del bióxido de carbono producido por la actividad humana al quemar combustibles fósiles; la estabilidad climática por la regulación del ciclo hídrico, humedad y temperatura del aire; el mantenimiento de suelos fértiles; y el control de deslaves y arrastres masivos de suelo por el efecto de lluvias torrenciales (CONABIO, 2006). No obstante, la pérdida de pastizales ha alcanzado niveles preocupantes, ya que su cobertura se ha reducido en los últimos 150 años a menos del 15% de la que tenía históricamente, esto como resultado del manejo inadecuado de la ganadería, expansión de la agricultura, urbanización, cambio climático y la presencia de especies invasoras (Guzmán *et al.*, 2011).

Por ello es importante realizar este estudio, ya que al definir las relaciones filogenéticas entre las especies del complejo *Bouteloua barbata*, se facilitará su circunscripción y así en un futuro se podrá realizar una clasificación más certera, con la cual se lograrán establecer programas de conservación para sus especies, las cuales constituyen un recurso forrajero importante de los pastizales mexicanos.

MARCO TEÓRICO

Los pastizales

Los pastizales naturales son comunidades vegetales compuestas por una diversidad importante de especies herbáceas y leñosas dominadas por gramíneas (Martín y Agüero,

- 15 -



2014). Aunque existen pastizales casi en toda la República Mexicana, éstos son mucho más extensos en las regiones semiáridas y de clima templado. También son comunes en zonas planas o de topografía ligeramente ondulada, y con menor frecuencia se presentan

Importancia de los pastizales

sobre declives pronunciados (Rzedowski, 2006).

Además de todo lo expuesto anteriormente los pastizales son de suma importancia desde el punto de vista biológico, ya que son el hábitat específico y alimento de muchas especies de fauna silvestre como el antílope, bisonte, perros de la pradera y diversas aves (Gould y Shaw, 1992). Asimismo, se sabe que las gramíneas forrajeras constituyen la base de la ganadería intensiva y extensiva, dada su capacidad de soportar la defoliación, el pisoteo, tipos de dentición y pezuñas, incendios naturales e inducidos y sequías intermitentes (Herrera *et al.*, 2004).

El género Bouteloua Lagasca

Bouteloua es un grupo monofilético con 57 especies sensu Columbus (1999) y cuyo centro de origen es México, ya que de acuerdo con Rzedowski (2006) la mayor diversidad del género se encuentra en nuestro país.

Las especies de *Bouteloua* habitan por lo general en zonas conservadas o con poco disturbio, sin embargo, algunas pueden comportarse como malezas estrictas, entre las que se pueden citar *B. aristidoides*, *B. barbata* y *B. simplex*. Se desarrollan prácticamente en todo tipo de vegetación, desde pastizales naturales hasta bosques subtropicales, pasando por los diferentes tipos de matorrales.

A pesar de que muchas de sus especies se distribuyen en todo el continente, algunas se encuentran mucho más restringidas, como es el caso de *B. breviseta* la cual se presenta solo en el norte de México y sur de Estados Unidos de América (EUA). También se conoce que otras especies del género son endémicas de algún lugar, o bien, presentan una distribución disyunta (*B. alamosana*, *B. barbata* var. *barbata*) (Herrera *et al.*, 2004).

TESIS TESIS TESIS

Complejo Bouteloua barbata

El complejo *Bouteloua barbata* está conformado por 8 taxa; *Bouteloua barbata* var. *barbata*, var. *rothrockii* y var. *sonorae*, *B. elata*, *B. parryi* var. *parryi* y var. *gentryi*, *B. breviseta* y *B. ramosa* (Columbus *et al.*, 1998) (Anexo A). La distribución de los integrantes de este complejo va desde el sur de Estados Unidos de América hasta Argentina (Tabla 1).

Las especies del complejo pueden ser anuales o perennes, cespitosas o rizomatosas, y rara vez estoloníferas. Sus tallos pueden medir de 1-140 cm de alto, erguidos, a veces geniculados; entrenudos glabros, de vez en cuando glaucos. Hojas basales o caulinares; vainas glabras; lígulas con 0.1-0.5 mm de largo, con una franja de pelos ciliada; vainas de 1-50 cm de largo, 0.7-4 mm de ancho, planas, dobladas o involutas, glabras, escabrosas y a veces con pelos de base papilosa. Inflorescencia de 0.7-60 cm de largo con 1-20 ramas; ramas de 1-8 cm de largo, con 30-100 espiguillas, enderezadas a recurvadas, raquis a veces con pelos de base papilosa (*B. parryi*); desarticulación por encima de las glumas. Espiguillas pectinadas con una flor basal perfecta, y una o dos flores rudimentarias; glumas superiores de 0.5-4 mm de largo, 1-nervada, de vez en cuando con pelos de base papilosa (*B. parryi*); lema de 2-4 mm largo, 3-nervada y con 3 aristas, aristas de 1-4 mm de largo, las aristas centrales flanqueadas por dos lóbulos membranosos (Peterson *et al.*, 2015).

Filogenia de Bouteloua

Desde el punto de vista ecológico y taxonómico, con base en caracteres morfológicos o anatómicos, *Bouteloua* ha sido ampliamente estudiado. Algunas de las revisiones taxonómicas exclusivas del género son la de Griffiths (1912), Gould (1980), Herrera y De la Cerda (1997), y Herrera *et al.* (2004).

Con respecto a las relaciones filogenéticas del género, Columbus *et al.* (2007), Hilu y Alice (2001), Liu *et al.* (2005), y Peterson *et al.* (2010) aportaron datos de la subfamilia Chloridoideae, pero solo con el objetivo de conocer la posición del género *Bouteloua* dentro de esta.

Tabla 1. Distribución y hábitat de las especies del complejo *Bouteloua barbata* de acuerdo a Gould¹ (1980) y a Herrera *et al.*² (2004).

		Hábitat
Bouteloua barbata	• EUA: Arizona, California,	Altitud de 20 a 2550 m,
Lag. var. <i>barbata</i>	Colorado, Nevada, Nuevo	predominando entre los
	México, Texas y Utah. 1	1800 a 2000 m. Orilla de
	México: Aguascalientes, Baja	caminos, bordos, arroyos;
	California, Baja California Sur,	áreas con disturbio,
	Coahuila, Chihuahua,	suelos arenosos,
	Durango, Guanajuato,	gravosos y arcillosos
	Guerrero, Hidalgo, Nuevo	(zonas de pastoreo, áreas
	León, Oaxaca, Puebla,	de cultivo); matorral
	Querétaro, San Luis Potosí,	desértico micrófilo,
	Jalisco, <mark>Sinalo</mark> a, Sonora y	espinoso, subespinoso,
	Zacat <mark>ecas. ¹</mark>	sarco-crasicaule y dunas
	Argentina ²	arenosas. ²
Bouteloua barbata	• E <mark>UA: Ariz</mark> on <mark>a, Nuevo M</mark> éxico y	Altitudes de 750 a 1700
var. <i>rothrockii</i> (Vasey)	California. ¹	m. Laderas secas y
Gould	• México: Baja California Sur,	suelos arenosos.1
	Chi <mark>huahua,</mark> Coahuila,	
	Durang <mark>o, Sina</mark> loa y Sonora. ¹	
Bouteloua barbata	México: Sinaloa y Sonora. 1	Altitud: 130 a 1500 m.
var. <i>sonorae</i>		Suelos arenosos de los
(Griffiths) Gould, Ann		alrededores de selva baja
		caducifolia y zonas
		costeras abiertas. 2

TESIS TESIS TESIS

Bouteloua parryi (E.	EUA: Arizona y Nuevo México	Altitud: 50 a 2600 m.
Fourn.) Griffiths var.	2.	Laderas arenosas,
parryi	 México: Coahuila, Chihuahua, Colima, Durango, Jalisco, San Luis Potosí, Sinaloa, Sonora y Zacatecas² 	mesetas, colinas rocosas y a orilla de carreteras. ²
Bouteloua parryi (E.	 México: Durango y Sinaloa. ¹ 	Altitud: 0 a 730 m. Claros
Fourn.) Griffiths var.		de bosque, matorral
gentryi (Gould) Gould		espinoso, orillas de arroyos y suelos
		arenosos, a elevaciones bajas. ²
Bouteloua elata	• México: C <mark>hi</mark> apas, Colima y	Altitud: 400 a 1500 m.
Reeder & C.	Jalisco ²	Bosques tropicales caducifolios, en laderas rocosas del Pacífico. ²
Bouteloua breviseta	• EUA: Nuevo México y Texas. 2	Altitud: 900 a 2400 m.
Vasey, Contr	México: Chihuahua ²	Laderas pedregosas y
		secas, a lo largo de
		arenas yesosas y
		calcáreas. ²
Bouteloua ramosa	• EUA: Texas. ²	Altitud: 900 a 2400 m.
Scribn. ex Vasey	México: Chihuahua, Coahuila,	Laderas pedregosas y
	Durango, Guanajuato, Jalisco,	secas, y a lo largo de
	Nuevo León, San Luis Potosí y	arenas yesosas y
	Zacatecas ²	calcáreas. ²

Las primeras contribuciones significativas sobre la filogenia del género abarcando la mayoría de las especies *sensu* Gould (1980) fueron publicadas por Columbus *et al.* (1998, 2000), ya que proporcionaron un panorama general de las relaciones entre las especies de *Bouteloua* basadas en secuencias de ADN nuclear y de cloroplasto. Derivado de estos

resultados se propuso la ampliación del género de 42 (Gould, 1980; Beetle, 1982; Columbus, 1996) a 57 especies. Además de que emergieron varias preguntas con respecto a la evolución de algunos caracteres del género, así como de las relaciones filogenéticas entre las especies y dentro de las mismas.

En lo que se refiere a aportaciones de las relaciones filogenéticas entre las especies del género, además de las de Columbus *et al.* (1998 y 2000) las cuales incluyen solo una o dos colectas por especie, están la de Siqueiros *et al.* (2013) y Peterson *et al.* (2015). Siqueiros *et al.* (2013) propusieron la primera hipótesis filogenética de las especies del complejo *Bouteloua curtipendula* en base a datos moleculares de núcleo y cloroplasto; mientras que Peterson *et al.* (2015) obtuvieron una clasificación subgenérica incluyendo la nueva especie *Bouteloua herrera-arrietae*.

Con respecto a la filogenia de las especies del complejo *Bouteloua barbata*, solamente se tienen la de Columbus *et al.* (1998 y 2000) y Peterson *et al.* (2015). Sin embargo, en la de Columbus *et al.* (1998 y 2000) no se incluyeron a todos los taxa del complejo; y en el caso del trabajo de Peterson *et al.* (2015) solamente consideraron una accesión de algunas especies.

CAPÍTULO I. FILOGENIA DEL COMPLEJO BOUTELOUA BARBATA

MATERIALES Y MÉTODOS

Muestras

En el análisis filogenético de núcleo se incluyeron 17 individuos obtenidos mediante colectas en campo y ejemplares de herbarios (Tabla 2). Además, se consideraron 14 secuencias disponibles en GenBank (Tabla 3) y 16 proporcionadas por el Dr. Travis Columbus (Tabla 4), esto con la finalidad de cubrir una mayor distribución de las especies pertenecientes al complejo, contar con un mayor número de muestras y obtener una mejor resolución.

Para el análisis de cloroplasto se tomaron 28 muestras provenientes de colectas en campo y ejemplares del Herbario de la Universidad Autónoma de Aguascalientes (Tabla 2), de las cuales solo 13 coinciden con las muestras incluidas en ITS ya que el resto no amplificaron para cloroplasto, por lo que se utilizaron otras muestras disponibles.

Como grupo externo se seleccionaron tres muestras de especies del complejo *B. gracilis-simplex* para núcleo y dos para cloroplasto.

Tabla 2. Colectas incluidas en los análisis filogenéticos de la región ITS en núcleo (¹) y el intrón *rpl*16 en cloroplasto (²).

HUAA: Herbario de la Universidad Autónoma de Aguascalientes; IS: Herbario del Instituto Darwinion de Buenos Aires, Argentina; RSA: Herbario de Rancho Santa Ana Botanic Garden, EUA.

Taxón	Localidad	Colector /No. colecta	Herbario
Bouteloua barbata Lag. var. barbata	Ruta Nacional 40- km 3696. De Huaco a Guandacol. Entre postes de alta tensión n° 409 y n°410, San Juan, Argentina.	Donadío, S. / 61	IS
	Orilla del Río Conchos, brecha del Pacualeño al río, Chihuahua, México.	Siqueiros / 5422 ¹	HUAA

- 21 -



	Km 2.5 del entronque a la Hormiga, sobre la brecha a la Hormiga. Km 43.5 carretera Aldama-Ojinaga. Ladera de cerro en extracción de material, Chihuahua, México.	Siqueiros / 5447 ¹	HUAA
	Hacienda "La Bóveda", cerro del colorín, Aguascalientes, Mexico.	Siqueiros / 2478	HUAA
	Entrada al pueblo de Viezca, frente a la cruz, cruzando la carretera, Coahuila, México.	Siqueiros / 5416	HUAA
	SW de Salinas de Hidalgo, San Luis Potosí, México.	MAG / 126 1,2	HUAA
	2 km al S de San Ignacio sobre la carretera transpeninsular #5, km 65, Baja California Sur, México.	Siqueiros / 5257	HUAA
	Predio Los Mercedes, carretera Cuencamé-Pedriceña, carretera 49, Durango, México.	Siqueiros / 5111 ²	HUAA
	Orilla N de Guerrero Negro, sobre la orilla de la carretera, 2 km al sur del límite de Baja California y Baja California Sur, Baja California Sur, México.	Siqueiros / 5251 ²	HUAA
	1km al oeste de Zapotitlán Salinas, Puebla, México.	MAG / 10 ²	HUAA
	Tarrant Co., downtown Fort Worth, corner of 4th and Pecan Streets, Texas, EUA.	M. Nee / 57051 ²	IS
	10 km sobre el camino hacia el Rancho las Pampas, Chihuahua, México.	Siqueiros / 5137 ²	HUAA
	Km 71.5 carretera opuesta a Flores Magón 5 km al S del entronque a Casas Grandes, Chihuahua, México.	Siqueiros / 5148 ²	HUAA
Bouteloua barbata var.	Magdalena de Kino, área urbana sobre la calle de entrada junto al	Siqueiros / 5229 ²	HUAA

- 22 -

rothrockii (Vasey) Gould	letrero de desviación de Hermosillo y zona centro, Sonora, México.		
	Km 107 autopista Navojoa- Los Mochis, Sonora, México.	Siqueiros / 5473 ²	HUAA
	Km 143 carretera a Cananea-Imuris, 15 km al S de Imuris. Orilla de carretera, Sonora, México.	Siqueiros / 5228	HUAA
	Km 122 carretera transpeninsular 4 km al N de Guerrero Negro, 1 km al S del límite de Baja California y Baja California Sur, Baja California Sur, México.	Siqueiros / 5249	HUAA
	32 km al E de Alamos, Sonora, carretera Navojoa-Alamos, orilla carretera, Sonora, México.	Siqueiros / 5460	HUAA
	Km 194 Carretera Cd. Obregón- Alamos, bosque espinoso, orilla de carretera en arena, Sonora, México.	Siqueiros / 5456	HUAA
	Km 137 aut <mark>opista Navojoa-Moc</mark> his, Sonora, Mé <mark>xico.</mark>	Siqueiros / 5467	HUAA
Bouteloua barbata var. sonorae (Griffiths) Gould, Ann	Calle Antonio Rincón, Cd. Obregón, Sonora, México.	Siqueiros / 5459 ¹	HUAA
Bouteloua parryi (E. Fourn.) Griffiths var. gentryi (Gould)	Carretera Culiacán-Tamazula, Dgo., km 16, rumbo a Sanalona. Orilla de la carretera, desviación a comedero a 8 km de Sanalona, Sinaloa, México.	Siqueiros / 5476 ¹	HUAA
Gould	Camino vecinal a la termoeléctrica, a la salida sur de rumbo a Mazatlán, carretera libre, 15 km sur de Culiacán, Sinaloa, México.	Siqueiros / 5489 ²	HUAA
Bouteloua elata Reeder & C.	Carretera Mex. 80 (Autlán de Navarro- Unión de Tula), aprox. 5 km antes de Autlán, Jalisco, México.	Columbus / 2358 _{1,2}	HUAA

Bouteloua breviseta Vasey, Contr	Texas, EUA*	Columbus / 2908 _{1,2}	RSA
Bouteloua ramosa Scribn. ex Vasey	Km 2.5 del entronque a la Hormiga, sobre la brecha a la Hormiga. Km 43.5 carretera Aldama-Ojinaga. Ladera de cerro en extracción de material, Chihuahua, México.	Siqueiros / 5437 ²	HUAA
	Km 162 carretera Galeana-Casas Grandes, 20 km al S de Casas Grandes, Chihuahua, México.	Siqueiros / 5156 ²	HUAA
	Km 19 del entronque de carretera a General Zepeda de la carretera Saltillo-Torreón, Coahuila, México.	Siqueiros / 5411 ²	HUAA
	Km 71.5 carretera opuesta a Flores Magón 5 km al S del entronque a Casas Grandes, Chihuahua, México.	Siqueiros / 5147 ²	HUAA
	1 km al Ote de Ranchería San Ramón, hacia las montañas. Sobre la carretera 69 Jiménez-Camargo, Chihuahua, México.	Siqueiros / 5124 ²	HUAA
	1 km al Ote <mark>de Ranchería San R</mark> amón, hacia las montañas. Sobre la carretera 69 Jiménez-Camargo, Chihuahua, México.	Siqueiros / 5125 ²	HUAA
	Km 71.5 carretera opuesta a Flores Magón 5 km al S del entronque a Casas Grandes, Chihuahua, México.	Siqueiros / 5144	HUAA

^{*}Sólo ADN

Tabla 3. Información de las secuencias disponibles en GenBank, que fueron incluidas en el análisis filogenético de la región ITS.

Taxón	No. Accesion	Origen
Bouteloua barbata Lag.	GU359280.1	Chihuahua, México
var. barbata	KR184841.1	Texas, EUA
	KR184836.1	San Luis Potosí, México

San Luis Potosí, México San Luis Potosí, México San Luis Potosí, México Sonora, México Arizona, USA Sonora, México Arizona, EUA
Sonora, México Arizona, USA Sonora, México Sonora, México
Arizona, USA Sonora, México
837.1 Sonora, México
1000.4
833.1 Arizona, EUA
918.1 Sinaloa, México
875.1 Oaxaca, México
874.1 Colima, México
Nuevo México, EUA
4

Tabla 4. Información de las secuencias proporcionadas por el Dr. Travis Columbus, del Rancho Santa Ana Botanic Garden, utilizadas en el análisis filogenético de la región ITS.

Taxón	No. de colecta	Origen
Bouteloua barbata Lag.	4943	ND
var. <i>barbata</i>	2229	Arizona, México
	2941	ND
	2940	ND
Bouteloua barbata var.	2454	Arizona, México
rothrockii (Vasey) Gould	2934	ND
Bouteloua barbata var.	5353	ND
sonorae (Griffiths) Gould, Ann	2368	ND
	2299	Sonora, México

Bouteloua parryi (E.	5349	ND
Fourn.) Griffiths var. parryi		
Bouteloua parryi (E.	2369	ND
Fourn.) Griffiths var. gentryi (Gould) Gould	316	ND
Bouteloua elata Reeder &	23588	Jalisco, México
C.	4086	ND
<i>Bouteloua ramosa</i> Scribn. ex Vasey	2287	Coahuila, México
<i>Bouteloua breviseta</i> Vasey, Contr	2211	ND

ND: no disponible

Extracción de ADN

Para la extracción de ADN se tomaron muestras de hojas de las colectas obtenidas en campo, preservadas en sílica-gel; mientras que de los ejemplares de herbarios las hojas se tomaron directamente de cada individuo. Dicho material vegetal se pulverizó con nitrógeno líquido utilizando un mortero y pistilo. Posteriormente se realizó la extracción de ADN mediante el protocolo CTAB de Doyle y Doyle (1987) modificado por Columbus *et al.* (1998) (Anexo B). Una vez obtenido el ADN, se procedió a cuantificar su concentración en cada muestra mediante la absorbancia a una longitud de onda de 260 nm usando un espectofotómetro Colibri de TITERTEK BERTHOLD. De la misma manera se obtuvo la pureza del ADN midiendo la relación A 2620/280 nm. Una vez conocida su concentración, se realizaron diluciones con agua destilada estéril para que cada muestra quedara entre 10 a 70 ng de ADN/μl.

Amplificación, purificación y secuenciación

Después de haber obtenido el ADN de todas las muestras, se amplificaron las regiones ITS (internal transcribed spacer) (ITS1+5.8S+ITS2) en núcleo y el loop D4 del intrón *rpl16* (ribosomal protein L16) en cloroplasto, mediante la reacción en cadena de la polimerasa (PCR) utilizando un Termociclador Bibby Scientific™ Techne™ TC-312.

Para la amplificación de las dos regiones se realizaron reacciones a un volumen de 20 μ l, utilizando la polimerasa Phusion® High-Fidelity. Las reacciones contenían lo siguiente: 11.8 μ l de H₂O para PCR, 4 μ l de Buffer, 1 μ l de cada primer (forward y reverse), 0.6 μ l de dNTPs, 0.6 μ l de DMSO, 0.15 μ l de Phusion® DNA Polymerase, y 1 μ l de ADN. Los primers utilizados para ITS fueron el 18SF y 26SR (Prince, 2010); mientras que para el intrón rpl16 se usaron el sak16F (Watts et al.,2008) y R1516 (Jordan et al.,1996; Kelchner y Clark,1997) (Tabla 5).

La programación del termociclador utilizada para ITS fue la siguiente: desnaturalización inicial a 98°C por 30 seg, seguido de 35 ciclos de 10 seg a 98°C para desnaturalización, 30 seg a 56°C para alineamiento, 30 seg a 72°C para extensión y 10 min de extensión final a 72°C. Para el intrón *rpl*16 se utilizó una desnaturalización inicial a 98°C por 30 seg, seguido de 35 ciclos de 10 seg a 98°C para desnaturalización, 30 seg a 58°C para alineamiento,30 seg a 72°C para extensión y 10 min de extensión final a 72°C.

Tabla 5. Primers utilizados para la amplificación y secuenciación de ADN.

Región	Primer	5' Secuencia 3'	Autor	
ITS	18SF	CGATTGAATGGTCCGGTGAAG	Prince, 2010	
110	26SR	AGGACGTTTCTACACAGACTACAA	1 111100, 2010	
	sak16F	GGATGGCGGAACAAACC	Watts et al. (2008)	
Loop D4 del intrón <i>rpl</i> 16	R1516	CCCTTCATTCTTCCTCTATGTTG	Jordan <i>et al.</i> (1996), y Kelchner y Clark (1997)	

Para comprobar la amplificación de la región de interés se realizó una electroforesis en gel de agarosa al 1% con una cámara Fotodyne®; posteriormente se tiñó con bromuro de etidio y se observó en un transiluminador SYNGENE™.

Una vez lograda la amplificación, se enviaron 10 μl de cada producto de PCR obtenido, junto con sus respectivos primers (ITS:18SF; intrón *rpl*16: sak16F) a una concentración de 10000 pmol/μl, al laboratorio Macrogen Corp (Maryland, EUA) para ser purificado con el

protocolo ExoSAP-IT™ y posteriormente secuenciado mediante el método de Sanger (1977).

Edición y alineamiento de secuencias

Las secuencias obtenidas se alinearon manualmente en el programa BioEdit Sequence Alignment Editor v.7.2.5 (Hall, 2013). Se insertaron espacios para poder alinearlas debido a la presencia de indeles (inserciones y deleciones).

Utilizando el mismo programa, una vez alineadas las matrices de ITS y del intrón *rpl*16 se procedió a realizar una combinada (ITS + intrón *rpl*16), esto para mejorar la resolución en el análisis filogenético.

Análisis filogenético: Inferencia Bayesiana

Las tres matrices se analizaron por separado y de manera combinada (ITS, intrón *rpl*16 e ITS + intrón *rpl*16) mediante Inferencia Bayesiana con el programa MrBayes 3.2 (Ronquits *et al.*, 2011). Los modelos de evolución de sustitución de nucleótidos que se utilizaron se obtuvieron mediante el programa JModelTest en la plataforma de CIPRES (Miller *et al.*, 2010). Para la matriz de ITS y combinada el modelo seleccionado fue el General de Tiempo Revesible (GTR) (nst=6) (Tavaré, 1986) con una distribución Gamma (Yang, 1994); y para el intrón *rpl*16 el modelo Hasegawa-Kishino-Yano (HKY) (nst=2) (Hasegawa *et al.*,1985) con una distribución Gamma (Yang, 1996). En el análisis se corrieron cuatro cadenas de Markov Monte Carlo (MCMC) por 10,000,000 de generaciones, muestreando cada 1000, para finalmente construir un árbol consenso de mayoría.

RESULTADOS

Espaciador transcrito interno (ITS)

La longitud total de las secuencias de la matriz alineada fue de 619 caracteres, incluyendo los indeles codificados (Anexo C).

La hipótesis obtenida (Fig. 1) muestra al complejo *B. barbata* como monofilético, con un soporte del 100% de PP (probabilidad posterior). El primer grupo en diversificar (A) está conformado por los ejemplares de *B. breviseta* y *B. ramosa* (100% PP). Todas las accesiones de *B. breviseta* formaron un clado con un soporte medio del 71% PP y se presentó como grupo hermano de dos accesiones de *B. ramosa* de Coahuila (*2287* y *JF91632_1*), sin embargo, el ejemplar *5144* de *ramosa* del estado de Chihuahua, al separarse de las anteriores hace que dicha especie sea parafilética.

El siguiente grupo que diversificó (B) es el de *B. elata*, este contó con una probabilidad posterior del 100% e incluyó a la mayoría de sus individuos, a excepción de la accesión 2358 de Jalisco que se ubicó como grupo hermano de *B. parryi*.

Posteriormente se obtuvo un grupo (C) compuesto por las especies *B. parryi* y *B. barbata* (100% PP), que presentó dos grandes ramificaciones. La primera (C1) dio origen a uno de los dos subgrupos formados por las accesiones de la variedad *barbata* (100% PP), en el cual se pudo observar que los individuos provenientes de Chihuahua (*5422*, *5447*, *GU359280_1*) están estrechamente relacionados entre si. La segunda ramificación fue una politomía (83% PP) formada por las accesiones de *B. parryi* var. *parryi* y var. *gentryi*, a excepción de la *316* de la var. *gentryi* que se encontró fuera de esta agrupación.

Todos los ejemplares analizados de B. barbata var. rothrockii se agruparon (E) con un soporte alto (93%) y se separaron claramente de la var. barbata, sin embargo, dentro de este también se encontraron dos accesiones de la variedad sonorae (5353 y 5459), evitando así que la var. rothrockii pudiera ser considerada como monofilética. Este grupo a su vez (E), está cercanamente relacionado con el segundo subgrupo de la var. barbata (D).

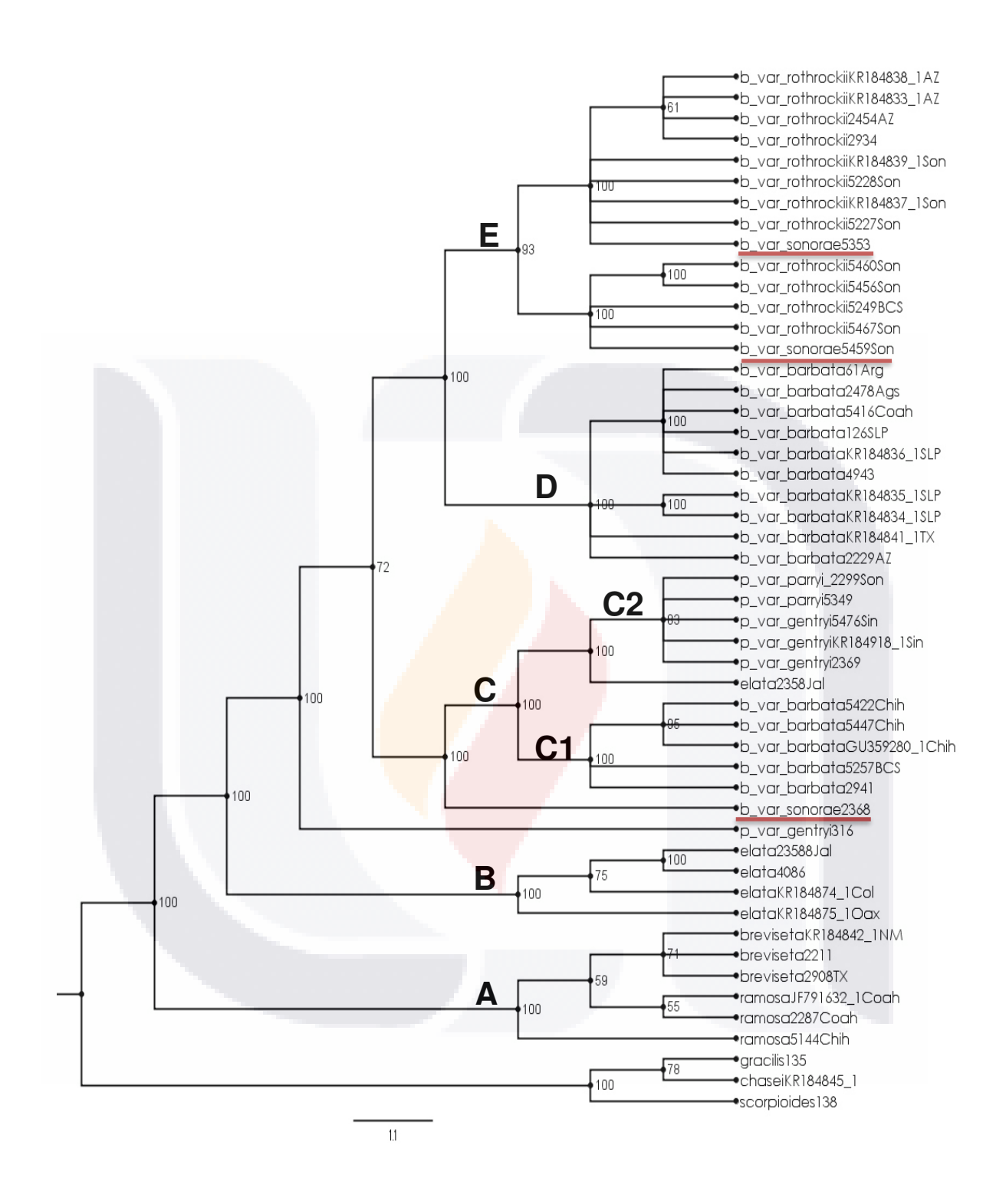


Fig. 1. Árbol filogenético obtenido del análisis de la matriz de la región ITS de los individuos del complejo *Bouteloua barbata* y grupo externo, mediante Inferencia Bayesiana. Valores de probabilidad posterior en los nodos. A, B, C, C1, C2, D, E: grupos referidos en resultados.

- 30 -

TESIS TESIS TESIS

En el caso de *B. barbata* var. *sonorae* (subrayadas) se pudo observar que las tres accesiones que se incluyeron en el análisis no se agruparon entre ellas; como ya se mencionó anteriormente dos se encontraron dentro del grupo de la var. *rothrockii* (5353 y 5459), mientras que la 2368 esta relacionada al grupo C conformado por *B. barbata* var. *barbata* y *B. parryi*.

Intrón de la proteína ribosomal L16 (rpl16)

Debido a que no se analizaron las mismas accesiones que en ITS, ambas hipótesis no pudieron compararse, sin embargo, se decidió estudiar el árbol obtenido (Fig. 2); además es importante considerar que en este análisis no se incluyeron a los taxa *B. barbata* var. sonorae y *B. parryi* var. parryi.

La longitud total de las secuencias de la matriz alineada fue de 442 caracteres, incluyendo los indeles codificados (Anexo D).

Como se podrá observar a continuación, este marcador molecular no brindó suficiente resolución a nivel inter e intraespecífico. No obstante, resuelve agrupaciones semejantes a las de ITS, reuniendo a la mayoría de las muestras de *B. barbata* var. *barbata* y var. *rothrockii* en grupos independientes. En el árbol se observó una politomía formada por las muestras sin resolver de *B. ramosa* y *B. breviseta*; además de un clado con la accesión *B. barbata* var. *barbata* (5257) como la mas divergente. Este último comparte ancestría con *B. elata* más el clado fuertemente soportado (100% PP) que incluye a dos grupos hermanos; el primero formado por los individuos de *B. barbata* var. *barbata*, más una muestra de *B. parryi* var. *gentryi* (5489) de Sinaloa (82% PP), y el segundo que incluye las accesiones de *B. barbata* var. *rothrockii*, más el individuo 5111 (Durango) de *B. barbata* var. *barbata* (100% PP).

B. barbata var. *rothrockii* formó un clado con un soporte del 74% de probabilidad posterior, mientras, la mayoría de los ejemplares de *B. barbata* var. *barbata* se agruparon con un soporte del 100% de PP, en donde se pudo observar que los individuos de Aguascalientes (2478) y San Luis Potosí (126) están cercanamente relacionados entre si.

- 31 -



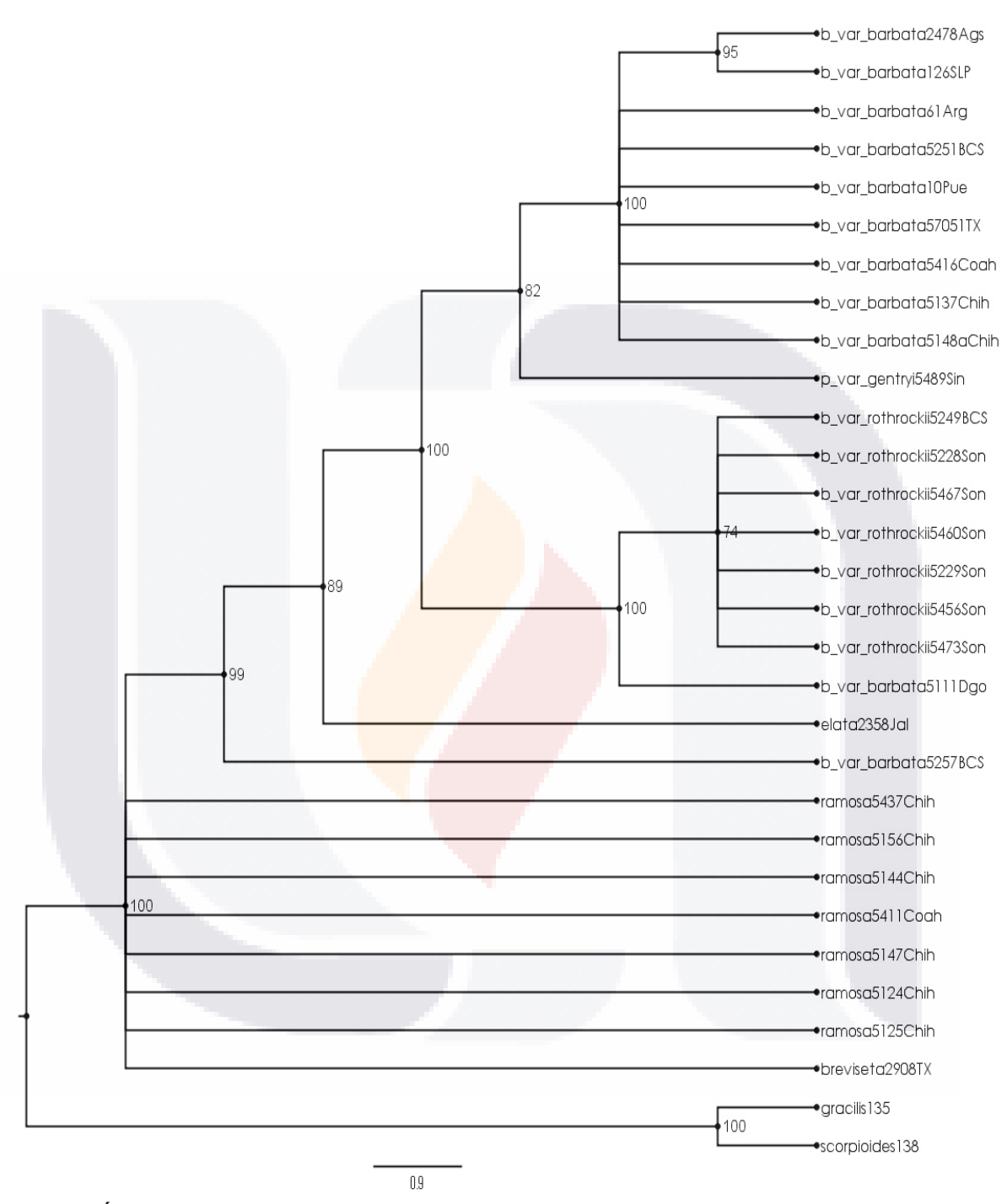


Fig. 2. Árbol filogenético obtenido del análisis de la matriz del intrón *rpl*16 de los individuos del complejo *Bouteloua barbata* y grupo externo, mediante Inferencia Bayesiana. Valores de probabilidad posterior en los nodos.

Análisis combinado (ITS + intrón rpl16)

Es importante considerar que en este análisis no se incluyeron a todos los taxa del complejo, sin embargo, la topología del árbol obtenido apoya casi totalmente la de cloroplasto, con la diferencia de que el individuo 5257 de B. barbata var. barbata de BCS, comparte ancestría con la accesión de B. elata.

El primer grupo en diversificar fue el de *B. ramosa* y *B. breviseta* con un soporte del 100% de probabilidad posterior. *B. barbata* var. *barbata* se ubicó como grupo hermano de la var. *rothrockii*; en este al igual que en la hipótesis del intrón *rpl*16, las accesiones de Aguascalientes (*2478*) y San Luis Potosí (*126*) se encuentran estrechamente relacionadas. Por otro lado, la variedad *rothrockii* formó un grupo monofilético con una alta probabilidad posterior (100%).



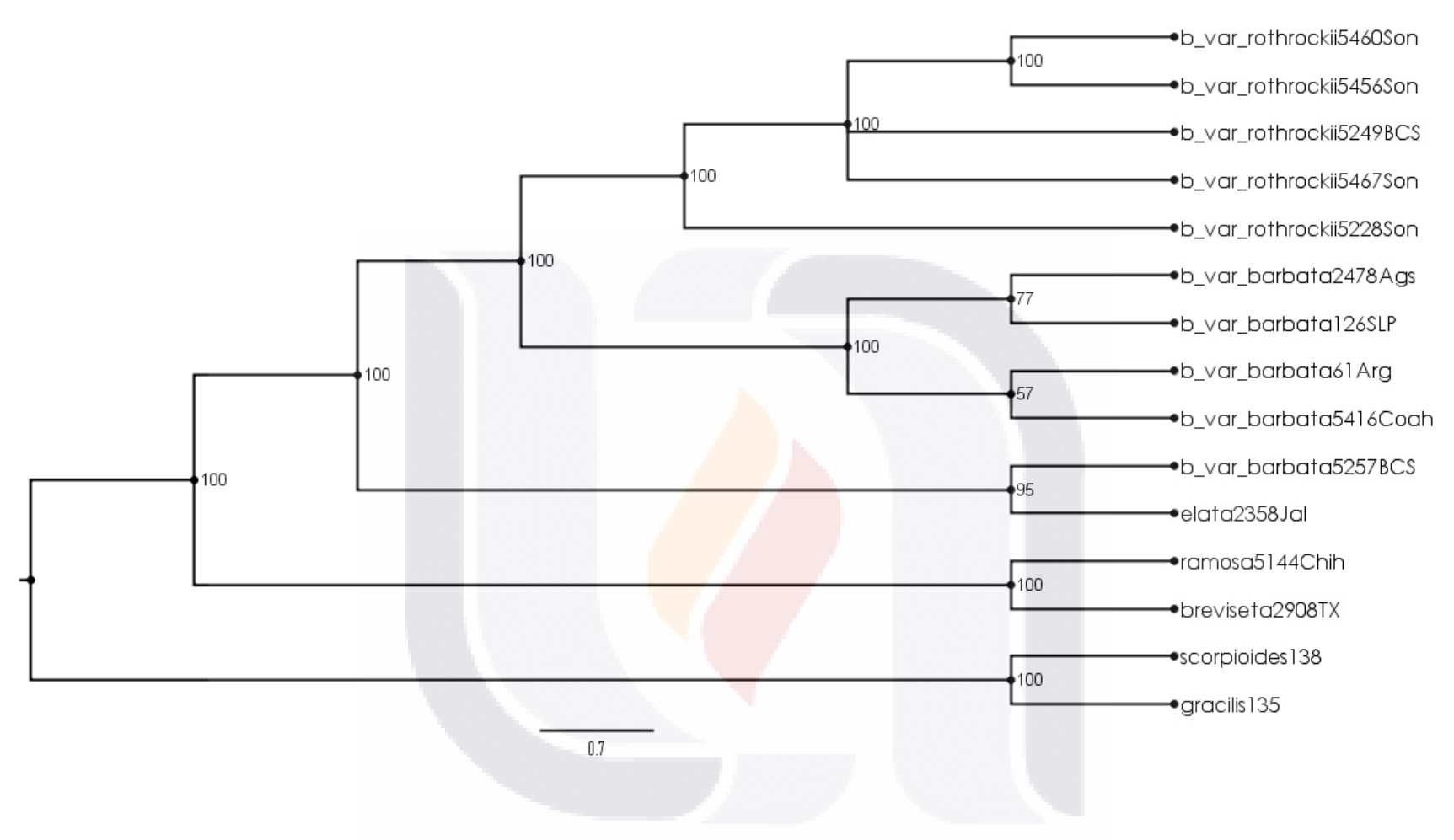


Fig. 3. Árbol filogenético obtenido del análisis de la matriz combinada (ITS + intrón *rpl*16) de los individuos del complejo *Bouteloua barbata* y grupo externo, mediante Inferencia Bayesiana. Valores de probabilidad posterior en los nodos.

TESIS TESIS TESIS

DISCUSIÓN

Las hipótesis obtenidas de ITS y el intrón *rpl*16 serán discutidas por separado debido a que no se analizaron los mismos individuos, no obstante, es importante mencionar que estas resultaron similares.

ITS y Combinada (ITS + intrón rpl16)

En ITS B. breviseta es claramente una especie monofilética, sin embargo, parece haberse diversificado a partir del pool genético de B. ramosa, ya que su ancestro mas reciente incluye a las tres accesiones de B. breviseta. Esto difiere a lo obtenido por Peterson et al. (2015) y Columbus et al. (1998), ya que dichos autores concluyen que las dos especies están claramente separadas, lo cual concuerda con el análisis combinado, en el cual, al igual que en las hipótesis de Peterson et al. (2015) y Columbus et al. (1998), incluyen solo una accesión de ambos taxa, lo cual hace imposible definir su monofila. La gran similitud y cercanía que existe entre estas dos especies ha sido estudiada en diferentes ocasiones, ya que han sido tratadas de diferentes maneras por distintos autores. Ambas fueron descritas el mismo año por Vasey (1980a, 1980b) como especies diferentes; Dewey (1894), Scribner (1897) y Griffiths (1912) trataron a estos dos taxa como Vasey (1980), sin embargo, Griffiths (1912) hace una discusión en la que concluye que sería posible que estudios posteriores demostrarían que B. ramosa es realmente una forma de B. breviseta. Gould (1980), por su parte, trató a estas especies como coespecíficas; sin embargo, Reeder y Reeder (1980) argumentaron que basándose en el nivel de ploidía; aspecto del tallo; forma y color de ramas; geografía y hábitat, las dos son diferentes. Por otro lado, Siqueiros (2007) encontró que existen caracteres anatómicos que también apoyan la estrecha cercanía de estas dos especies, ya que estas comparten una gran similitud en estructuras Kranz.

La estrecha relación entre *B. elata* con *B. parryi* y *B. barbata*, ya se había observado anteriormente basada en caracteres moleculares (Peterson *et al.*, 2015; Columbus *et al.*, 1998), morfológicos (Reeder y Reeder, 1963) y micromorfológicos (Columbus,1996). La accesión *2358* de Jalisco que se separó del resto de los ejemplares de *B. elata* en ITS no presentó caracteres morfológicos que la diferenciaran del resto de los individuos del mismo

taxón, sin embargo, el colocarse como grupo hermano de *B. parryi* en ITS y de la variedad *barbata* en la matriz combinada tiene sentido después de observar la cercana relación que presentan estos tres taxa en base a caracteres moleculares y morfológicos, sin embargo, tampoco se descarta que haya existido contaminación en el manejo de dicha muestra de *B. elata*.

Las variedades *parryi* y *gentryi* se agrupan, más no se diferencian entre ellas. Peterson *et al.* (2015) obtuvieron el mismo resultado con las tres accesiones de *B. parryi* que incluyeron en su análisis, ya que no existieron agrupamientos visibles de cada variedad. Es importante mencionar que incluso morfológicamente dichos taxa son difíciles de identificar. Con respecto a la accesión *316* de la variedad *gentryi* que se separó del resto de los ejemplares de *B. parryi*, no se pudo examinar morfológicamente para observar diferencias significativas debido a que no se contó con el ejemplar en físico.

B. barbata var. barbata formó dos grupos independientes, uno que comparte ancestría con B. parryi, y otro con B. barbata var. rothrockii; lo cual sugiere que existen dos linajes diferentes dentro de esta variedad, y concuerda con lo observado en el estudio de Peterson et al. (2015). Desde el punto de vista morfológico también se ha evidenciado la estrecha relación entre dichos taxa. Watson (1883) incluso llego a tratar a B. barbata y B. parryi como la misma especie debido a su gran similitud. Por su parte, Columbus (1996) evidenció la cercanía de B. barbata con B. parryi por la similitud en la anatomía de la hoja. Algo que es importante considerar, es que la variación entre los individuos de la var. barbata era algo que se esperaba encontrar debido a que es el taxón que presenta un mayor rango de distribución de todo el complejo.

Todos los individuos de *B. barbata* var. *rothrockii* se agrupan entre ellos y se separan claramente de la variedad *barbata* (grupo hermano) tanto en ITS como en el análisis combinado, sin embargo, se puede observar que en ITS dos de los tres ejemplares de la var. *sonorae* se encuentran dentro de la variedad *rothrockii*, mientras que el tercero (*2368*) es el grupo hermano de la var. *barbata*, var. *rothrockii* y *B. parryi*; esta última relación (accesión *2368*) también ocurre en el estudio de Peterson *et al.* (2015), y por esto ellos concluyen que la var. *sonorae* debería de ser tratada de nuevo como una especie diferente y no como variedad de *barbata*, ya que inicialmente Griffiths (1912) la describió como *B.*

- 36 -



sonorae; además, de acuerdo a ellos, el hecho de que la var. sonorae sea perenne y presente estolones le da soporte a dicha conclusión. Sin embargo, como ya se ha mencionado anteriormente, ellos sólo incluyeron una muestra de dicho taxón en su estudio, es por eso que nuestros análisis, al introducir más de un ejemplar, no soportan la separación de la variedad sonorae como especie. Además, los resultados obtenidos sugieren la artificialidad de esta variedad, y no soportan su identidad. Por otro lado, con nuestros resultados y los de Siqueiros et al. (2013), se sabe que la presencia de estolones, que es utilizado como caracter diagnóstico de la var. sonorae, es homoplásico, ya que los estolones también se presentaron en ejemplares de la var. rothrockii.

Intrón rpl16

El árbol obtenido nos muestra que aunque el marcador ha sido utilizado con éxito en diversas angioespermas (Zhang, 2000; Kelchner y Clark, 1997; Cerros-Tlatilpa *et al.*, 2011; Watts *et al.*, 2008), no brindó suficiente resolución para determinar las relaciones inter e intraespecíficas de los taxa del complejo *Bouteloua barbata*.

La relación entre *B. breviseta* y *B. ramosa* no se pudo resolver, ya que no existe ni agrupamiento ni separación clara entre dichas especies; esto probablemente se debe a la poca variación que existe entre las secuencias de cada uno de los individuos utilizados en el análisis, además de que como ya se discutió anteriormente, ambas especies se encuentran estrechamente relacionadas.

A pesar de que los individuos analizados en ITS no fueron los mismos que en el intrón *rpl*16, se pudieron observar relaciones similares entre algunos taxa del complejo, como es el caso de *B. elata* que se encontró como grupo hermano de *B. barbata* y *B. parryi*; mientras que *B. parryi* var. *gentryi* se presentó como grupo hermano de *B. barbata* var. *barbata*. Otro caso similar, fue que la variedad *rothrockii* siguió presentando una estrecha relación con la variedad *barbata*. Todas estas relaciones ya fueron discutidas en el apartado anterior.

B. barbata var. *rothrockii* formó un clado con alto soporte, sin embargo, en este análisis no se incluyeron ejemplares de la variedad *sonorae*, por lo tanto, no se puede determinar que *rothrockii* sea monofilética, ya que en ITS ambas variedades no se diferenciaban entre si.

- 37 -

CAPÍTULO II. ANÁLISIS MORFOMÉTRICO

MATERIALES Y MÉTODOS

Material y caracteres analizados

Se seleccionaron un total de 147 individuos de los taxa del complejo *B. barbata* (Anexo E), obtenidos mediante colectas en campo y ejemplares del HUAA, para la realización de los análisis morfométricos. La especie *B. breviseta* no fue incluida en el presente estudio ya que no se logró colectar ningún individuo.

Todos los ejemplares fueron identificados con la ayuda de tres claves taxonómicas: Herrera et al. (2004), Gould (1980) y Griffiths (1912); esto debido a la dificultad para poder diferenciar entre las variedades, ya que los caracteres utilizados para su circunscripción son muy ambigüos; además de que algunas claves no incluian todos los taxa que conforman el complejo *Bouteloua barbata*. Una vez identificados, cada ejemplar se observó con un microscopio estereoscópico Leica para medir 35 caracteres morfológicos, de los cuales 15 fueron seleccionados para ser analizados, debido a que presentaron una mayor variación entre especies y variedades (Tabla 6). Los caracteres cuantitativos se midieron por triplicado en cada individuo, para posteriormente promediarlos y así obtener un valor más cercano al real.

La matriz de dichos caracteres se realizó en Excel, para posteriormente copiarla al programa PAST 3.20 (Hammer *et al.*, 2001) donde se llevaron a cabo todos los análisis. Los valores cualitativos se codificaron de manera binaria, es decir, ausencia (0) y presencia (1); mientras que los valores cuantitativos continuos se homogeneizaron redondeándolos a dos decimales.

Tabla 6. Caracteres utilizados en los análisis morfométricos.

Tipo de caracter	Caracter		
Cuantitativo	Longitud de tallo (cm)		
	Ancho de lígula (mm)		
	Ancho de lámina foliar (mm)		
	Longitud de lámina foliar (cm)		
	No.de ramas por inflorescencia		
	Ancho de ramas (mm)		
	Longitud de ramas (cm)		
	No. de espiguillas por rama		
	Ancho de espiguillas (mm)		
	Longitud de espiguillas (mm)		
Cualitativo	Dura <mark>ción</mark> perenne		
	Ta <mark>llo decu</mark> mbente		
	E <mark>stolone</mark> s		
	Pubescencia de base papilosa en		
	segunda gluma Aristas en pálea		
	A motab on paroa		

Análisis

Test de Mardia

Para verificar la distribución de los datos se realizó una prueba de normalidad multivariada denominada Mardia, al obtener una p<0.05 se concluyó que los datos de la matriz no presentaron una distribución normal, y por lo tanto se tuvieron que estandarizar para ser correctamente analizados.

Análisis de Componentes Principales (PCA)

El análisis de componentes principales encontró variables hipotéticas (componentes) que representaron la mayor cantidad posible de la varianza en los datos (Davis, 1986; Harper, 1999); estas nuevas variables obtenidas fueron combinaciones lineales de las originales.

PCA reduce el conjunto de datos a solo dos variables (los dos primeros componentes) para fines de representación.

Debido a que las variables se midieron en unidades diferentes se realizó una matriz de correlación; ya que esto implicó normalizar todas las variables dividiéndolos por sus desviaciones estándar. Este análisis encontró los valores eigen (valores propios) y vectores eigen (vectores propios) de dicha matriz de correlación, mediante el algoritmo de descomposición en valores singulares (SVD). Los valores eigen dieron una medida de la varianza explicada por los vectores eigen correspondientes (componentes); también se obtuvieron los porcentajes de la varianza explicados por estos componentes. Si la mayor parte de la varianza era explicada por el primero o los dos primeros componentes el análisis era exitoso, pero si esta se encontraba distribuida más o menos uniformemente entre los componentes el PCA no era útil (Hammer *et al.*, 2001).

Se realizaron varios análisis de PCA. En el primero se incluyeron todos los taxa medidos, en el segundo solo los ejemplares de *B. barbata* var. *barbata*, var. *rothrockii* y var. *sonorae*; el tercero *B. parryi* var. *parryi* y var. *gentryi*; el cuarto *B. barbata* var. *barbata* y var. *rothrockii*; y en el último *B. barbata* y *B. parryi* con sus respectivas variedades. Estos últimos análisis se realizaron para ver si se lograban obtener caracteres que presentaran suficiente variación para ayudar a la circunscripción de las variedades.

PERMANOVA

Debido a que los datos de la matriz no presentan una distribución normal, se decidió realizar este test no paramétrico para observar si existen diferencias significativas entre los grupos de estudio.

Análisis de conglomerados-UPGMA

Este análisis dio como resultado un dendograma en donde se forman agrupaciones en base a la distancia promedio entre los miembros de los grupos. El índice de similtud utilizado fue mixto: para las variables continuas se usó el de Gower y para las binarias el de Jaccord.

RESULTADOS

Análisis de Componentes Principales (PCA)

En el primer análisis realizado donde se incluyeron a todos los individuos medidos de los taxa del complejo, se consideró como exitoso ya que más del 50% de la variación total fue explicada por los primeros dos componentes. Los caracteres que explicaron dicha variabilidad fueron la longitud del tallo, ancho de ramas, número de ramas por inflorescencia, ancho de láminas foliares y la presencia de aristas en la pálea.

Como se puede observar en la figura 4, *B. ramosa* y *B. elata* fueron las dos especies que se encontraron mejor delimitadas y separadas del resto de los taxa del complejo; mientras en *B. parryi* var. *parryi* se obtuvo todo lo contrario, ya que los individuos analizados de dicho taxón se encontraron mezclados con los de la var. *gentryi* y sin formar una agrupación aparente. Por otro lado, *B. barbata* var. *sonorae* presentó individuos dentro del grupo formado por la var. *barbata*, sin embargo, la variedad *rothrockii* se separó claramente de ellas.

B. parryi var. gentryi fue el taxón que contó con una mayor similitud morfológica con B. barbata, ya que varios de sus ejemplares se encontraron en las agrupaciones de la var. barbata y var. rothrockii.

B. barbata var. barbata, var. rothrockii y var. sonorae

Como se pudo observar en la figura 5, al solo incluir a las variedades de *B. barbata* se siguen obteniendo los mismos resultados que en el análisis donde se consideraron a todos los taxa; sin embargo, en este los caracteres que explican la variabilidad obtenida fueron la longitud del tallo, número de ramas por inflorescencia, ancho de ramas, y ancho y longitud de espiguillas.

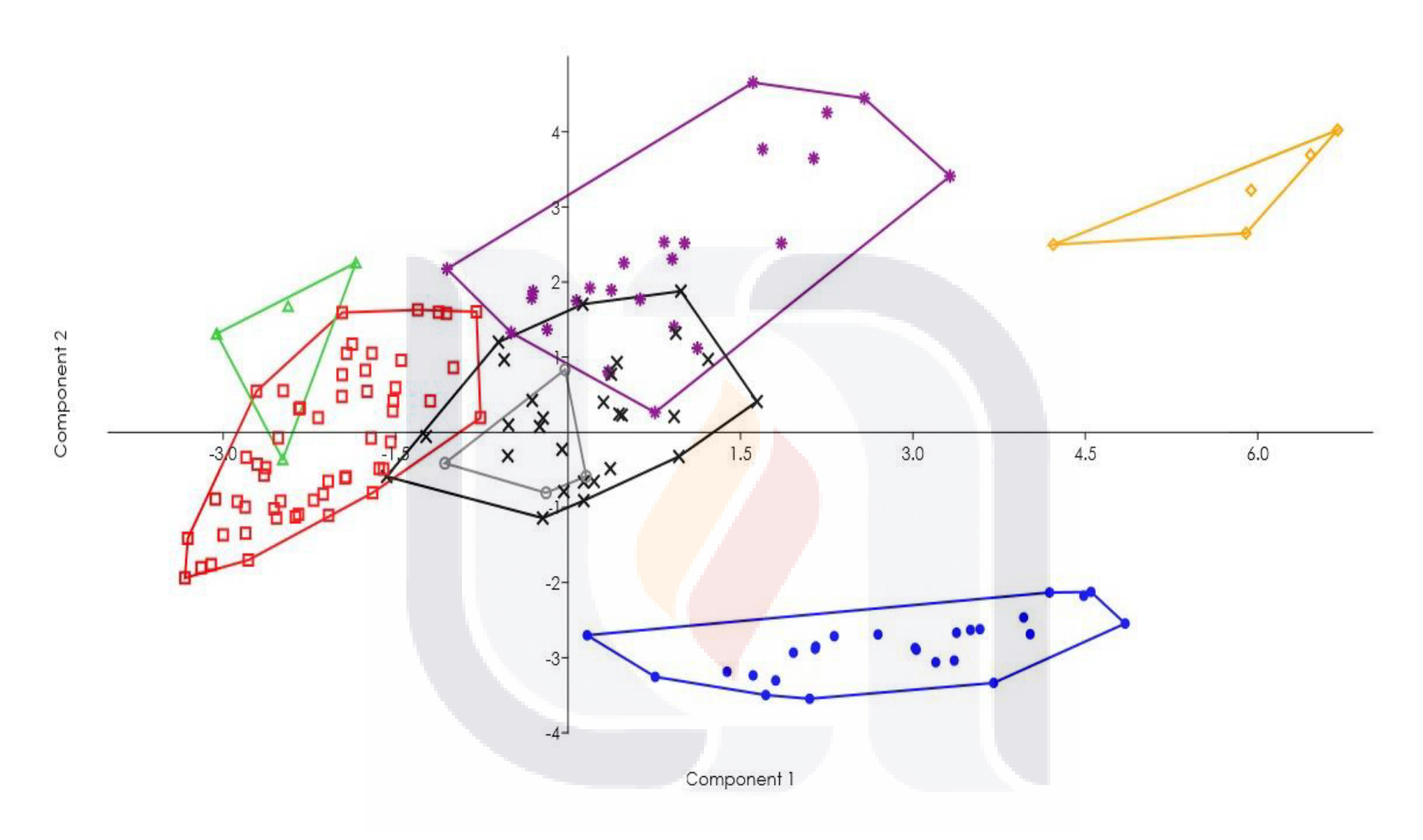


Fig. 4. Análisis de componentes principales de todos los individuos muestreados del complejo *Bouteloua barbata*. *Bouteloua barbata* var. *barbata*-cuadros rojos, *Bouteloua barbata* var. *sonorae*-triángulos verdes, *Bouteloua barbata* var. *rothrockii*-estrellas moradas, *Bouteloua parryi* var. *parryi*- círculos grises, *Bouteloua parryi* var. *gentryi*-cruces negras, *Bouteloua ramosa*-puntos azules y *Bouteloua elata*- rombos amarillos.

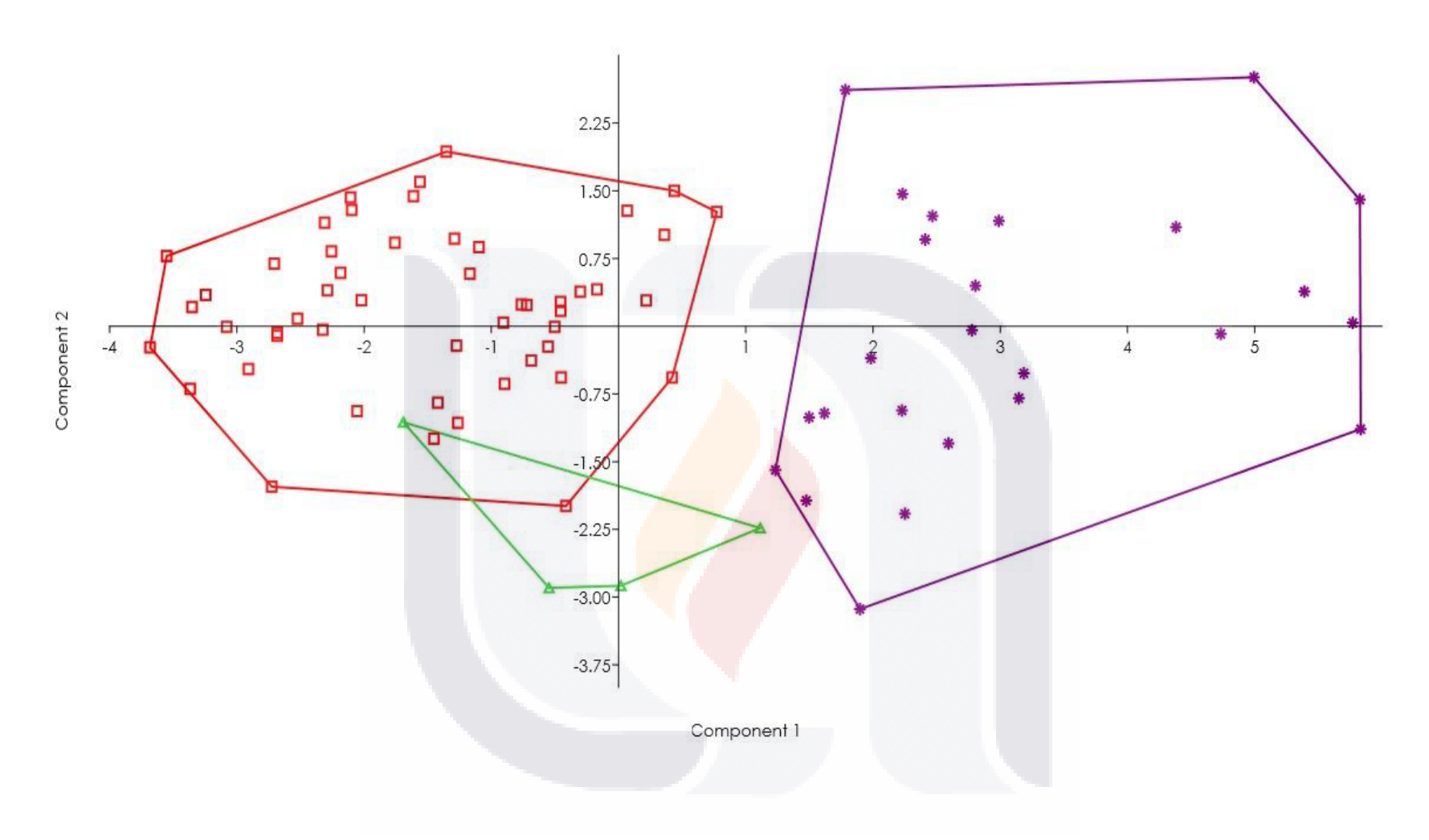


Fig. 5. Análisis de componentes principales de los individuos de *Bouteloua barbata* var. *barbata* (cuadros rojos), *Bouteloua barbata* var. *sonorae* (triángulos verdes) y *Bouteloua barbata* var. *rothrockii* (estrellas moradas).

B. parryi var. parryi y var. gentryi

Debido a que en el análisis donde solo se incluyeron a *B. parryi* con sus variedades, los primeros dos componentes no explicaron más del 50% de la variación, este se consideró como no exitoso y por lo tanto no informativo, por lo que se decidió no incluirlo en los resultados.

B. barbata var. barbata y var. rothrockii

Debido a que las variedades *barbata* y *rothrockii* se separaron claramente una de la otra, se realizó este análisis (Fig. 6) para poder obtener los caracteres que determinaron dicha topología; los cuales fueron: la presencia o ausencia del ciclo perenne, la longitud del tallo, número de ramas por inflorescencia, ancho de ramas y longitud de las espiguillas.

B. barbata y B. parryi

Al realizar el análisis sin considerar a *B. elata* y *B. ramosa* (Fig. 7), se observó que sí existe una separación clara entre *B. barbata* y *B. parryi*. Los caracteres que explicaron dicha variación fueron el número de espiguillas por rama, ancho de ramas y la presencia de pubescencia de base papilosa en la segunda gluma, siendo este último el más representativo.

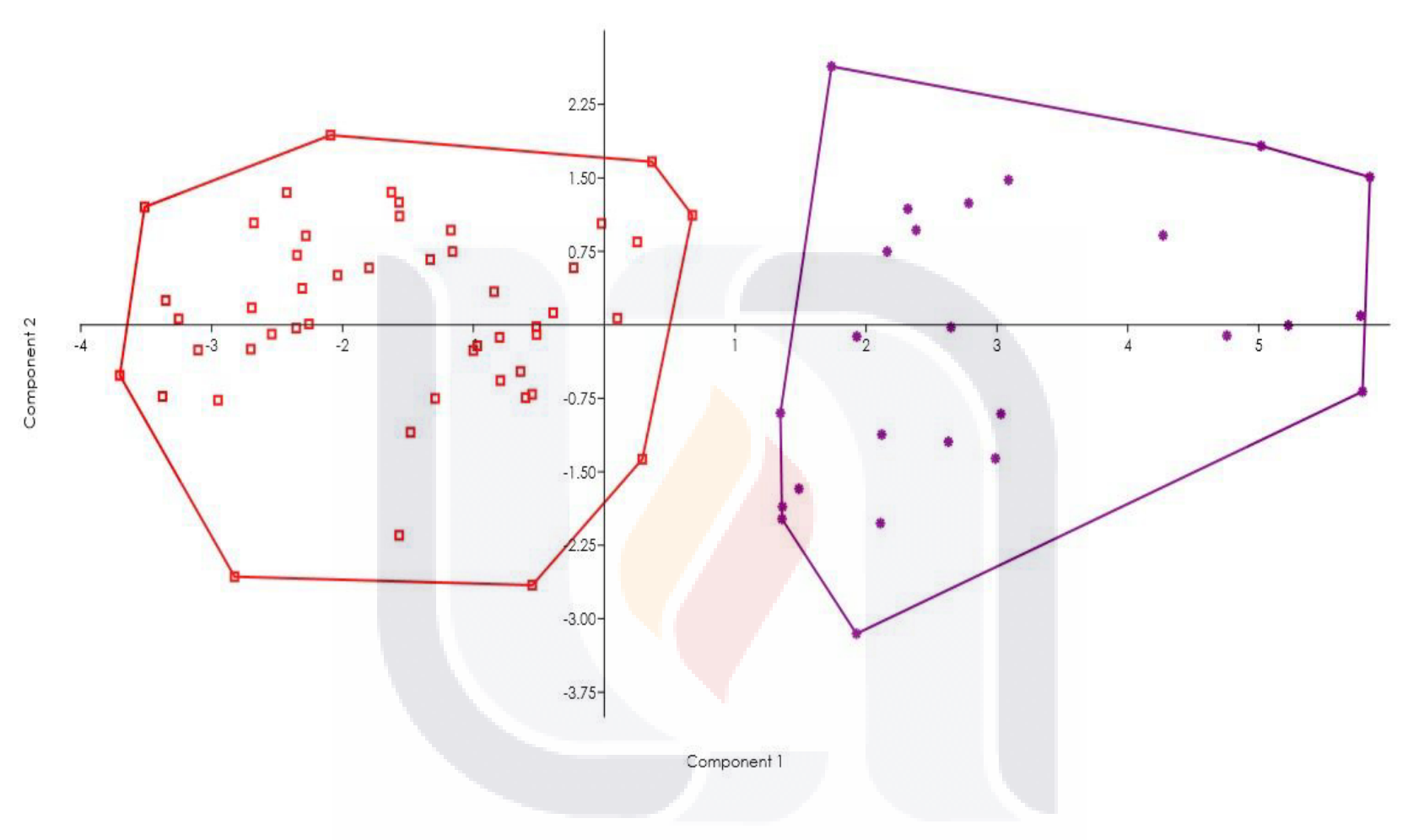


Fig. 6. Análisis de componentes principales de los individuos de *B. barbata* var. *barbata* (cuadros rojos) y *B. barbata* var. *rothrockii* (estrellas moradas).

TESIS TESIS TESIS TESIS TESIS

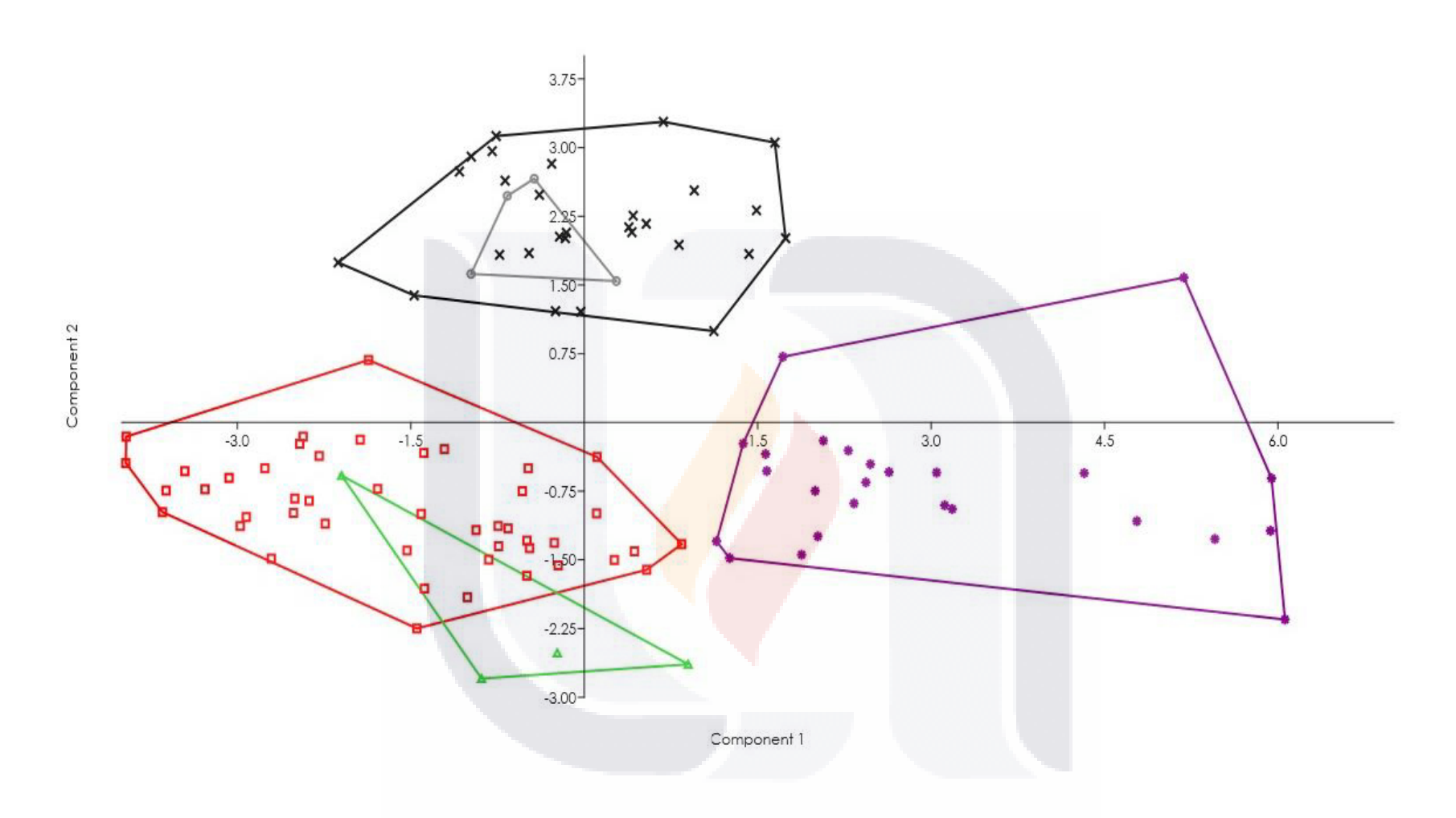


Fig 7. Análisis de componentes principales de los individuos de *B. barbata* y *B. parryi* con sus respectivas variedades. *Bouteloua barbata* var. *barbata*-cuadros rojos, *Bouteloua barbata* var. *sonorae*-triángulos verdes, *Bouteloua barbata* var. *rothrockii*-estrellas moradas, *Bouteloua parryi* var. *parryi*- círculos grises y *Bouteloua parryi* var. *gentryi*- cruces negras.

PERMANOVA

En este análisis se obtuvo una matriz (tabla 7) en la cual se observó si los taxa que fueron analizados presentaban diferencias significativas uno de otro; las que obtuvieron un valor p<0.05 cumplieron con dicho supuesto, mientras que las que presentaron un valor mayor (sombreado rojo) lo rechazaban. En base a esto se pudo observar que los únicos taxa que no presentaron suficiente variación entre ellos fueron *B. parryi* var. *parryi* con *B. ramosa; B. parryi* var. *parryi* con la var. *gentryi*; y *B. barbata* var. *barbata* con la var. *sonorae*. Las últimas dos relaciones coinciden con lo obtenido en los análisis de componentes principales.

Tabla 7. Matriz de resultados obtenidos en el análisis PERMANOVA.

Taxa	B. ramosa	B. barbata var. barbata	B. barbata var. rothrockii	B. barbata var. sonorae	B. parryi var. gentryi	B. elata	B. parryi var. parryi
B. ramosa		0.0001	0.0001	0.0001	0.0001	0.0001	0.0662
B. barbata var. barbata	0.0001	-	0.0001	0.5314	0.0001	0.0001	0.0005
B. barbata var. rothrockii	0.0001	0.0001	Ų.	0.0003	0.0001	0.0001	0.0157
B. barbata var. sonorae	0.0001	0.5314	0.0003	-	0.0205	0.0069	0.028
B. parryi var. gentryi	0.0001	0.0001	0.0001	0.0205		0.0001	0.3425
B. elata	0.0001	0.0001	0.0001	0.0069	0.0001	-	0.0084
B. parryi var. parryi	0.0662	0.0005	0.0157	0.0280	0.3425	0.0084	-

Análisis de conglomerados-UPGMA

El dendograma obtenido (Fig. 8) presentó un coeficiente de Pearson de 0.8897, lo cual significó que existe una correlación positiva entre las variables analizadas.

En este análisis se obtuvieron resultados similares a los observados en el de componentes principales; a excepción, de que en el dendograma las variedades *parryi* y *gentryi* a pesar de estar cercanamente relacionadas, sí se separaron entre ellas lo cual no se observó en PCA ni en PERMANOVA. Otra de las diferencias encontradas, fue que los individuos de la var. *sonorae* se presentaron dentro de un subgrupo formado por algunos de los ejemplares de la variedad *rothrockii*, y no con los de la var. *barbata* como se observó en el análisis de componentes principales.



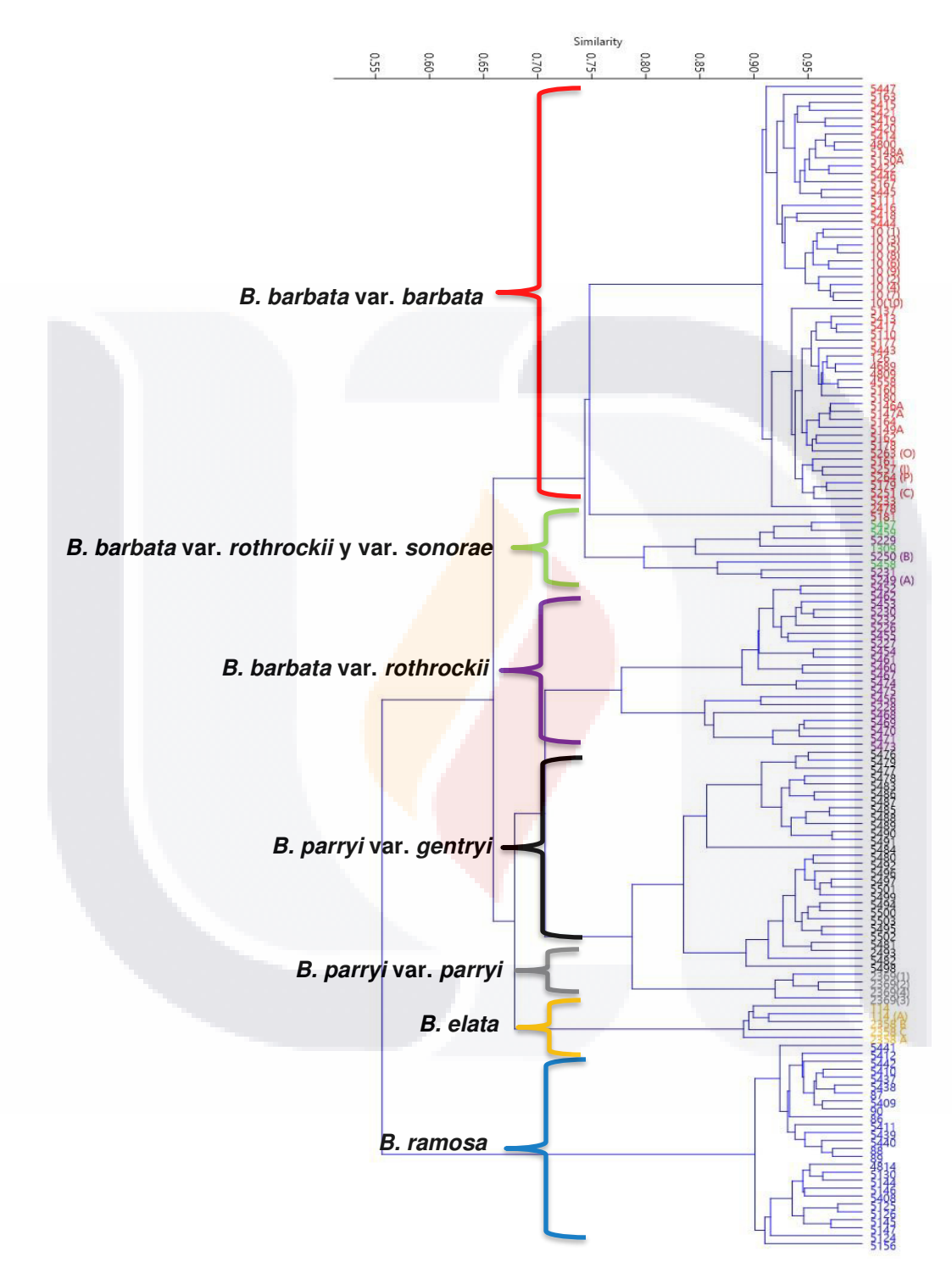


Fig.8. Dendograma obtenido mediante el algoritmo de UPGMA (Unweighted pair-group average) de los individuos analizados pertenecientes al complejo *Bouteloua barbata*.

- 49 -

DISCUSIÓN

Las tres variedades de *Bouteloua barbata* presentaron algunas discrepancias en los resultados obtenidos de los diferentes análisis realizados. En los análisis de componentes principales las variedades *barbata* y *rothrockii* se separaron claramente entre ellas, mientras que la var. *sonorae* no logró diferenciarse por completo de la var. *barbata*; esto gracias a la variación presentada en los caracteres: longitud de tallo, número de ramas por inflorescencia, ancho de ramas, longitud de espiguillas y presencia o ausencia de un ciclo perenne. De dichos caracteres, los que usualmente se han utilizado para la circunscipción de estas tres variedades son la longitud de tallo y su ciclo, ya que como lo mencionó Gould (1980), la variedad *rothrockii* presenta tallos erectos y más largos que la var. *barbata*, lo cual también es útil para poder difenciarlas en campo; por otro lado, el que la variedad *sonorae* presente un ciclo perenne sirve para distinguirlo de la var. *barbata*, ya que esta es anual (Griffiths, 1912). Con respecto al número de ramas por inflorescencia, ancho de ramas y longitud de espiguillas, a pesar de que no han sido considerados como caracteres diagnósticos, sí se ha observado que presentan variación entre estos taxa (Gould, 1980; Griffiths, 1912 y Herrera *et al.*, 2004).

Por otra parte, los resultados del PCA coinciden con lo obtenido en la PERMANOVA, ya que ahí se pudo observar que existe una diferencia significativa entre las variedades *rothrockii* y *barbata*, así como *rothrockii* con *sonorae*; sin embargo, *barbata* y *sonorae* no lograron obtener suficiente variación. La similitud entre estas últimas dos variedades ya había sido evidenciada anteriormente, ya que a pesar de haber sido considerada como una especie diferente por varios autores (Griffiths, 1912; Hitchcock, 1920; Swallen, 1964) Gould (1980) la colocó como una variedad de *barbata* debido a su gran parecido morfológico.

En el dendograma se encontró una diferencia con respecto a lo obtenido en PCA y PERMANOVA, ya que las accesiones de la variedad *sonorae* se agruparon con la var. *rothrockii* y no con la var. *barbata*; dicha relación ya se había observado anteriormente, pero a nivel molecular (Columbus *et al.*,1998; Peterson *et al.*,2015).

TESIS TESIS TESIS

Un aspecto importante observado en el análisis de componentes principales donde se incluyeron a todos los taxa disponibles del complejo, fue que algunos de los individuos de *B. parryi* var. *gentryi* se encontraban dentro tanto de la agrupación de *B. barbata* var. *barbata* como de la de *rothrockii*, sin embargo, al realizar el análisis donde solo se incluyeron a *B. barbata* y *B. parryi* con sus respectivas variedades, estas se separaron claramente por tres caracteres: el número de espiguillas por rama, ancho de ramas y la presencia de pubescencia de base papilosa en la segunda gluma. Este último caracter es el que ha sido más utilizado para diferenciar a estos taxa (Peterson *et al.*, 2015), ya que incluso en campo es fácil confundirlos. Estas diferencias coinciden con lo obtenido en la PERMANOVA y el dendograma.

Con respecto a *B. parryi*, los individuos de la variedad tipo en el análisis de componentes principales se encontraron dentro de la agrupación formada por la var. *gentryi*; esto coincidió con lo obtenido en la PERMANOVA ya que no existió una diferencia significativa entre dichas variedades; lo anterior se pudo deber a que los caracteres seleccionados no fueron los adecuados para brindar información suficiente para separar a ambas variedades; ya que a pesar de que Griffiths (1912) consideró a *B. parryi* como una sola especie, otros autores (Gould, 1980; Herrera *et al.*, 2004) mencionan que sí presentan suficiente variación morfológica para considerarse como variedades diferentes.

Las especies *B. elata* y *B. ramosa* se encontraron claramente delimitadas y separadas del resto de los taxa del complejo en los análisis realizados. Uno de los caracteres que se obtuvieron como significativos en el análisis de componentes principales donde se incluyeron a todas las especies del complejo ha sido utilizado para la circunscripción de *B. elata*, el cual fue la longitud del tallo, ya que esta es considerada como una de las especies más altas del género (Reeder y Reeder, 1963). Por su parte, *B. ramosa* ha sido constantemente confundida con *B. breviseta* o tratada como coespecífica (Gould, 1980) debido a su gran similitud morfológica, sin embargo, esto no se pudo resolver en el presente estudio debido a que no se incluyeron ejemplares de *B. breviseta*.

CAPÍTULO III. EVOLUCIÓN DE CARACTERES

MATERIALES Y MÉTODOS

Los caracteres morfológicos que se seleccionaron para estimar su evolución en el complejo *Bouteloua barbata*, fueron los nueve que se obtuvieron como significativos en los análisis de componentes principales (capítulo II), ya que presentaron una mayor variación entre los diferentes taxa (tabla 8).

Estos caracteres se estandarizaron, categorizaron, y procesaron mediante Máxima Parsimonia utilizando la herramienta Trace Character History disponible en el programa Mesquite 3.10 (Maddison y Maddison, 2016), para mapearlos en una hipótesis filogenética de ITS obtenida mediante inferencia bayesiana (metodología capítulo I) donde solo se consideraron los individuos de los que se tenían las mediciones de los caracteres seleccionados. *B. breviseta* se incluyó en dicho análisis para no afectar la topología del árbol obtenido, sin embargo, todos los caracteres se colocaron como datos faltantes ya que no se tuvo ningún ejemplar disponible para su revisión.

Tabla 8. Caracteres utilizados para estimar su evolución en los taxa del complejo Bouteloua barbata.

Caracter	Estado de caracter
Longitud de tallo (cm)	(0) 7.50 – 22.50 (1) 22.51 - 37.51 (2) 37.52 – 52.52 (3) 52.53 – 67.53
Ancho de lámina foliar (mm)	(0) 1.10 – 1.33 (1) 1.34 – 1.57 (2) 1.58 – 1.81 (3) 1.82 – 2.05
No.de ramas por inflorescencia	(0) 1 – 2 (1) 3 - 4 (2) 5 – 6 (3) 7 – 8

Ancho de ramas (mm)	(0) 2 - 2.78 (1) 2.79 - 3.57 (2) 3.58 - 4.36 (3) 4.37 - 5.15
Ancho de espiguillas (mm)	(0) 0.86 - 1.59 (1) 1.60 - 2.33 (2) 2.34 - 3.07 (3) 3.08 - 3.81
Longitud de espiguillas (mm)	(0) 1.66 – 2.70 (1) 2.71 – 3.75 (2) 3.76 – 4.80 (3) 4.81 – 5.85
Duración	(0) Anual (1) Perenne
Pubescencia de base papilosa en la segunda gluma	(0) Ausente (1) Presente
Aristas en pálea	(0) Ausente (1) Presente

La evolución de los caracteres ancho de ramas y espiguillas no se incluyeron en los resultados debido a su alto grado de homoplasia.

RESULTADOS

Duración anual o perenne

La reconstrucción evolutiva obtenida nos permitió observar la homoplasia de este caracter (Fig. 9); el estado plesiomórfico fue presentar una duración perenne, mientras tener un ciclo anual el apomórfico. Por lo que se pudo ver, el ser anual caracterizó a la variedad tipo de *B. barbata*, ya que el resto de los taxa incluidos en el análisis fueron perennes. Este caracter no puede ser considerado cono único en el complejo, ya que *B. parryi* var. *parryi* también es anual, sin embargo, esta no se incluyó en el presente análisis.

Longitud de tallo

La hipótesis obtenida (Fig. 10) mostró que la longitud de tallo es un caracter homoplásico; el presentar una longitud de 22.51 a 37.51 cm fue el estado plesiomórfico, mientras que medir de 7.50 a 22.50 el apomórfico. *B. barbata* var. *barbata*, var. *sonorae* y *B. parryi* var. *gentryi* se encontraron dentro del rango de 7.50 a 22.50 cm; mientras que *B. barbata* var. *rothrockii* fue el taxa que presentó una mayor variación, ya que sus ejemplares midieron desde los 22.51 hasta los 52.52 cm. Este caracter se puede considerar como una autapomorfia para *B. elata*, ya que fue la única especie del complejo cuyos tallos midieron entre los 52.53 y 67.53 cm de longitud, siendo así el más alto de los taxa analizados del complejo.

Ancho de lámina foliar

En los resultados obtenidos (Fig. 11) se pudo observar el grado de homoplasia del ancho de la lámina foliar; el estado plesiomórfico fue medir de 1.10 a 1.33 mm, mientras que el apomórfico fue encontrarse dentro de un rango de 1.82 a 2.05 mm. *B. parryi* var. *gentryi* y

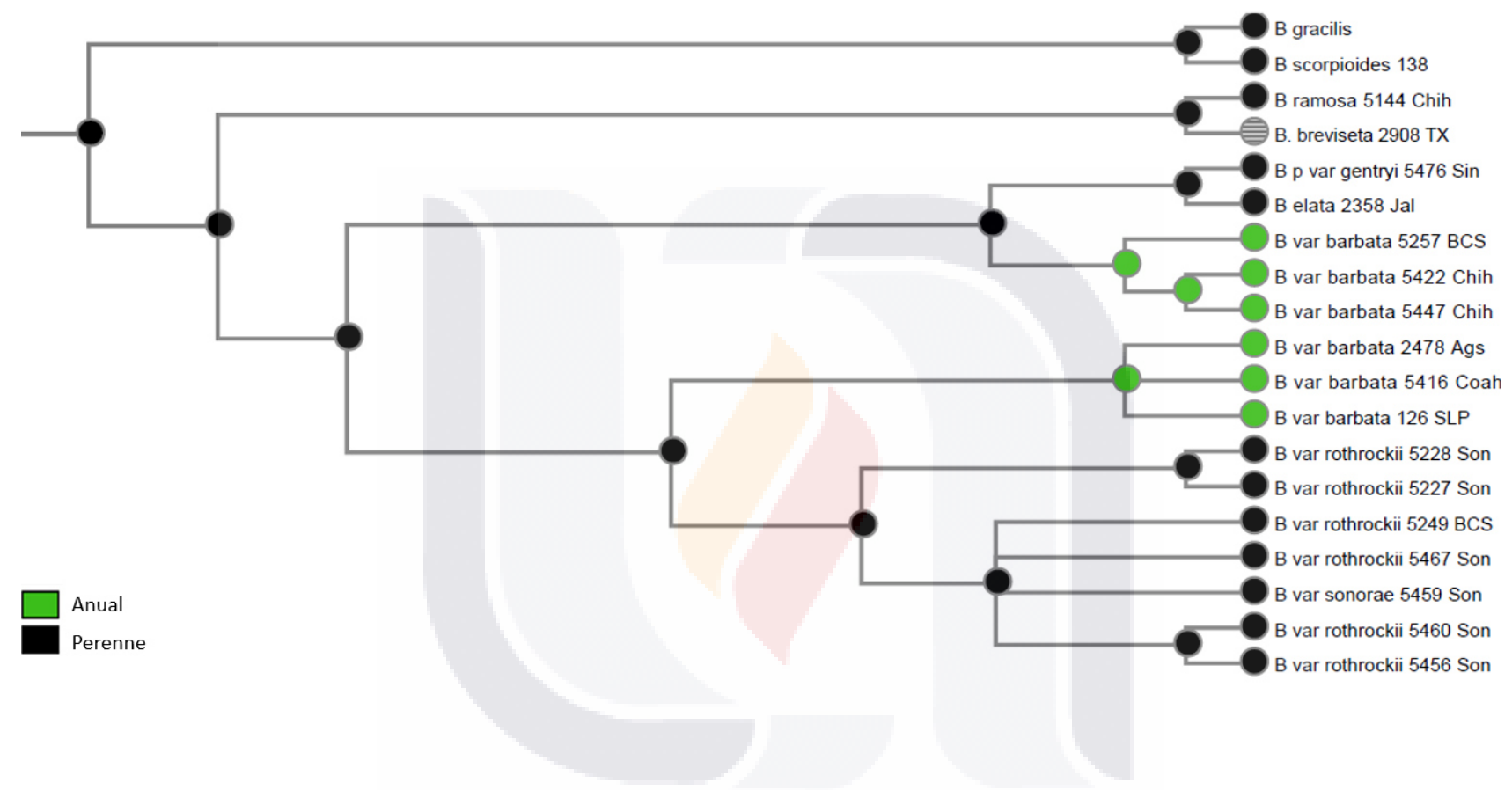


Fig. 9. Reconstrucción evolutiva de la duración anual o perenne en los taxa del complejo *B. barbata*, en base a una hipótesis de ITS obtenida mediante Inferencia Bayesiana.

TESIS TESIS TESIS TESIS TESIS

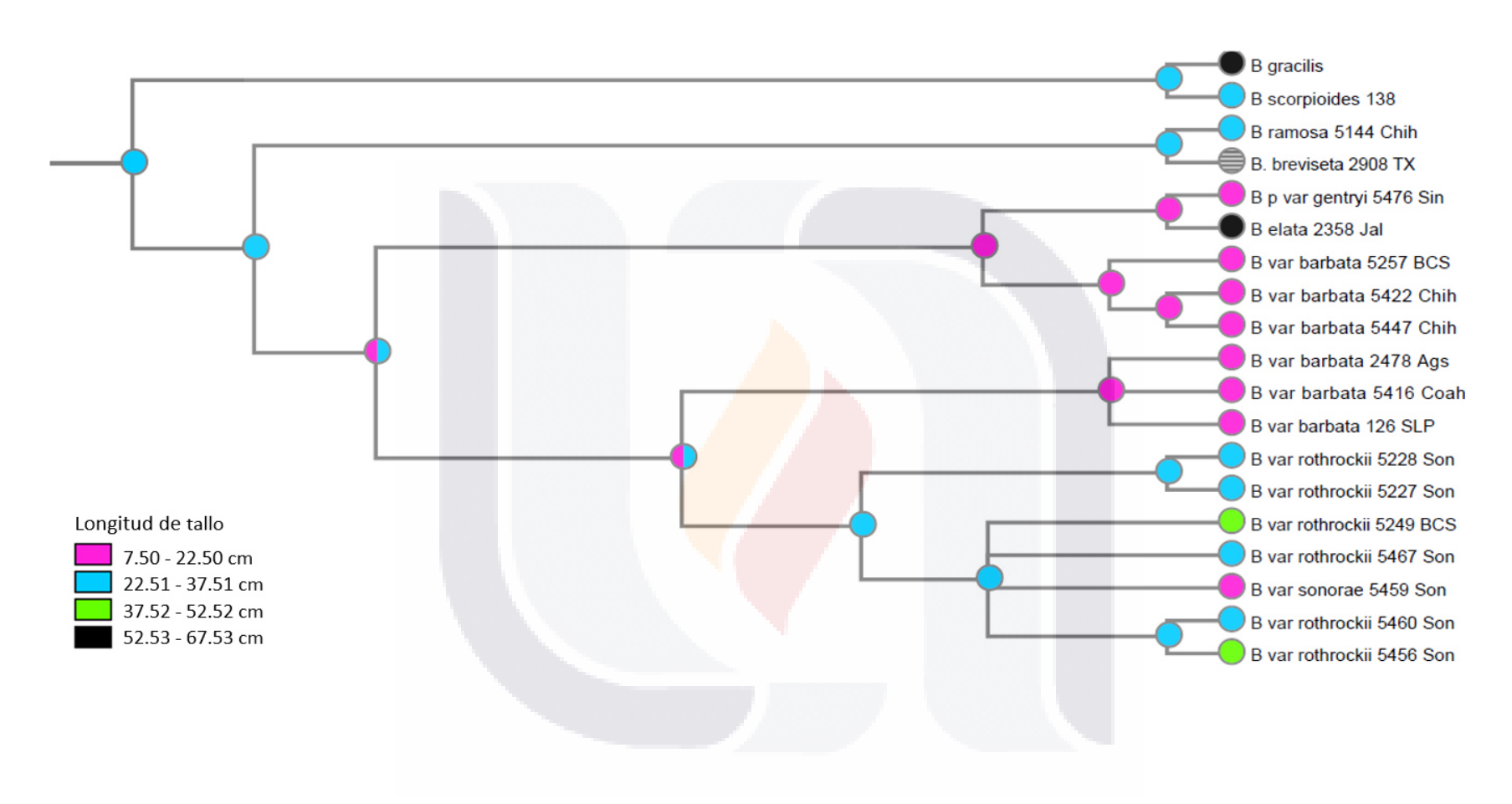


Fig. 10. Reconstrucción evolutiva de la longitud de tallo en los taxa del complejo *B. barbata*, en base a una hipótesis de ITS obtenida mediante Inferencia Bayesiana.

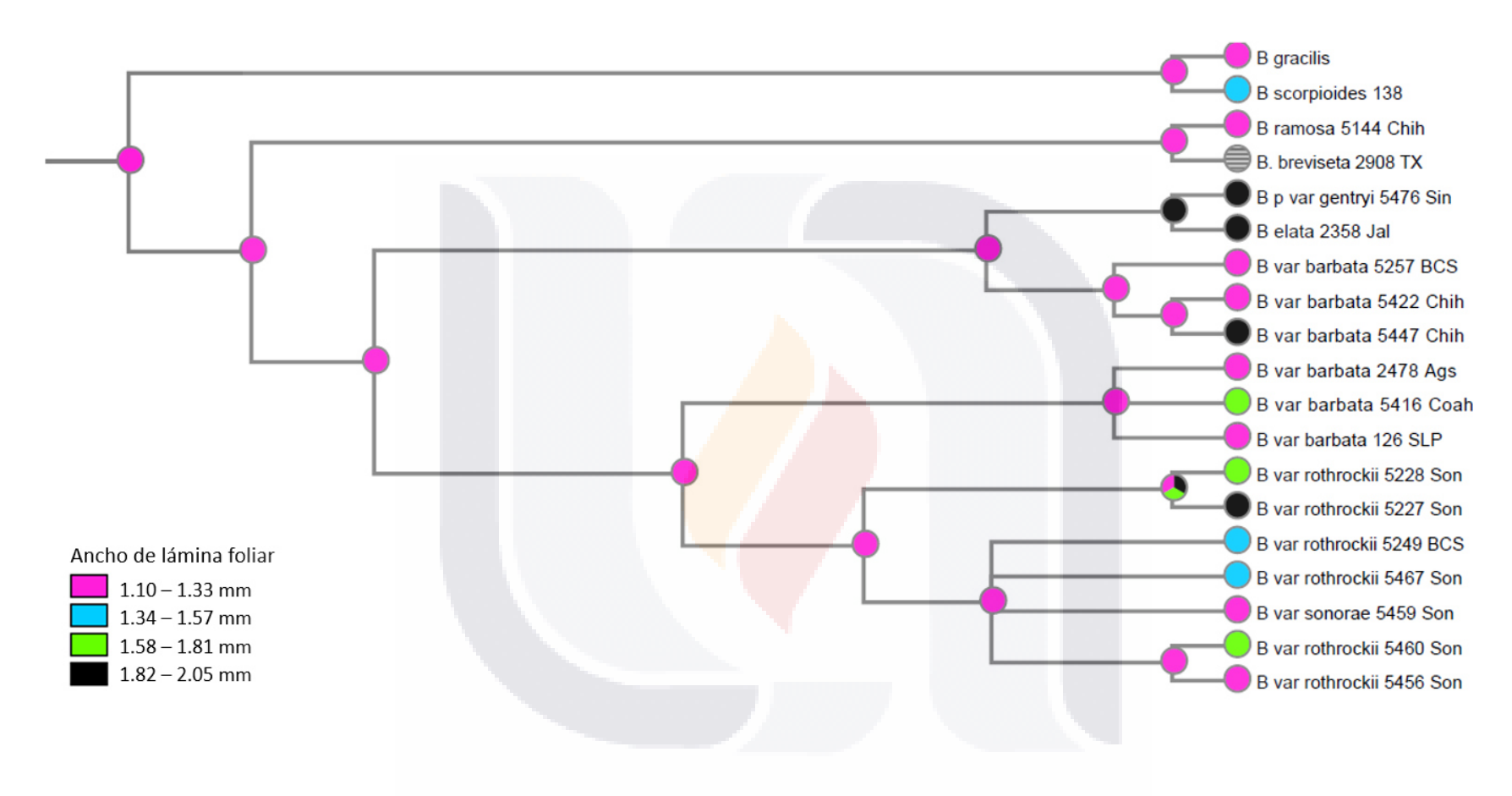


Fig. 11. Reconstrucción evolutiva del ancho de la lámina foliar en los taxa del complejo *B. barbata*, en base a una hipótesis de ITS obtenida mediante Inferencia Bayesiana.

TESIS TESIS TESIS

B. elata presentaron un ancho de 1.82 a 2.05 mm, así como un individuo de B. barbata var. rothrockii (5227) de Sonora y otro de la var. barbata (5447) del estado de Chihuahua. Por su lado, B. barbata var. rothrockii fue el taxón que presentó una mayor variación de este caracter, ya que sus accesiones fueron desde el 1.10 hasta los 2.05 mm de ancho.

No. de ramas por inflorescencia

En la reconstrucción evolutiva (Fig. 12) obtenida se observó que el número de ramas por inflorescencia es un caracter homoplásico; el estado plesiomórfico fue presentar de 1 a 2 ramas, y de 5 a 6 el apomórfico. *B. ramosa* mantuvo el estado plesiomórfico; *B. elata* presentó de 7 a 8 ramas, sin embargo, dos accesiones de *B. barbata* var. *rothrockii* (5227 y 5456) y el único individuo de la var. *sonorae* (5459) también tuvieron dicho estado de caracter. El rango de número de ramas por inflorescencia que se presentó en un mayor número de taxa fue de 5 a 6.

Longitud de espiguillas

La hipótesis obtenida (Fig. 13) permitió observar la homoplasia del caracter; además, se pudo ver que el estado plesiomórfico de la longitud de espiguillas fue medir de 4.81 a 5.85 mm, y el apomórfico de 2.71 a 3.75 mm. *B. ramosa* y *B. elata* presentaron el estado plesiomórfico, mientras que el resto de los taxa analizados sufrieron una reducción en su longitud a excepción de un individuo de *B. barbata* var. *rothrockii* de Baja California Sur (5249). Las variedades *rothrockii* y *barbata* fueron las que contaron con un mayor grado variación de dicho caracter, siendo los individuos de Baja California Sur los que presentaron una mayor longitud.

Presencia/ausencia de pubescencia de base papilosa en la segunda gluma

En los resultados obtenidos (Fig. 14) se pudo observar que la ausencia de pubescencia de base papilosa en la segunda gluma fue el estado de caracter plesiomórfico, mientras que su presencia el apomórfico. Debido a que *B. elata* y *B. parryi* son los únicos taxa del complejo *B. barbata* que cuentan con dicho tipo de pubescencia, y que además comparten el mismo ancestro, este caracter puede ser considerado como una sinapomorfia para

- 58 -



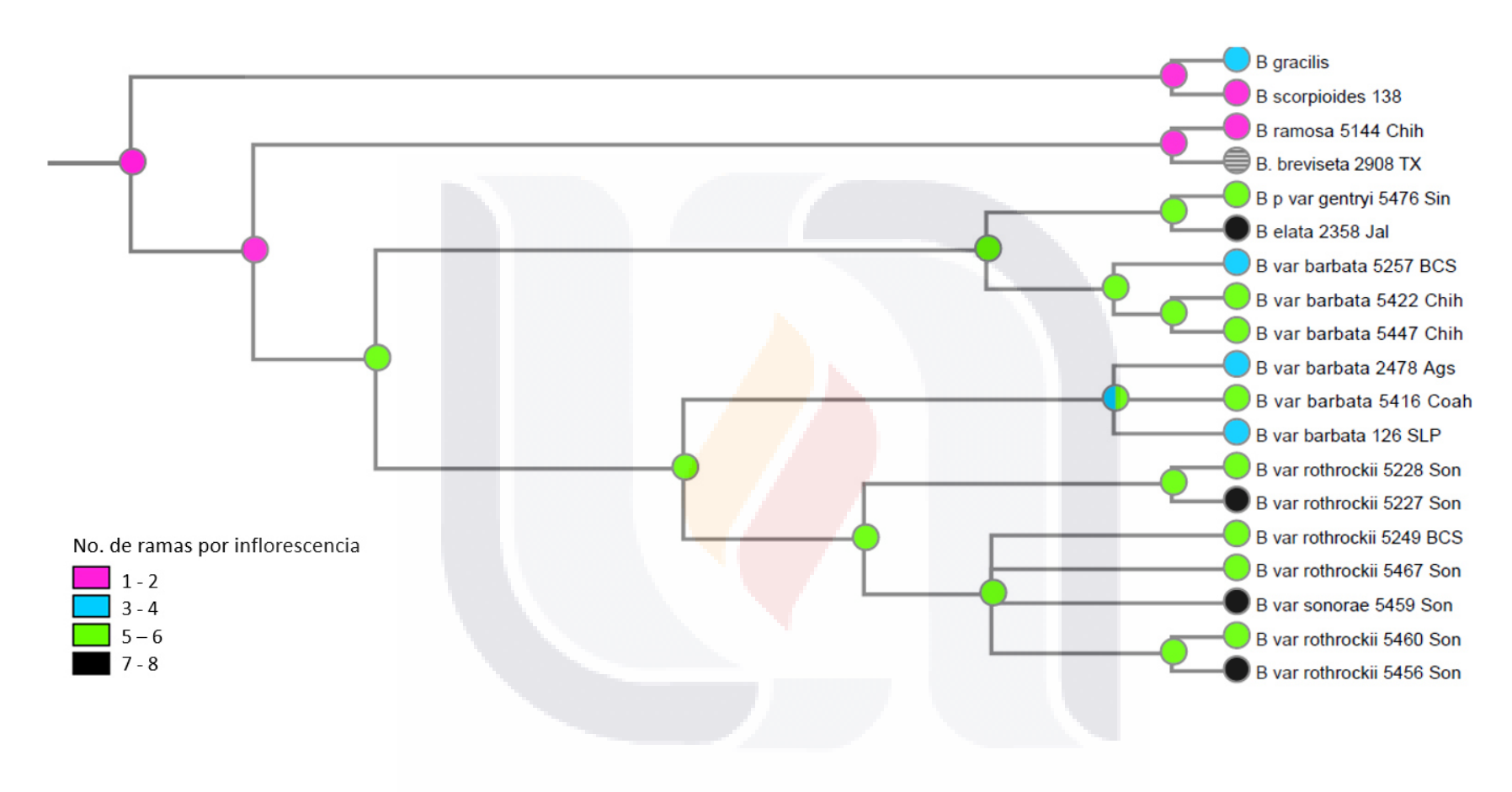


Fig. 12. Reconstrucción evolutiva del número de ramas por inflorescencia en los taxa del complejo *B. barbata*, en base a una hipótesis de ITS obtenida mediante Inferencia Bayesiana.

TESIS TESIS TESIS TESIS TESIS

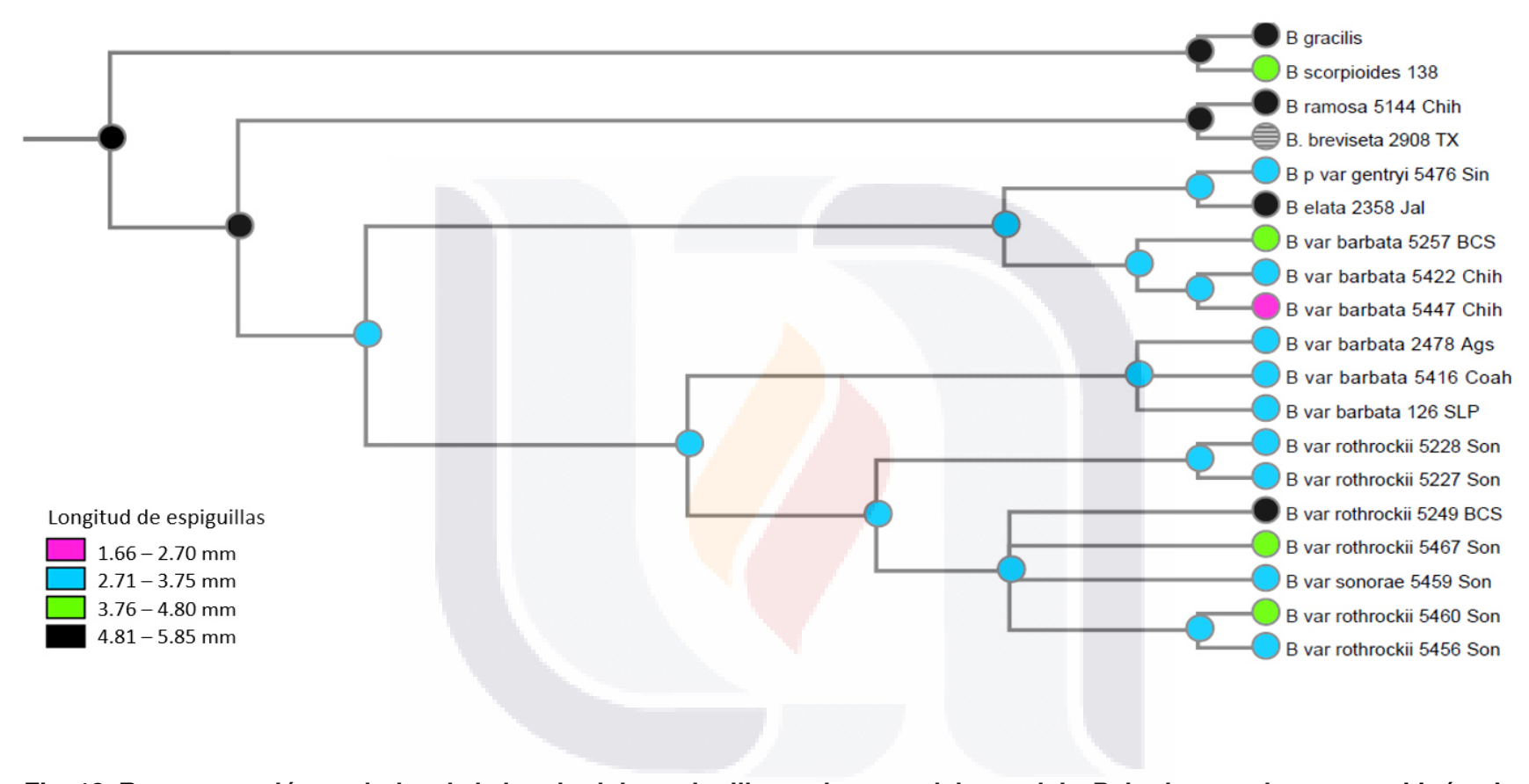


Fig. 13. Reconstrucción evolutiva de la longitud de espiguillas en los taxa del complejo *B. barbata*, en base a una hipótesis de ITS obtenida mediante Inferencia Bayesiana.

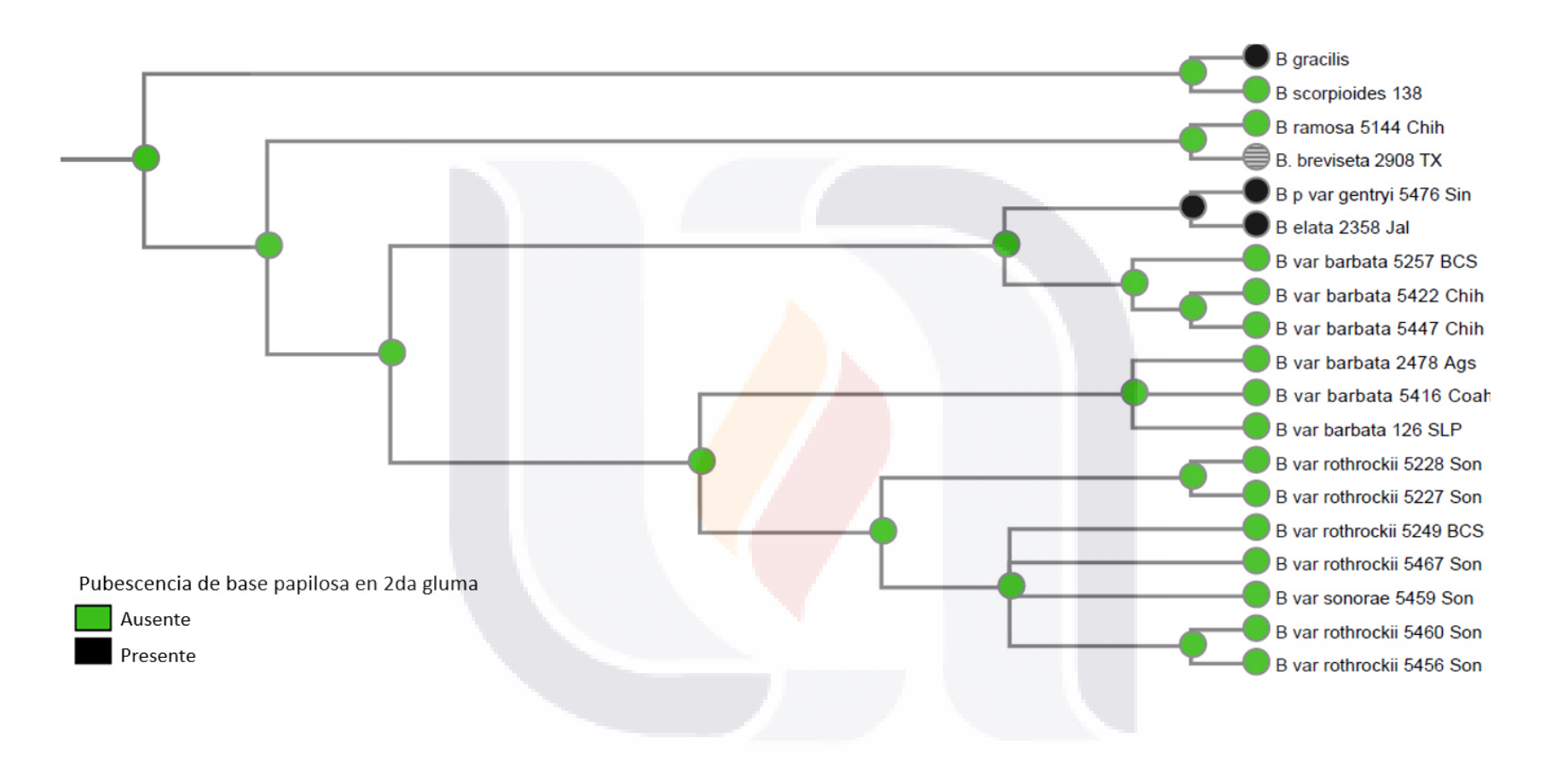


Fig. 14. Reconstrucción evolutiva de la presencia o ausencia de pubescencia de base papilosa en la segunda gluma en los taxa del complejo *B. barbata*, en base a una hipótesis de ITS obtenida mediante Inferencia Bayesiana.

ambas especies.

Presencia/ausencia de aristas en pálea

Con la hipótesis obtenida (Fig. 15) se pudo observar que la ausencia de aristas en la pálea es el estado plesiomórfico en el complejo, mientras que su presencia el apomórfico. De los taxa analizados se pudo ver que la única especie que matuvo el estado plesiomórfico fue *B. ramosa*, ya que el resto presentaron aristas en la pálea.



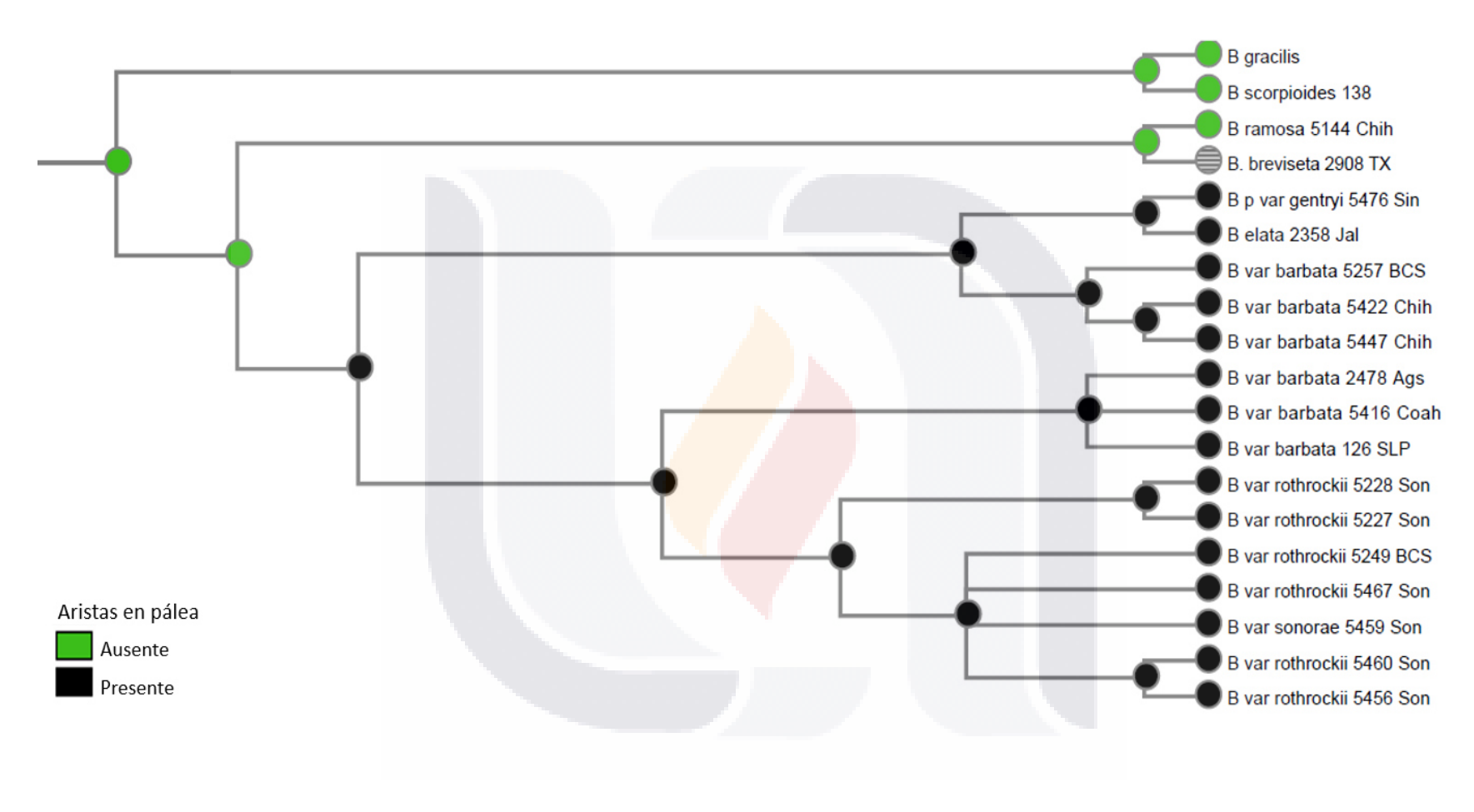


Fig. 15. Reconstrucción evolutiva de la presencia o ausencia de aristas en la pálea en los taxa del complejo *B. barbata*, en base a una hipótesis de ITS obtenida mediante Inferencia Bayesiana.

TESIS TESIS TESIS

DISCUSIÓN

Duración anual o perenne

Presentar un ciclo perenne o anual es uno de los caracteres que ha sido utilizado para distinguir entre las variedades de *B. barbata*. Como se observó en la hipótesis obtenida tener una duración anual es algo que caracterizó a la variedad tipo de *B. barbata*, ya que sus otras dos variedades son perennes; esto coincide por lo establecido por Gould (1980). Griffiths (1912) por su parte, a pesar de considerar a las tres variedades de *barbata* como especies diferentes, mencionó que la gran similitud morfológica que presentaba *B. sonorae* con *B. barbata*, haría que *sonorae* posteriormente fuera tratada como una variedad perenne de dicha especie.

Longitud de tallo

En la hipótesis obtenida se observó que la longitud del tallo se puede considerar como un caracter que ayude a diferenciar a la var. barbata de la var. rothrockii, ya que en la primera todos sus individuos midieron entre los 7.5 y 22.50 cm de alto, mientras que los de la var. rothrockii presentaron tallos más largos (22.51-52.52 cm); además de que dichas medidas se encontraron dentro de los rangos establecidos por Gould (1980) y Griffiths (1912), Gould (1980) ya había utilizado dicho caracter en la circunscripción de las variedades barbata y rothrockii. Por otro lado, en la var. sonorae este caracter no puede ser usado, ya que como se observó en la hipótesis obtenida, sus tallos se encuentran dentro del mismo rango de longitud de la var. barbata (Gould, 1980; Herrera et al., 2004).

En *B. elata* este caracter puede ser considerado como diagnóstico, ya que como lo mencionaron Peterson *et al.* (2015), es la especie con los tallos más largos de todo el complejo.

Ancho de lámina foliar

A pesar de haber obtenido a este caracter como informativo en los análisis morfométricos (capítulo II), su historia evolutiva mostró que no sirve para poder diferenciar de manera inter e intraespecífica a los taxa del complejo *B. barbata*, ya que los diferentes estados de caracter se encontraron en individuos del mismo taxón; sin embargo, todos los valores obtenidos en los diferentes taxa coincidieron con lo establecido por Gould (1980), Griffiths (1912), Herrera *et al.* (2004) y Reeder y Reeder (1963); a excepción de *B. barbata* var. *barbata*, ya que Gould (1980) mencionó que el ancho de su lámina foliar puede medir máximo 1.15 mm lo cual no concuerda con los resultados obtenidos, ya que hubo una accesión (*5447*) del estado de Chihuahua que tuvo una lámina foliar que midió entre los 1.82 y 2.05 mm de ancho, dicho estado de caracter también se presentó en individuos de la var. *rothrockii*, lo cual nos sugiere que puede estar existiendo hibridación entre ambas variedades ya que las dos se encuentran distribuidas en dicho estado.

No. de ramas por inflorescencia

Este caracter es generalmente utilizado para la circunscripción de las especies, sin embargo, como se mostró en los resultados obtenidos no ayudó a diferenciar la mayoría de los taxa del complejo *B. barbata*.

B. ramosa fue el único de los taxa incluidos en el análisis que presentó de 1 a 2 ramas por inflorescencia, lo cual coincidió con lo mencionado por Gould (1980) y Herrera et al. (2004); y que por lo tanto se puede considerar como una sinapomorfia para dicha especie. Por otra parte, al igual que lo observado por Griffiths (1912) la variedad barbata tiene de 4 a 6 ramas, mientras que la variedad rothrockii de 5 a 12; debido a que ambas pueden presentar 5 o 6 ramas por inflorescencia este caracter no puede ser utilizado para diferenciar a dichas variedades. Esto mismo sucedió entre B. parryi y B. barbata las cuales, como ya se discutió en el capítulo anterior, presentan una morfología muy similar, sin embargo, dicho caracter no puede ser utilizado para su separación, ya que como lo estableció Gould (1980) en su descripción original B. parryi presentó de 3 a 6 ramas por inflorescencia, lo cual se encontró dentro del mismo rango de B. barbata. Finalmente, el ejemplar de B. elata contó con una inflorescencia de 8 ramas, este es un valor menor al establecido en su descripción original

- 65 -



(9-30) (Reeder y Reeder, 1963) y a las revisiones de Gould (1980) y Herrera *et al.* (2004), sin embargo, hubo ejemplares de esta especie de la misma población, que se midieron para el análisis morfométrico (capítulo II) y que presentaron de 9 a 13 ramas, lo cual coincide con lo establecido por los autores mencionados anteriormente.

Longitud de espiguillas

Si bien este caracter no ayudó a la circunscripción de las variedades del complejo, sí proporcionó información suficiente para diferenciar dos de las especies que se encuentran más cercanamente relacionadas. En *B. elata* se pudo observar que a pesar de la similitud que se ha encontrado tanto molecularmente (Columbus, 1998; Peterson *et al.*, 2015) como morfológicamente (Reeder y Reeder, 1963) con *B. parryi*, presentaron una clara diferencia en la longitud de las espiguillas, ya que mientras *B. parryi* contó con medidas de entre los 2.71 hasta los 3.75 mm, las espiguillas de *B. elata* presentaron una longitud de 4.81 a 5.85 mm.

Presencia/ausencia de pubescencia de base papilosa en la segunda gluma

La presencia de pubescencia de base papilosa en la segunda gluma es un caracter que ha sido utilizado por diferentes autores para poder diferenciar a algunas de las especies del complejo, lo cual coincidió con la hipótesis obtenida. Gould (1980) y Griffiths (1912) mencionaron que el caracter principal con el cual se puede diferenciar a *B. parryi* de *B. barbata*, debido a su gran similitud, es que el primero presenta dicha pubescencia y el segundo no. Herrera *et al.* (2004) por su lado establecieron que la variedad *rothrockii* también contaba con dicho caracter, sin embargo, Peterson *et al.* (2015) mencionaron que probablemente estos investigadores al realizar el muestreo para su revisión, confundieron un ejemplar de *B. parryi* con uno de *B. barbata* var. *rothrockii*.

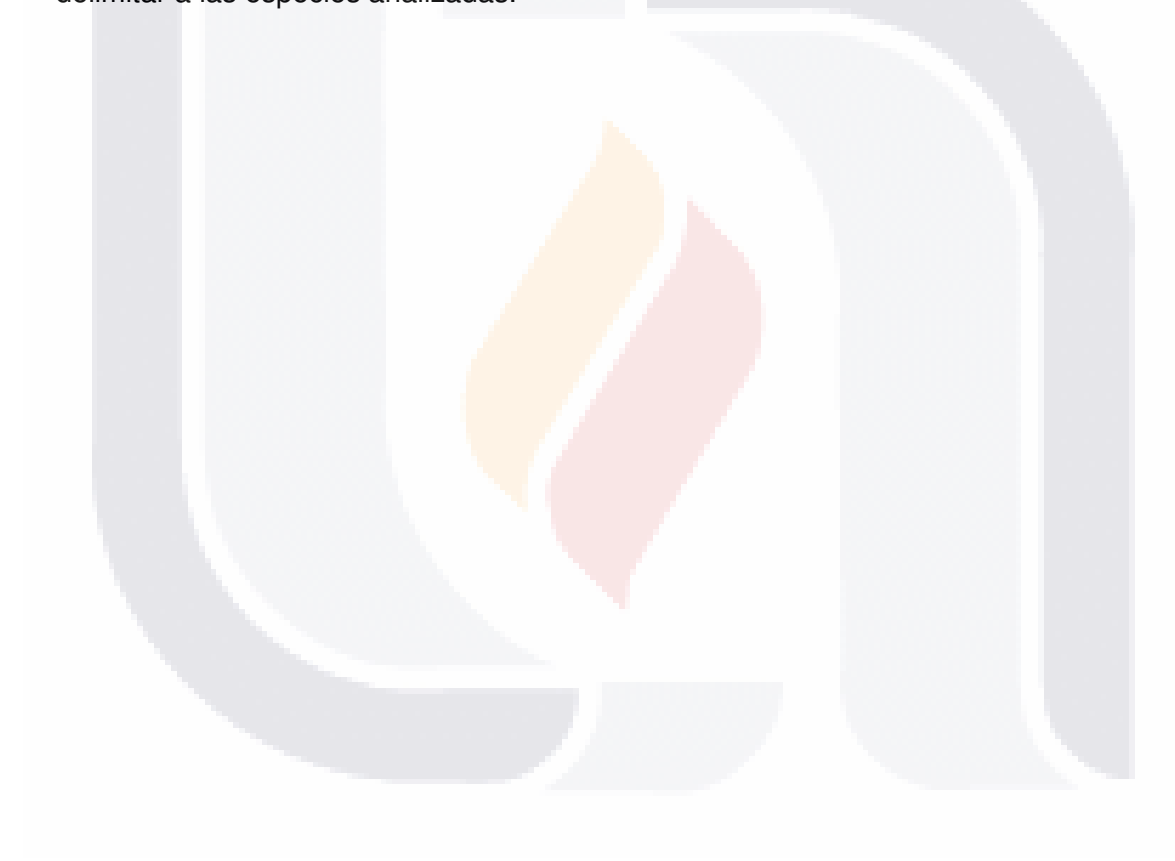
Otra de las especies del complejo que presentó dicho caracter es *B. elata*, la cual como ya se ha mencionado anteriormente se encuentra estrechamente relacionada con *B. parryi*. Dicha relación ya había sido evidenciada por Reeder y Reeder (1963) cuando realizaron la descripción de *B. elata*, ya que observaron que además de la presencia de pubescencia de base papilasa en la segunda gluma, sus espiguillas presentaban características similares.

- 66 -



Presencia/ausencia de aristas en pálea

La presencia de aristas en la pálea no ha sido considerado como un caracter que ayude a la circunscripción de las especies del complejo *B. barbata*, sin embargo, este ha sido evidenciado por diferentes autores (Gould, 1980; Grifftiths, 1912; Herrera *et al.*, 2004). Con la hipótesis obtenida se pudo observar que dicho caracter solamente se encuentra ausente en *B. ramosa*, es por esto que la presencia de aristas en la pálea es una sinapomorfia para el resto de los taxa del complejo; sin embargo, debido a la poca variación que presenta este caracter en el complejo, no se puede considerar como informativo ya que no nos permite delimitar a las especies analizadas.



CONCLUSIONES

- Con los análisis moleculares realizados se pudo conocer que B. breviseta es el único taxón monofilético del complejo B. barbata.
- La evidencia de los análisis moleculares y morfométricos mostraron que *B. barbata* var. *barbata* y *B. barbata* var. *rothrockii* están bien delimitadas entre ellas y por lo tanto sí son variedades diferentes; sin embargo, el encontrar algunas formas intermedias sugieren que está existiendo hibridación entre ellas.
- B. barbata var. sonorae al no lograrse diferenciar de las otras dos variedades a nivel
 molecular y morfológico, sugiere que probablemente dicho taxón no existe y que las
 variaciones morfológicas que presenta son causadas por el hábitat en el que se
 encuentra, sin embargo, no son específicas de esta; como la presencia de estolones, ya
 que algunos ejemplares de la var. rothrockii también tuvieron dicha estructura cuando se
 encontraron en suelos arenosos.
- B. parryi var. parryi y var. gentryi no se separaron a nivel molecular y morfológico, sin embargo, debido a que a nivel morfológico diversos autores mencionan que sí presentan suficiente variación para ser consideradas como variedades diferentes, se recomienda aumentar el número de ejemplares y caracteres medidos de ambos taxa para definir si dichas variedades existen.
- De los nueve caracteres obtenidos como significativos en los análisis morfométricos, cuatro fueron considerados como informativos en base a su evolución para ayudar a diferenciar los taxa del complejo.
- En base a la evolución de los caracteres informativos, se obtuvo que la sinapomorfia para *B. ramosa* es presentar de 1 a 2 ramas por inflorescencia; mientras que para *B. elata* su autapomorfia es la longitd del tallo, ya que es la especie más alta del complejo *B. barbata*.

- La presencia de pubescencia de base papilosa en la segunda gluma es la sinapomorfia de *B. elata* y *B. parryi*, y el caracter más significativo para diferenciar a *B. parryi* de *B. barbata*.
- La longitud del tallo y la duración de la planta, fueron los caracteres que se encontraron como útiles para diferenciar a *B. barbata* var. *barbata* de la var. *rothrockii*; ya que la var. *rothrockii* es perenne y de tallos largos, mientras que la var. *barbata* es anual y presenta tallos más cortos.
- Se recomienda utilizar otro marcador molecular de cloroplasto para poder obtener una mejor resolución, y así ver si se pueden resolver mejor las relaciones inter e intraespecíficas de los taxa del complejo *B. barbata*. Además, también se recomienda volver a realizar los análisis morfométricos incluyendo a *B. breviseta* para poder observar sus similitudes y diferencias con *B. ramosa*.

TESIS TESIS TESIS

GLOSARIO

Ácido desoxirribonucleico: largo polímero lineal, compuesto de cuatro tipos de nucleótidos de desoxirribosa, que es el portador de la información genética. En su estado nativo, el DNA es una doble hélice de dos hebras antiparalelas mantenidas juntas mediante enlaces de hidrógeno entre bases de purina y pirimidina complementarias.

Anual: que completa el ciclo de vida en el término de un año o en menos tiempo.

Apomórfico: Caracter derivado de un estado ancestral.

Caulinares: sobre el tallo o relativo al tallo.

Clado: conjunto de organismos emparentados en una reconstrucción filogenética y que comparten un antepasado común.

Complejo: Grupo de especies cercanamente relacionadas que comparten el mismo ancestro.

Cromosoma: unidad estructural del material genético que consiste en una única molécula de ADN lineal de hebra doble y las proteínas asociadas.

Decumbente: reclinado sobre el suelo con los extremos ascendentes.

Diploides: organismo o célula que tiene dos conjuntos completos de cromosomas homólogos y por lo tanto dos copias (alelos) de cada gen o locus genético.

Ramas: inflorescencia indefinida, simple, con las flores sésiles sobre un eje prolongado.

Espiguillas: pequeña espiga típica de las gramíneas. Consta de dos brácteas basales (glumas), además de una escama exterior (lema) y una interior (pálea) alrededor de cada flor.

Estolón: brote lateral, basal, con entrenudos largos que desarrolla raíces para formar una nueva planta en la punta.

Filogenia: historia evolutiva de un grupo de taxones.

Geniculado: doblado abruptamente.

Glumas: brácteas localizadas generalmente en pares, en la base de la inflorescencia de las gramíneas.

Lámina foliar: porción expandida y aplanada de la hoja.

Lema: escama exterior de la flor de las gramíneas.

Lígula: pequeño apéndice por arriba de la vaina de la hoja en ciertas gramíneas. **Monofilia:** grupo que comprende una especie ancestral y todos sus descendientes.

Pálea: escama interior de la flor de las gramíneas.

Parafilética: grupo que comprende una especie ancestral y sólo una parte de sus descendientes.

Pectinado (a): con divisiones paralelas y muy finas, como las de un peine.

Perenne: que perdura más de dos años.

Plesiomorfia: estado de caracter presente en el grupo externo y en los antecesores.

Ploidía: número de juegos completos de cromosomas en una célula.

Poliploidía: organismo con múltiples juegos completos de cromosomas.

Rizoma: tallo plagiótropo, generalmente subterráneo.

Rizomatosa: con el aspecto de un rizoma.

Sésil: hoja sin pecíolo.

Taxón: unidad taxonómica de cualquier jerarquía.

Taxonomía: ciencia que se encarga de ordenar, describir y clasificar a los seres vivos.



TESIS TESIS TESIS

BIBLIOGRAFÍA

- Beetle, A. 1982. Noteworthy grasses from Mexico X. Phytologia. 52: 11-17
- Breymeyer, A., Noble, R., Deets, S., Brand, N., Robbin, K., Vandivere, S. and Noble, R. 1996. Biodiversity Conservation *in Transboundary Protected Areas: Proceedings of an International Workshop Bieszczady and Tatra National Parks.* Poland.15-25.
- Cerros-Tlatilpa, R., Columbus, T. and Barker, N. 2011. Phylogenetic relationships of Aristida and relatives (Poaceae, Aristidoideae) based on noncoding chloroplast (*trnL-F*, *rpl16*) and nuclear (ITS) DNA sequences. *American Journal of Botany*. 98(11): 1868-1886.
- Columbus, J. 1996. Lemma micromorphology, leaf anatomy, and phylogenetics of Bouteloua, Hilaria, and relatives (Gramineae: Chloridoideae: Boutelouinae). Ph. D dissertation. University of California. Berkeley. 258 p.
- Columbus, J. 1999. An expanded circumscription of *Bouteloua* (Gramineae: Chloridoideae):

 New combinations and names. *A Journal of Systematic and Evolutionary Botany*. 18: 61–65.
- Columbus, J., Cerros, R., Kinney, M., Siqueiros, M., Bell, H., Griffith, M. and Rodriguez, N. 2007. Phylogenetics of Chloridoideae (Gramineae): a preliminary study based on nuclear ribosomal internal transcribed spacer and chloroplast trnL–F sequences. *A Journal of Systematic and Evolutionary Botany*. 23(1): 565–579.
- Columbus, J., Kinney, M., Pant, R. and Siqueiros, M. 1998. Cladistic parsimony analysis of internal transcribed spacer region (nrDNA) sequences of *Bouteloua* and relatives (Gramineae: Chloridoideae). *A Journal of Systematic and Evolutionary Botany*. 17: 99–130.
- Columbus, J., Kinney, M., Siqueiros, M. and Porter, J. 2000. Phylogenetics of *Bouteloua* and relatives (Gramineae: Chloridoideae): cladistic parsimony analysis of internal transcribed spacer (nrDNA) and trnL-F (cpDNA) sequences. *Autralian Journal of Botany*. 89–194.
- CONABIO. 2006. *Capital natural y bienestar social*. Comisión Nacional para el Conocimiento y Uso de la Biodiversidad. México.
- Davis, J. 1986. Statistics and Data Analysis in Geology. John Wiley & Sons.
- Dewey, L.1894. Gramineae. Botany of western Texas. Contr. U.S. Natl. Herb. 2: 484-551.
- Doyle, J. and Doyle, L. 1987. A rapid DNA isolation procedure for small quantities of fresh

- 72 -



- leaf tissue. Phytochemical Bulletin. 19:11-15.
- Gould, F. 1980. The Genus *Bouteloua* (Poaceae). *Annals of the Missouri Botanical Garden.* 66: 348–416.
- Gould, F. y Shaw, R. 1992. *Gramíneas. Clasificación sistemática*. AGT Editor, S.A. 381 p.
- Griffiths, D. 1912. The grama grasses: *Boutelou*a and related genera. *Contribution U. S. National Herbarium*. 14: 343–428.
- Guzmán, J., Hoth, J. y E. Blanco. 2011. *Plan de Acción para la Conservación y Uso Sustentable de los Pastizales del Desierto Chihuahuense en el Estado de Chihuahua 2011-2016*. Gobierno del Estado de Chihuahua, México. 37 p.
- Hall, T. 1999. BioEdit: a user-friendly biological sequence alignment editor and analysis program for Windows 95/98/NT. Nucl. Acids. Symp. Ser. 41:95-98.
- Hammer, Q., Harper, D. and Ryan, P. 2001. PAST: Paleontological Statistics Software Package for Education and Data Analysis. Paleontologia Electronica. 4(1): 9.
- Harper, D. 1999. Numerical Palaeobiology. John Wiley & Sons.
- Hasegawa, M., Kishino, H. and Yano, T. 1985. Dating of the human-ape splitting by a molecular clock of mitochondrial DNA. *Journal of Molecular Evolution*. 22 (2):160-174.
- Herrera, Y. 2001. *Las Gramíneas de Durango*. Comisión Nacional para el Conocimiento y Uso de la Biodiversidad. México.478 p.
- Herrera, Y. y De la Cerda, M. 1997. Morfometría del genera *Bouteloua* Lag. (Poaceae) de Mexico. *Phytologia*. 83(2): 113-124.
- Herrera, Y., Peterson, P. y De la Cerda, M. 2004. *Revisión de Bouteloua (Poaceae)*. Instituto Politécnico Nacional- Comisión Nacional para el Conocimiento y Uso de la Biodiversidad. México. 290 p.
- Hilu, K., and Alice, L. 2001. A phylogeny of Chloridoideae (Poaceae) based on matK sequences. *Systematic Botany*. 26: 386–405.
- Hitchcock, A. 1920. *The genera of grasses of the United States*. United States Department of Agriculture: Bulletin 772: 1–302.
- Jordan, W., Courtney, M. and Neigel, J. 1996. Low levels of intraspecific genetic variation at a rapidly evolving chloroplast DNA locus in North American duckweeds (Lemnaceae). *American Journal of Botany*. 83:430-439.
- Kelchner, S. and Clark, L.1997. Molecular evolution and phylogenetic utility of the chloroplast *rpl16* intron in *Chusquea* and the Bambusoideae (Poaceae). *Molecular Phylogenetics and Evolution*. 8:385-397.

- 73 -

- Liu, Q., Zhao, N. and Hao, G. 2005. Phylogenetic relationships of the Chloridoideae (Gramineae): a cladistic analysis. *Smithsonian Contributions to Botany.* 87: 1-50.
- Maddison, W. and Maddison, D. 2016. *Mesquite: a modular system for evolutionary analysis*.
- Martín, G. y Agüero, S. 2014. *Los pastizales y el deterioro ambiental*. Universidad Nacional de Tucumán. 21 p.
- Miller, M., Pfeiffer, W. and Schwartz, T. 2010. Creating the CIPRES Science Gateway for inference of large phylogenetic trees. *Proceedings of the Gateway Computing Environments Workshop (GCE)*. New Orleans, LA. 1 8.
- Peterson P., Romaschenko, K. and Johnson, G. 2010. A classification of the Chloridoideae (Poaceae) based on multi-gene phylogenetics trees. *Molecular Phylogenetics and Evolution*. 55: 580-598.
- Peterson, P., Romaschenko, K. and Herrera, A. 2015. Phylogeny and subgeneric classification of *Bouteloua* with a new species, *B. herrera-arrietae* (Poaceae: Chloridoideae: Cynodonteae: Boutelouinae). *Journal of Systematics and Evolution*. 53(4): 351-366.
- Prince, L. 2010. Phylogenetic relationships and species delimitation in Canna (Cannaceae).

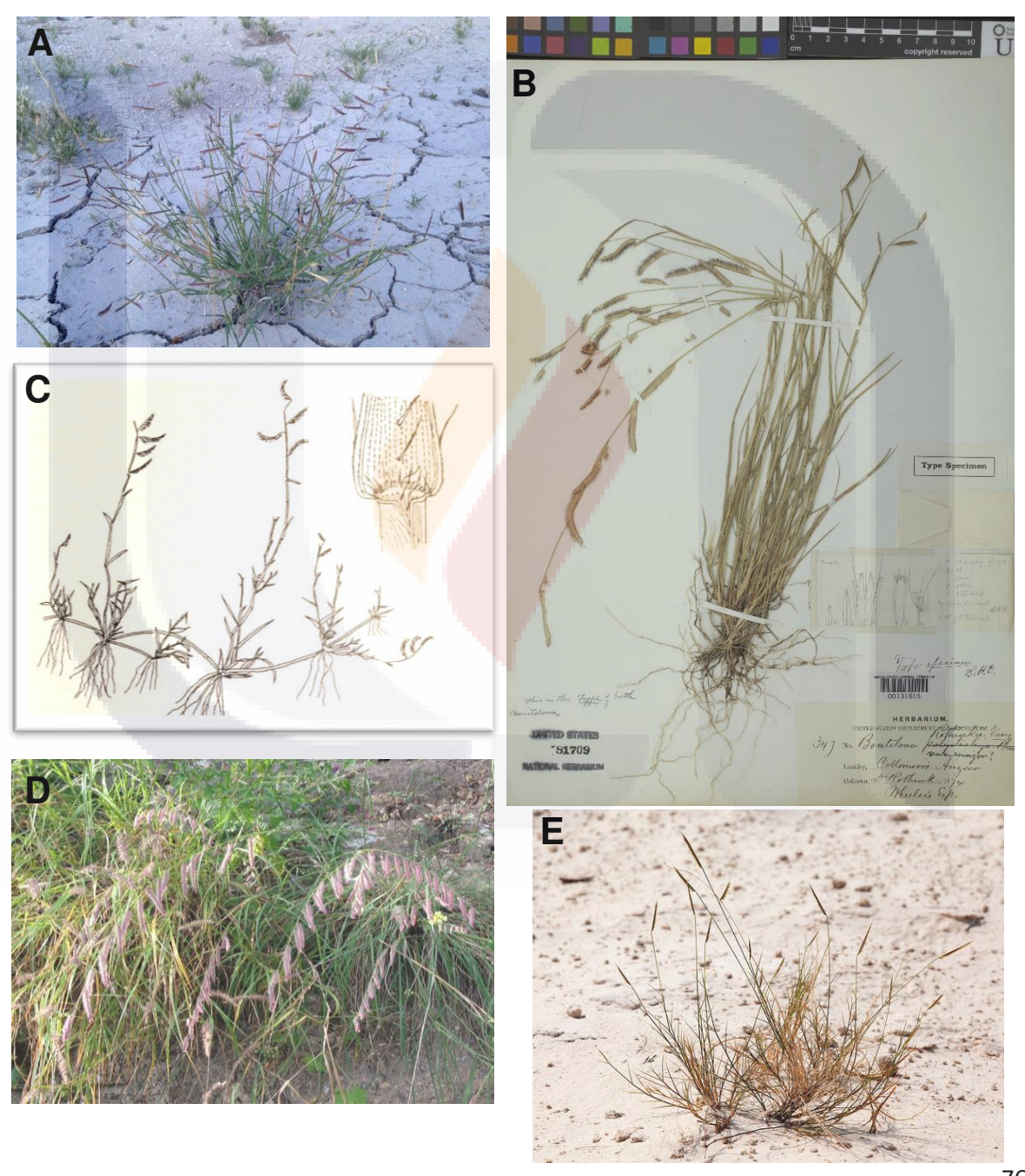
 Diversity, Phylogeny, and Evolution in the Monocotyledons. Aarhus University Press,
 Denmark. 307-331 pp.
- Reeder, J. and Reeder, C. 1963. Notes on Mexican grasses. I. New and noteworthy species of *Bouteloua*. *Brittonia* 15: 215–221.
- Reeder, J. and Reeder, C. 1980. Systematics of *Bouteloua breviseta* and *B. ramosa* (Gramineae). *Systematic Botany*. 5: 312-321.
- Ronquist, F. and Huelsenbeck, J. 2001. MRBAYES: Bayesian inference of phylogeny. *Bioinformatics*. 17:754-755.
- Rzedowski, J. 2006. *Vegetación de México*. Comisión Nacional para el Conocimiento y Uso de la Biodiversidad. México. 504 p.
- Sanger, F., Nicklen, S. and Coulson, A. 1977. DNA sequencing with chain terminating inhibitors. *Proceedings of the National Academy of Sciences*. 74(12): 5463-5467.
- Scribner, F.1897. American grasses. U.S.D.A, Agrostol. Bull.7.
- Siqueiros, M. 2001. *Phylogenetics of the Bouteloua curtipendula complex (Gramineae: Chloridoideae)*. Ph. D dissertation, Claremont Graduate University and Rancho Santa Ana Botanic Garden. California. 140 p.

- 74 -

- Siqueiros, M. 2007. *Bouteloua vaneedenii* Pilg. ex Urban, una especie endémica de las Antillas Menores y Cuba. *Investigación y Ciencia*. 38: 9–13.
- Siqueiros, M. and Herrera, Y. 1996. Taxonomic value of the culm anatomical characters in the species of *Bouteloua* Lagasca (Poaceae: Eragrostoideae). *Phytologia*. 81(2): 124-141.
- Siqueiros, M., Ainouche, M., Columbus, T. and Ainouche, A. 2013. Phylogeny of the *Bouteloua curtipendula* complex (Poaceae: Chloridoideae) based on nuclear ribosomal and plastid DNA sequences from diploid taxa. *Systematic Botany*. 38: 379–389.
- Swallen, J. 1964. Gramineae. *In* T.H. Kearney & R. H. Peebles. *Arizona Flora*. University of California Press. 70-145.
- Tavaré, S. 1986. Some probabilistic and statistical problems in the analysis of DNA sequences, in Some Mathematical Questions in Biology DNA Sequence Analysis. American Mathematical Society. 57–86.
- Vasey, G. 1890a. Gramineae. *Upon a collection of plants made by Mr. G. C. Neally, in the region of the Rio Grande, in Texas, from Brazos Santiago to el Paso County.* Contr. U.S. Natl. Herb. 1: 52-60.
- Vasey, G. 1890b. Illustrations of North American grasses. *Grasses of the Southwest*. U.S.D.A. Bot. Div. Bull. 12.
- Villers, R. y Trejo, I. 2000. *México: Una visión hacia el siglo XXI. El cambio climático en México*. México. 63-82 pp.
- Watson, S. 1883. Contributions to American botany. *Proceedings of the American Academy of Arts and Sciences.* 18: 96–196.
- Watts, C., Fisher, A., Shrum, C., Newbold, W., Hansen, S., Liu, C. and Kelchner, S. 2008. The D4set: primers that target highly variable intron loops in plant chloroplast genomes. *Molecular Ecology Resources*. 8: 1344-1347.
- Yang Z. 1994. Maximum likelihood phylogenetic estimation from DNA sequences with variable rates over sites: approximate methods. *Journal of Molecular Evolution*. 39:306–314.
- Zhang, W. 2000. Phylogeny of the grass family (Poaceae) from *rpl16* intron sequence data. *Molecular Phylogenetics and Evolution*. 15(1): 135-146.

ANEXOS

Anexo A. Fotos e ilustraciones de los taxa del complejo *B. barbata*. A) *B. barbata* var. *barbata*, B) *B. barbata* var. *rothrockii*, C) *B. barbata* var. *sonorae*, D) *B. elata*, E) *B. breviseta*. Créditos de fotos e ilustraciones: Biól. Marisol Pacheco (A), ejemplar tipo del Herbario Nacional de Estados Unidos (B), ilustración sustraída de la Revisión de *Bouteloua* Lag. (Poaceae) (C), Biól. Marcela Avedaño (D), Patrick Alexander (E).



- 76 -

Anexo A. Fotos e ilustraciones de los taxa del complejo *B. barbata.* F) *B. parryi* var. parryi, G) *B. parryi* var. gentryi, H) *B. ramosa*. Créditos de fotos: isotipos del Herbario Nacional de Estados Unidos (F) y del Herbario de la Universidad de Arizona (G), Biól. Marisol Pacheco (H).





- 77 -

ANEXO B. Protocolo CTAB 2% de extracción de DNA (MINIPREP) (Doyle y Doyle,1987; modificado por Columbus *et al.*,1998)

- * Precalentar baño María a 60ºC.
- * Todas las agitaciones son suaves.
- * Preparar solo la cantidad requerida para la extracción del Buffer CTAB antes de iniciar el protocolo y agregar el β-mercaptoetanol hasta el momento en que se vaya a utilizar.
- * Buffer CTAB: Tris-HCl 100mM pH 8; NaCl 1.4M; EDTA 20mM, CTAB 2%; β-mercaptoetanol 0.3%. Agregar reactivos en el siguiente orden: Agua (esteril), TrisHCl, EDTA, Cloruro de sodio y CTAB.
- 1. Pulverizar las muestras en mortero con nitrógeno líquido (máximo 0.3 gr de peso).
- 2. Agregar 1.6ml Buffer CTAB. Mezclar por agitación suave.
- 3. Centrifugar el lisado durante 8min a 10,000 rpm
- 4. Incubar en baño maría 15min a 60°C.
- 5. Agregar 600μl Cloroformo-Alcohol Isoamílico 24:1, agitando suavemente hasta homogeneizar.
- 6. Centrifugar durante 15min a 7,000 rpm.
- 7. Transferir el sobrenadante a un tubo nuevo.
- * Importante calcular el volumen recuperado, es recomendable extraer de 100μl en 100μl.
- 8. Repetir pasos 5 y 6 (solo para material fresco, omitir este paso para material de herbario).
- 9. Agregar 2/3 VolFinal Isopropanol frío y mezclar por agitación suave, para precipitar DNA.
 - * Si se recuperan 400ul se agregan 270µl de isopropanol.
 - * Si se recuperan 450ul se agregan 300µl de isopropanol.
- 10. Dejar reposar 12hr a -20°C (Si es material de herbario y muy antiguo, dejar en precipitación hasta dos o tres semanas),
- 11. Centrifugar 5min a 12,000 rpm y descartar el sobrenadante, cuidando de no perder la pastilla.
- 12. Agregar 1ml Etanol al 70%, para limpiar la pastilla.
- 13. Centrifugar 5min a 12,000 rpm y descartar el sobrenadante, cuidando de no dañar la pastilla.

14. Agregar 200 μ l H₂O destilada para re-suspender la pastilla (si se trata de material de herbario resuspender en 25 μ l H₂O, de ser necesario posteriormente se puede diluir más). LA SOLUCION RESULTANTE CONTIENE EL DNA, CONSERVARLO A -20 $^{\circ}$ C



ANEXO C. Secuencias alineadas de la región ITS de las especies incluidas en los análisis filogenéticos del complejo *B. barbata* y grupo externo. Los nucleótidos están numerados en dirección 5´-3´. Los guiones representan gaps. Los polimorfismos están codificados de la siguiente manera: M=A/C, Y=C/T, K=G/T, R=A/G, S=G/C, N=A/C/G/T.

	5	15	25	35	45	55	65
b.var.barbata61Arg				ATGTTATCCA			TGCACTGGCC
b.var.barbata5422Chih	TCGTGACCCT	GACCAAAATA	GACCGTGAAC	ATGTTATCCA	TGCCGCCGAG	TGATTGGTCT	TGCACCGGTC
b.var.barbata5447Chih	TCGTGACCCT	GACCAAAATA	GACCGTGAAC	ATGTTATCCA	TGCCGCCGAG	TGATTGGTCT	TGCACCAGTC
b.var.barbata2478Ags	TCGTGACCCT	GACCAAAATA	GACCGTGAAC	ATGTTATCCA	TACCGCCGAG	TGATTGGTCT	TGCACTGGCC
b.var.barbata5416Coah	TCGTGACCCT	GACCAAAATA	GACCGTGAAC	ATGTTATCCA	TACCGCCGAG	TGATTGGTCT	TGCACTGGCC
b.var.barbata126SLP	TCGTGACCCT	GACCAAAATA	GACCGTGAAC	ATGTTATCCA	TACCGCCGAG	TGATTGGTCT	TGCACTGGCC
b.var.barbata5257BCS	TCGTGACCCT	GACCAAAATA	GACCGTGAAC	ATGTTATCCA	TGCCGCCGAG	TGATTGGTCT	TGCACCAGTC
b.var.barbataGU359280.1Chih	TCGTGACCCT	GACCAAAATA	GACCGTGAAC	ATGTTATCCA	TGCCGCCGAG	TGATTGGTCT	TGCACCAGTC
b.var.barbataKR184841.1TX	TCGTGACCCT	GACCAAAATA	G <mark>ACCGT</mark> GAAC	ATGTTATCCA	TACCGCCGAG	TGATTGGTCT	TGCACTGGCC
b.var.barbataKR184836.1SLP	TCGTGACCCT	GACCAAAATA	GACCGTGAAC	ATGTTATCCA	TACCGCCGAG	TGATTGGTCT	TGCACTGGCC
b.var.barbataKR184835.1SLP	TCGTGACCCT	GACCAAAATA	GACCGTGAAC	ATGTTATCCA	TACCGCTGAG	TGATTGGTCT	TGCACTGGCC
b.var.barbataKR184834.1SLP	TCGTGACCCT	GACCAAAATA	GACCGTGAAC	ATGTTATCCA	TACCGCTGAG	TGATTGGTCT	TGCACTGGCC
b.var.barbata2229AZ	TCGTGACCCT	GACCAAAATA	GACCGTGAAC	ATGTTATCCA	TACCGCCGAG	TGATTGGTCT	TGCACTGGCC
b.var.barbata2941	TCGTGACCCT	GACCAAA <mark>ATA</mark>	GACCGTGAAC	ATGTTATCCA	TGCMGCCGAG	TGATTGGTCT	TGCACCAGTC
b.var.barbata4943	TCGTGACCCT	GACCAAAATA	GACCGTGAAC	ATGTTATCCA	TACCGCCGAG	TGATTGGTCT	TGCACTGGCC
b.var.rothrockiiKR184839.1Son	TCGTGACCCT	GACCAAAATA	GACCGTGAAC	ATGTTATCCA	TACTGCCGAG	TGATTGGTCT	TGCACTGGCC
b.var.rothrockii5249BCS	TCGTGACCCT	GACCAAAATA	GACCGTGAAC	ATGTTATCCA	TACCGCCGAG	TGATTGGTCT	TGCACTGGCC
b.var.rothrockii5460Son	TCGTGACCCT	GACCAAAATA	GACCGTGAAC	ATGTTATCCA	TACCGCCGAG	TGATTGGTCT	TGCACTGGCC
b.var.rothrockii5456Son	TCGTGACCCT	GACCAAAATA	GACCGTGAAC	ATGTTATCCA	TACCGCCGAG	TGATTGGTCT	TGCACTGGCC
b.var.rothrockii5228Son	TCGTGACCCT	GACCAAAATA	GACCGTGAAC	ATGTTATCCA	TACTGCCGAG	TGATTGGTCT	TGCACTGGCC
b.var.rothrockiiKR184838.1AZ	TCGTGACCCT	GACCAAAATA	GACCGTGAAC	ATGTTATCCA	TACTGCCGAG	TGATTGGTCT	TGCACTGGCC
b.var.rothrockiiKR184837.1Son	TCGTGACCCT	GACCAAAATA	GACCGTGAAC	ATGTTATCCA	TACTGCCGAG	TGATTGGTCT	TGCACTGGCC
b.var.rothrockiiKR184833.1AZ	TCGTGACCCT	GACCAAAATA	GACCGTGAAC	ATGTTATCCA	TACTGCCGAG	TGATTGGTCT	TGCACTGGCC
b.var.rothrockii5467Son	TCGTGACCCT	GACCAAAATA	GACCGTGAAC	ATGTTATCCA	TACCGCCGAG	TGATTGGTCT	TGCACTGGCC
b.var.rothrockii5227Son	TCGTGACCCT	GACCAAAATA	GACCGTGAAC	ATGTTATCCA	TACTGCCGAG	TGATTGGTCT	TGCACTGGCC
b.var.rothrockii2454AZ	TCGTGACCCT	GACCAAAATA	GACCGTGAAC	ATGTTATCCA	TACTGCCGAG	TGATTGGTCT	TGCACTGGCC
b.var.rothrockii2934	TCGTGACCCT	GACCAAAATA	GACCGTGAAC	ATGTTATCCA	TACTGCMGAG	TGATTGGTCT	TGCACTGGCC
b.var.sonorae5459Son	TCGTGACCCT	GACCAAAATA	GACCGTGAAC	ATGTTATCCA	TACCGCCGAG	TGATTGGTCT	TGCACTGGCC
b.var.sonorae2368	TCGTGACCCT	GACCAAAATA	GACCGTGAAC	ATGTTATCCA	TGCCACCGAG	TGATGGGTCT	TGCACCAGTC
b.var.sonorae5353	TCGTGACCCT	GACCAAAATA	GACCGTGAAC	ATGTTATCCA	TACTGCCGAG	TGATTGGTCT	TGCACTKGCC

p.var.parryi 2299Son
p.var.parryi5349
p.var.gentryi5476Sin
<pre>p.var.gentryiKR184918.1Si</pre>
p.var.gentryi2369
p.var.gentryi316
elata2358Jal
elataKR184875.10ax
elataKR184874.1Col
elata23588Jal
elata4086
ramosa5144Chih
ramosaJF791632.1Coah
ramosa2287Coah
brevisetaKR184842.1NM
breviseta2211
breviseta2908TX
gracilis135
chaseiKR184845.1
scorpioides138

5	15	25	35	45	55	65
TCGTGACCCT	GACCAAAATA	GACCGTGAAC	ATGTTATCCA	TGCCGCCGAG	TGATTGGTCT	TGCACCAGTC
TCGTGACCCT	GACCAAAATA	GACCGTGAAC	ATGTTATCCA	TGCCGCCGAG	TGATTGGTCT	TGCACCAGTC
TCGTGACCCT	GACCAAAATA	GACCGTGAAC	ATGTTATCCA	TGCCGCCGAG	TGATTGGTCT	TGCACCAGTC
TCGTGACCCT	GACCAAAATA	GACCGTGAAC	ATGTTATCCA	TGCCGCCGAG	TGATTGGTCT	TGCACCAGTC
TCGTGACCCT	GACCAAAATA	GACCGTGAAC	ATGTTATCCA	TGCCGCCGAG	TGATTGGTCT	TGCACCAGTC
TCGTGACCCT	GACCAAAACA	GACCGTGAAC	ATGTTATCCA	TGCCGCCGGG	TGATTGGTCT	TGCACCAGTC
TCGTGACCCT	GACCAAAATA	GACCGTGAAC	ATGTTATCCA	TGCCGCCGAG	TGATTGGTCT	TGCACCGGTC
TCGTGACCCT	GACCAAAATA	GACCGTGAAC	ATGTCATCCA	TGCTGCCGTG	TGATTGGTCT	TGCACCGGTC
TCGTGACCCT	GACCAAAATA	GACCGTGAAC	ATGTTATCCA	TGCCGCCGTG	TGATTGGTCT	TGCACCGGTC
TCGTGACCCT	GACCAAAATA	GACCGTGAAC	ATGTTATCCA	TGCCGCCGTG	TGATTGGTCT	TGCACCGGTC
TCGTGACCCT	GACCAAAATA	GACCGT GAAC	ATGTTATCCA	TGCCGCCGTG	TGATTGGTCT	TGCACCGGTC
TCGTGACCCT	GACCAAAACA	GACCGTGAAC	ATGTCATCCA	TGCCGCCGGG	CGATGGGTTT	TGCACCTGTC
TCGTGACCCT	GACCAAAACA	GACCGTGAAC	ATGTCATCCA	TGCCGCCGGG	CGATGGGTTT	TGCACCTGTC
TCGTGACCCT	GACCAAAACA	GACCGTGAAC	ATGTCATCCA	TGCCGYCGGG	CGATGGGTTT	TGCACCTGTC
TCGTGACCCT	GACCAAAATA	GACCGTGAAC	ATGTCATCCA	TGCCGCCGGG	CGATGGGTTT	TGCACCTGTC
TCGTGACCCT	GACCAAAATA	GACCGTGAAC	ATGTCATCCA	TGCCGCCGGG	CGATGGGTTT	TGCACCTGTC
TCGTGACCCT	GACCAAAATA	GACCGTGAAC	ATGTCATCCA	TGCCGCCGGG	CGATGGGTTT	TGCACCTGTC
TCGTGACCCT	GACCAAAACA	AACAGTGAAC	GTGTTACCCA	TGCCGCCGGT	TGATGGGTGT	CGCACCTGTC
TCGTGACCCT	GACCAAAACA	AACAGTGAAC	TTGTTACCCA	TGCCGCCGGC	TGATGGGTGT	CACACCAGTC
TCGTGACCCT	GACCAAAACA	AACAGTGAAC	ATGTTACCCA	TGCGTCCGGC	AGATGGGTGT	CGCACCTGTC

ANEXO C. Continuación.

	75	85	95	105	115	125	135
b ream bambata617 rea				AGGGTT-GT-			
<pre>b.var.barbata61Arg b.var.barbata5422Chih</pre>				AGGGTT-GT-		-	
b.var.barbata5447Chih				AGGGTT-GC-		-	
b.var.barbata2478Aqs				AGGGTT-GT-			
b.var.barbata5416Coah				AGGGTT-GT-			
b.var.barbata126SLP				AGGGTT-GT-			
b.var.barbata5257BCS				AGGGTT-GC-		-	
b.var.barbataGU359280.1Chih				AGGGTT-GC-		-	
b.var.barbataKR184841.1TX				AGGGTT-GT-			
b.var.barbataKR184836.1SLP				AGGGTT-GT-			
b.var.barbataKR184835.1SLP				AGGGTT-GT-			
b.var.barbataKR184834.1SLP				AGGGTT-GT-		-	
b.var.barbata2229AZ				AGGGTT-GT-		-	
b.var.barbata2941				AGGGTT-GC-		-	
b.var.barbata4943				AGGGTT-GT-		-	
b.var.rothrockiiKR184839.1Son				AGGGTT-GT-			
b.var.rothrockii5249BCS				AGGGTT-GT-		-	
b.var.rothrockii5460Son				AGGGTT-GT-			
b.var.rothrockii5456Son				AGGGTT-GT-			
b.var.rothrockii5228Son				AGGGTT-GT-			
b.var.rothrockiiKR184838.1AZ				AGGGTT-GT-		-	
b.var.rothrockiiKR184837.1Son				AGGGTT-GT-			
b.var.rothrockiiKR184833.1AZ				AGGGTT-GT-		-	
b.var.rothrockii5467Son				AGGGTT-GT-			
b.var.rothrockii5227Son				AGGGTT-GT-			
b.var.rothrockii2454AZ				AGGGTT-GT-		-	
b.var.rothrockii2934				AGGGTT-GT-		-	
b.var.sonorae5459Son				AGGGTT-GT-			
b.var.sonorae2368				AGGGTT-GC-			
b.var.sonorae5353				AGGGTT-GT-			
p.var.parryi 2299Son				AGGGTT-GC-			
p.var.parryi5349				AGGGTT-GC-		-	
p.var.gentryi5476Sin				AGGGTT-GC-			
p.var.gentryiKR184918.1Sin				AGGGTT-GC-		-	
p.var.gencryrkkro4910.13111	DUARDDIOA	GGGIGCCIC	CCITICGA	AGGII-GC-	0100	CIAAAAGAAC	COACGGGGC

- 82 -

ANEXO C. Continuación.

p.var.gentryi2369 p.var.gentryi316 elata2358Jal elataKR184875.10ax elataKR184874.1Col elata23588Jal elata4086 ramosa5144Chih ramosaJF791632.1Coah ramosa2287Coah brevisetaKR184842.1NM breviseta2211 breviseta2908TX gracilis135 chaseiKR184845.1 scorpioides138

75	85	95	105	115	125	135
ACTCGGAACG	GGGTGGCCTC	C-CTTTTCGA	AGGGTT-GC-	CTCC	CTAAAAGAAC	CCACGGCGCC
ACTCGGAACA	GGGTGACCTC	C-CTTTTCGA	AGGGTT-GC-	CTCC	CTAAAAGAAC	CCACGGCGCC
ACTCGGAACA	GGGTGGCCTC	C-CTTTTCCA	AGGGTT-GG-	CTCC	CTAAAAGAAC	CCACGGCGCC
ACTCGGAACA	GGGTGTCCAC	CTCTCTTCCA	AGGGGT-GG-	CTCC	CTAAAAGAAC	CCACGGCGCT
ACTCGGAACA	GGGTGTCCAC	CTCTCTTCCA	AGGGGT-GG-	CTCC	CTAAAAGAAC	CCACGGCGCC
ACTCGGAACA	GGGTGTCCAC	CTCTCTTCCA	AGGGGT-GG-	CTCC	CTAAAAGAAC	CCACGGCGCC
ACTCGGAACA	GGGTGTCCAC	CTCTCTTCCA	AGGGGT-GG-	CTCC	CTAAAAGAAC	CCACGGCGCC
TCCCGGAACA	GGGTGCCAAC	C-CTCTTCGT	TGGGGGAGG-	CACC	CTAAAAGAAC	CCACGGCGCC
TCCCGGAACA	GGGTGCCAAC	C-CTCTTCGT	TGGGGGAGG-	CACC	CTAAAAGAAC	CCACGGCGCC
TCCCGGAACA	GGGTGCCAAC	C-CTCTTCGT	TGGGGGAGG-	CACC	CTAAAAGAAC	CCACGGCGCC
TCCCGGAACA	GGGTGCCAAC	C-CTCTTCGT	TGGGGGAGG-	CACC	CTAAAAGAAC	CCACGGCGCC
TCCCGGAACA	GGGTGCCAAC	C-CTCTTCGT	TGGGGGAGG-	CACC	CTAAAAGAAC	CCACGGCGCC
TCCCGGAACA	GGGTGCCAAC	C-CTCTTCGT	TGGGGGAGG-	CACC	CTAAAAGAAC	CCACGGCGCC
TCTCGGATCA	GGGTGCCAAC	C-TTCTTCAG	AGGGGCGGG-	CACC	CTAAAAGAAC	CCACGGCGCC
TCTCGGATCA	GGGTGCCAAC	C-TTCTTGAG	ATGGGT-GG-	CACC	CTAAAAGAAC	CCACGGCGCC
TCTCGGATCA	GGGTGCCAAC	C-GTCCTGAG	AGGGGGAGGG	GGGTGGCACC	CTAAATGAAC	CCACGGCGCC

ANEXO C. Continuación.

	1	1 1	1 1	1 1		1	1 1
	• • • • • • • •					• • • • • • • •	
	145	155	165	175	185	195	205
b.var.barbata61Arg						CGGCTTGCCG	
b.var.barbata5422Chih	GAACGGCGTC	AAGGAACACT	GAAGCTGCCT	T-CCTTGCAC	GGTTTTGGAC	CGGCTTGGTG	GTTTCCACTA
b.var.barbata5447Chih	GAACGGCGTC	AAGGAACACT	GAAGCTGCCT	T-CCTTGCAC	GGTTTTGGAC	CGGCTTGCTG	GTTTCCACTA
b.var.barbata2478Ags	GAACGGCGTC	AAGGAACACT	GAAGCTGCCT	TTGCTCGCAC	GGTTGTGGAC	CGGCTTGCCG	GTT-CCACCT
b.var.barbata5416Coah	GAACGGCGTC	AAGGAACACT	GAAGCTGCCT	TTGCTCGCAC	GGTTGTGGAC	CGGCTTGCCG	GTT-CCACCT
b.var.barbata126SLP	GAACGGCGTC	AAGGAACACT	GAAGCTGCCT	TTGCTCGCAC	GGTTGTGGAC	CGGCTTGCCG	GTT-CCACCT
b.var.barbata5257BCS	GAACGGCGTC	AAGGAACACT	GAAGCTGCCT	T-CCTTGCAC	GGTTTTGGAC	CGGCTTGCTG	GTTTCCACTA
b.var.barbataGU359280.1Chih	GAACGGCGTC	AAGGAACACT	GAAGCTGCCT	T-CCTTGCAC	GGTTTTGGAC	CGGCTTGCTG	GTTTCCACTA
b.var.barbataKR184841.1TX	GAACGGCGTC	AAGGAACACT	GA <mark>AGC</mark> TGCCT	TTGCTCGCAC	GGTTGTGGAC	CGGCTTGCCG	GTT-CCACCT
b.var.barbataKR184836.1SLP	GAACGGCGTC	AAGGAACACT	GAAGCT GCCT	TTGCTCGCAC	GGTTGTGGAC	CGGCTTGCCG	GTT-CCACCT
b.var.barbataKR184835.1SLP	GAACGGCGTC	AAGGAACACT	GAAGCTGCCT	TTGCTCGCAC	GGTTGTGGAC	CGGCTTGCCG	GTT-CCACCT
b.var.barbataKR184834.1SLP	GAACGGCGTC	AAGGAACACT	GAAGCTGCCT	TTGCTCGCAC	GGTTGTGGAC	CGGCTTGCCG	GTT-CCACCT
b.var.barbata2229AZ	GAACGGCGTC	AAGGAACA <mark>CT</mark>	GAAGCTGCCT	TTGCTCGCAC	GGTTGTGGAC	CGGCTTGCCG	GTT-CCACCT
b.var.barbata2941	GAACGGCGTC	AAGGAAC <mark>ACT</mark>	GAAGCTGCCT	T-CCTTGCAC	GGTTTTGGAC	CGGCTTGCTG	GTTTCCACTA
b.var.barbata4943	GAACGGCGTC	AAGGAAC <mark>ACT</mark>	GAAGCTGCCT	TTGCTCGCAC	GGTTGTGGAC	CGGCTTGCCG	GTT-CCACCT
b.var.rothrockiiKR184839.1Son	GAACGGCGTC	AAGGAAC <mark>ACT</mark>	GAAGCTGCCT	TTGCTCGCAC	GGTTGTGGAC	CGGCTTGCCG	GTT-CCACCT
b.var.rothrockii5249BCS	GAACGGCGTC	AAGGAACACT	GAAGCTGCCT	TTGCTCGCAC	GGTTGTGGAC	CGGCTTGTCG	GTT-CCACCT
b.var.rothrockii5460Son	GAACGGCGTC	AAGGAACACT	GAAGCTGCCT	TTGCTCGCAC	GGTTGTGGAC	CGGCTTGTCG	GTT-CCACCT
b.var.rothrockii5456Son	GAACGGCGTC	AAGGAACACT	GAAGCTGCCT	TTGCTCGCAC	GGTTGTGGAC	CGGCTTGTCG	GTT-CCACCT
b.var.rothrockii5228Son	GAACGGCGTC	AAGGAACACT	GAAGCTGCCT	TTGCTCGCAC	GGTTGTGGAC	CGGCTTGCCG	GTT-CCACCT
b.var.rothrockiiKR184838.1AZ	GAACGGCGTC	AAGGAACACT	GAAGCTGCCT	TTGCTCGCAC	GGTTGTGGAC	CGGCTTGCCG	GTT-CCACCT
b.var.rothrockiiKR184837.1Son	GAACGGCGTC	AAGGAACACT	GAAGCTGCCT	TTGCTCGCAC	GGTTGTGGAC	CGGCTTGCCG	GTT-CCACCT
b.var.rothrockiiKR184833.1AZ	GAACGGCGTC	AAGGAACACT	GAAGCTGCCT	TTGCTCGCAC	GGTTGTGGAC	CGGCTTGCCG	GTT-CCACCT
b.var.rothrockii5467Son	GAACGGCGTC	AAGGAACACT	GAAGCTGCCT	TTGCTCGCAC	GGTTGTGGAC	CGGCTTGTCG	GTT-CCACCT
b.var.rothrockii5227Son	GAACGGCGTC	AAGGAACACT	GAAGCTGCCT	TTGCTCGCAC	GGTTGTGGAC	CGGCTTGCCG	GTT-CCACCT
b.var.rothrockii2454AZ						CGGCTTGCCG	
b.var.rothrockii2934	GAACGGCGTC	AAGGAACACT	GAAGCTGCCT	TTGCTCGCAC	GGTTGTGGAC	CGGCTTGCCG	GTT-CCACCT
b.var.sonorae5459Son	GAACGGCGTC	AAGGAACACT	GAAGCTGCCT	TTGCTCGCAC	GGTTGTGGAC	CGGCTTGTCG	GTT-CCACCT
b.var.sonorae2368	GAATGGCGTC	AAGGAACACT	GAAGCTGCCT	T-GCTAGCAT	-GTTTTGGAC	CGGCTTGCCG	GTT-CCACTA
b.var.sonorae5353	GAAYGGYGTC	AAGGAACACT	GAAGCTGCCT	TTGCTCGCAC	GGTTGTGGAC	CGGSTTGCCG	GTT-CCACCT
p.var.parryi 2299Son						TGGCTTGCCA	
p.var.parryi5349						TGGCTTGCCG	
p.var.gentryi5476Sin	GAACGGCGTC	AAGGAACACT	GAATCTACCT	T-GCTCGCAC	GGTTTTGGAC	TGGCTTGCCG	GTT-CCACTA

- 84 -

p.var.gentryiKR184918.1Sin	
p.var.gentryi2369	
p.var.gentryi316	
elata2358Jal	
elataKR184875.10ax	
elataKR184874.1Col	
elata23588Jal	
elata4086	
ramosa5144Chih	
ramosaJF791632.1Coah	
ramosa2287Coah	
brevisetaKR184842.1NM	
breviseta2211	
breviseta2908TX	
gracilis135	
chaseiKR184845.1	
scorpioides138	

145	155	165	175	185	195	205
GAACGGCGTC	AAGGAACACT	GAATCTACCT	T-GCTCGCAC	GGTTTTGGAC	TGGCTTGCCG	GTT-CCACTA
GAACGGCGTC	AAGGAACACT	GAATCTACCT	T-GCTCGCAC	GGTTTTGGAC	TGGCTTGCCG	GTT-CCACTA
GAACGGCGTC	AAGGAACACT	GAAGCTGCCT	T-GCTCGCAC	GATTGTGGAC	CGGCTTGCCG	GTT-CCACCT
GAACGGCGTC	AAGGAACACT	GAATCTACCT	T-GCTCGCAC	GGTTTTGGAC	TGGCTTGCCG	GTT-CCACTA
GTACGGCGTC	AAGGAACACT	GAACCT	T-GCTTGCAC	GGTTCTGGAC	TGGCTTGCCG	GTT-CCACCA
GTACGGCGTC	AAGGAACACT	GAACCT	T-GCTTGCAC	GGTTCTGGAC	TGGCTTGCCG	GTT-CCACCA
GTACGGCGTC	AAGGAACACT	GAACCTTGCT	TGCAC	GGTTCTGGAC	TGGCTTGCCG	GTT-CCACCA
GTACGGCGTC	AAGGAACACT	GAACCTTGCT	TGCAC	GGTTCTRGAC	TGGCTTGCCG	GTT-CCACCA
GTATGGCGTC	AAGGAACACT	GATGCTGCCT	TGCAC	GGT-GTGGGC	CGGCTTGCCG	GTT-CCACCC
GTATGGCGTC	AAGGAACACT	GATGCTGCCT	TGCAC	GGT-GTGGGC	CGGCTTGCCG	GTT-CCACCC
GTATGGCGTC	AAGGAACACT	GATGCTGCCT	TGCAC	GGT-GTGGGC	CGGCTTGCCG	GTT-CCACCC
GTATGGCGTC	AAGGAACACT	GATGCTGCCT	TGCAC	GGT-GTGGGC	CGGCTTGCCG	GTT-CCACCC
GTATGGCGTC	AAGGAACACT	GATGCTGCCT	TGCAC	GGT-GTGGGC	CGGCTTGCCG	GTT-CCACCC
GTATGGCGTC	AAGGAACACT	GATGCTGCCT	TGCAC	GGT-GTGGGC	CGGCTTGCCG	GTT-CCACCC
GTATGGCGTC	AAGGAACACT	GATGCTGCCT	TGCAC	AAGTGCGGAC	CGGCATGCCG	GTT-CCACCC
GTATGGCGTC	AAGGAGCACT	GATGCTGCCT	TGCAC	ATGGGCGGAC	CGGCATGCCG	GTT-CCACCC
GTATGGCGTC	AAGGAACACT	CATCCTCCCT	TGCAC	ATGGGCGGAT	TGGCATGCCG	GTT-CTACCC

	215	225	235	245	255	265	275
b.var.barbata61Arg		_			ACGGATATCT		
b.var.barbata5422Chih		_			ACGGATATCT		
b.var.barbata5447Chih					ACGGATATCT		
b.var.barbata2478Ags					ACGGATATCT		
b.var.barbata5416Coah					ACGGATATCT		
<pre>b.var.barbata126SLP</pre>					ACGGATATCT		
b.var.barbata5257BCS	TCGTGCAGCG	AATATGTTAA	CATCCACATG	ACTCTCGGCA	ACGGATATCT	CGGCTCTCGC	ATCGATGAAG
b.var.barbataGU359280.1Chih	TCGTGCAGCG	AATATGTTAA	CATCCACATG	ACTCTCGGCA	ACGGATATCT	CGGCTCTCGC	ATCGATGAAG
b.var.barbataKR184841.1TX	TCGTGCAGCA	AATATGTTAA	CATCCACATG	ACTCTCGGCA	ACGGATATCT	CGGCTCTCGC	ATCGATGAAG
b.var.barbataKR184836.1SLP	TCGTGCAGCA	AATATGTTAA	CA <mark>TCC</mark> AAATG	ACTCTCGGCA	ACGGATATCT	CGGCTCTCGC	ATCGATGAAG
b.var.barbataKR184835.1SLP	TCGTGCAGCA	AATATGTTAA	CATCCACATG	ACTCTCGGCA	ACGGATATCT	CGGCTCTCGC	ATCGATGAAG
b.var.barbataKR184834.1SLP	TCGTGCAGCA	AATATGTTAA	CATCCACATG	ACTCTCGGCA	ACGGATATCT	CGGCTCTCGC	ATCGATGAAG
b.var.barbata2229AZ	TCGTGCAGCA	AATATGTTAA	CATCCACATG	ACTCTCGGCA	ACGGATATCT	CGGCTCTCGC	ATCGATGAAG
b.var.barbata2941	TCGTGCAGCG	AATATGTT <mark>AA</mark>	CATCCACATG	ACTCTCGGCA	ACGGATATCT	CGGCTCTCGC	AMCGATGAAG
b.var.barbata4943	TCGTGCAGCA	AATATGT <mark>TAA</mark>	CATCCAAATG	ACTCTCGGCA	ACGGATATCT	CGGCTCTCGC	ATCGATGAAG
b.var.rothrockiiKR184839.1Son	TCGTGAAGCA	AATATGT <mark>TAA</mark>	CATCCACATG	ACTCTCGGCA	ACGGATATCT	CGGCTCTCGC	ATCGATGAAG
b.var.rothrockii5249BCS	TCGTGCAGCA	AATATGT <mark>TAA</mark>	CATCCACATG	ACTCTCGGCA	ACGGATATCT	CGGCTCTCGC	ATCGATGAAG
b.var.rothrockii5460Son	TCGTGCAGCA	AATATGT <mark>TAA</mark>	CATCCACATG	ACTCTCGGCA	ACGGATATCT	CGGCTCTCGC	ATCGATGAAG
b.var.rothrockii5456Son	TCGTGCAGCA	AATATGTTAA	CATCCACATG	ACTCTCGGCA	ACGGATATCT	CGGCTCTCGC	ATCGATGAAG
b.var.rothrockii5228Son	TCGTGAAGCA	AATATGTTAA	CATCCACATG	ACTCTCGGCA	ACGGATATCT	CGGCTCTCGC	ATCGATGAAG
b.var.rothrockiiKR184838.1AZ	TCGTGAAGCA	AATATGTTAA	CATCCACATG	ACTCTCGGCA	ACGGATATCT	CGGCTCTCGC	ATCGATGAAG
b.var.rothrockiiKR184837.1Son	TCGTGAAGCA	AATATGTTAA	CATCCACATG	ACTCTCGGCA	ACGGATATCT	CGGCTCTCGC	ATCGATGAAG
b.var.rothrockiiKR184833.1AZ	TCGTGAAGCA	AATATGTTAA	CATCCACATG	ACTCTCGGCA	ACGGATATCT	CGGCTCTCGC	ATCGATGAAG
b.var.rothrockii5467Son	TCGTGCAGCA	AATATGTTAA	CATCCACATG	ACTCTCGGCA	ACGGATATCT	CGGCTCTCGC	ATCGATGAAG
b.var.rothrockii5227Son	TCGTGAAGCA	AATATGTTAA	CATCCACATG	ACTCTCGGCA	ACGGATATCT	CGGCTCTCGC	ATCGATGAAG
b.var.rothrockii2454AZ	TCGTGAAGCA	AATATGTTAA	CATCCACATG	ACTCTCGGCA	ACGGATATCT	CGGCTCTCGC	ATCGATGAAG
b.var.rothrockii2934	TCGTGAAGCA	AATATGTTAA	CATCCACATG	ACTCTCGGCA	ACGGATATCT	CGGCTCTCGC	ATCGATGAAG
b.var.sonorae5459Son	TCGTGCAGCA	AATATGTTAA	CATCCACATG	ACTCTCGGCA	ACGGATATCT	CGGCTCTCGC	ATCGATGAAG
b.var.sonorae2368	TCGTGCAGCA	AATATGTTAA	CATCCACATG	ACTCTCGGCA	ACGGATATCT	CGGCTCTCGC	ATCGATGAAG
b.var.sonorae5353	TCGTGAAGCA	ARTATGTTAA	CATCCACATG	ACTCTCGGCA	ACGGATATCT	CGGCTCTCGC	ATCGATGAAG
p.var.parryi 2299Son	TCGTGCAGCG	AATATGTTAA	CATCCACATG	ACTCTCGGCA	ACGGATATCT	CGGCTCTCGC	ATCGATGAAG
p.var.parryi5349	TCGTGCAGCG	AATATGTTAA	CATCCACATG	ACTCTCGGCA	ACGGATATCT	CGGCTCTCGC	ATCGATGAAG
p.var.gentryi5476Sin	TCGTGCAGCG	AATATGTTAA	CATCCACATG	ACTCTCGGCA	ACGGATATCT	CGGCTCTCGC	ATCGATGAAG
p.var.gentryiKR184918.1Sin	TCGTGCAGCG	AATATGTTAA	CATCCACATG	ACTCTCGGCA	ACGGATATCT	CGGCTCTCGC	ATCGATGAAG

ANEXO C. Continuación.

p.var.gentryi2369 p.var.gentryi316 elata2358Jal elataKR184875.10ax elataKR184874.1Col elata23588Jal elata4086 ramosa5144Chih ramosaJF791632.1Coah ramosa2287Coah brevisetaKR184842.1NM breviseta2211 breviseta2908TX gracilis135 chaseiKR184845.1 scorpioides138

215	225	235	245	255	265	275
TCGTGCAGCG	AATATGTTAA	CATCCACATG	ACTCTCGGCA	ACGGATATCT	CGGCTCTCGC	ATCGATGAAG
TCGTGCAGCG	AATATGTTAA	CATCCACATG	ACTCTCGGCA	ACGGATATCT	CGGCTCTCGC	ATCGATGAAG
TCGTGCAGCG	AATATGTTAA	CATCCACATG	ACTCTCGGCA	ACGGATATCT	CGGCTCTCGC	ATCGATGAAG
TCGTGCAGCG	GATAAGTTAA	CATCCACATG	ACTCTCGGCA	ACGGATATCT	CGGCTCTCGC	ATCGATGAAG
TCGTGCAGCG	GATAAGTTAA	CATCCACATG	ACTCTCGGCA	ACGGATATCT	CGGCTCTCGC	ATCGATGAAG
TCGTGCAGCG	GATAAGTTAA	CATCCACATG	ACTCTCGGCA	ACGGATATCT	CGGCTCTCGC	ATCGATGAAG
TCGTGCAGCG	GATAAGTTAA	CATCCACATG	ACTCTCGGCA	ACGGATATCT	CGGCTCTCGC	ATCGATGAAG
TCGTGCAGCG	AATGTTAA	TCCACATG	ACTCTCGGCA	ACGGATATCT	CGGCTCTCGC	ATCGATGAAG
TCGTGCAGCG	AATGTTAA	TCCACATG	ACTCTCGGCA	ACGGATATCT	CGGCTCTCGC	ATCGATGAAG
TCGTGCAGCG	AATGTTAA	<mark>TCC</mark> ACATG	ACTCTCGGCA	ACGGATATCT	CGGCTCTCGC	ATCGATGAAG
TCGTGCAGCG	AATGTTAA	- <mark>-TCCA</mark> CATG	ACTCTCGGCA	ACGGATATCT	CGGCTCTCGC	ATCGATGAAG
TCGTGCAGCG	AATGTTAA	TCCACATG	ACTCTCGGCA	ACGGATATCT	CGGCTCTCGC	ATCGATGAAG
TCGTGCAGCG	AATGTTAA	TCCACATG	ACTCTCGGCA	ACGGATATCT	CGGCTCTCGC	ATCGATGAAG
TTGCGCAACG	ATTATCAATT	AATCCACATG	ACTCTCGGCA	ACGGATATCT	CGGCTCTCGC	ATCGATGAAG
TTGTGCAACG	ATTATCTATT	AAACAACATG	ACTCTCGGCA	ACGGATATCT	CGGCTCTCGC	ATCGATGAAG
TTGTGCAAAA	AATATCTATT	AATCCACATG	ACTCTTGGCA	ACGGATATCT	CGGCTCTCGC	ATCGATGAAG

ANEXO C. Continuación.

				· · · · · · · · · · · · · · · · · · ·	· · · · · · · · · · · · · · · · · · ·		
h man hambata 617 mg	285	295 AATGCGATAC	305	315	325	335	345
<pre>b.var.barbata61Arg b.var.barbata5422Chih</pre>		AATGCGATAC					
b.var.barbata5447Chih		AATGCGATAC					
b.var.barbata2478Ags b.var.barbata5416Coah		AATGCGATAC AATGCGATAC					
b.var.barbata3416Coan b.var.barbata126SLP		AATGCGATAC					
b.var.barbata5257BCS		AATGCGATAC					
b.var.barbataGU359280.1Chih		AATGCGATAC					
b.var.barbataKR184841.1TX		AATGCGATAC					GAACGCAAGT
b.var.barbataKR184836.1SLP		AATGCGATAC					GAACGCAAGT
b.var.barbataKR184835.1SLP		AATGCGATAC					GAACGCAAGT
b.var.barbataKR184834.1SLP		AATGCGATAC					GAACGCAAGT
b.var.barbata2229AZ		AATGCGATAC					GAACGCAAGT
b.var.barbata2941		AATGCGATAC					GAACGCAAGT
b.var.barbata4943		AATGCGATAC					GAACGCAAGT
b.var.rothrockiiKR184839.1Son		AATGCGATAC					GAACGCAAGT
b.var.rothrockii5249BCS		AATGCGATAC					GAACGCAAGT
b.var.rothrockii5460Son		AATGCGA <mark>TAC</mark>					GAACGCAAGT
b.var.rothrockii5456Son		AATGCGATAC					GAACGCAAGT
b.var.rothrockii5228Son		AATGCGATAC					GAACGCAAGT
b.var.rothrockiiKR184838.1AZ		AATGCGATAC					GAACGCAAGT
b.var.rothrockiiKR184837.1Son		AATGCGATAC					GAACGCAAGT
b.var.rothrockiiKR184833.1AZ		AATGCGATAC					GAACGCAAGT
b.var.rothrockii5467Son	AACGTAGCAA	AATGCGATAC	CTGGTGTGAA	TTGCAGAATC	CCGTGAACCA	TCGAGTTTTT	GAACGCAAGT
b.var.rothrockii5227Son		AATGCGATAC					
b.var.rothrockii2454AZ	AACGTAGCAA	AATGCGATAC	CTGGTGTGAA	TTGCAGAATC	CCGTGAACCA	TCGAGTTTTT	GAACGCAAGT
b.var.rothrockii2934	AACGTAGCAA	AATGCGATAC	CTGGTGTGAA	TTGCAGAATC	CCGTGAACCA	TCGAGTTTTT	GAACGCAAGT
b.var.sonorae5459Son	AACGTAGCAA	AATGCGATAC	CTGGTGTGAA	TTGCAGAATC	CCGTGAACCA	TCGAGTTTTT	GAACGCAAGT
b.var.sonorae2368	AACGTAGCAA	AATGCGATAC	CTGGTGTGAA	TTGCAGAATC	CCGTGAACCA	TCGAGTTTTT	GAACGCAAGT
b.var.sonorae5353	AACGTAGCAA	AATGCGATAC	CTGGTGTGAA	TTGCAGAATC	CCGTGAACCA	TCGAGTTTTT	GAACGCAAGT
p.var.parryi 2299Son	AACGTAGCAA	AATGCGATAC	CTGGTGTGAA	TTGCAGAATC	CCGTGAACCA	TCGAGTTTTT	GAACGCAAGT
p.var.parryi5349	AACGTAGCAA	AATGCGATAC	CTGGTGTGAA	TTGCAGAATC	CCGTGAACCA	TCGAGTTTTT	GAACGCAAGT
p.var.gentryi5476Sin	AACGTAGCAA	AATGCGATAC	CTGGTGTGAA	TTGCAGAATC	CCGTGAACCA	TCGAGTTTTT	GAACGCAAGT
p.var.gentryiKR184918.1Sin	AACGTAGCAA	AATGCGATAC	CTGGTGTGAA	TTGCAGAATC	CCGTGAACCA	TCGAGTTTTT	GAACGCAAGT
p.var.gentryi2369	AACGTAGCAA	AATGCGATAC	CTGGTGTGAA	TTGCAGAATC	CCGTGAACCA	TCGAGTTTTT	GAACGCAAGT

- 88 -

ANEXO C. Continuación.

p.var.gentryi316 elata2358Jal elataKR184875.10ax elataKR184874.1Col elata23588Jal elata4086 ramosa5144Chih ramosaJF791632.1Coah ramosa2287Coah brevisetaKR184842.1NM breviseta2211 breviseta2908TX gracilis135 chaseiKR184845.1 scorpioides138

285	295	305	315	325	335	345
AACGTAGCAA	AATGCGATAC	CTGGTGTGAA	TTGCAGAATC	CCGTGAACCA	TCGAGTTTTT	GAACGCAAGT
AACGTAGCAA	AATGCGATAC	CTGGTGTGAA	TTGCAGAATC	CCGTGAACCA	TCGAGTTTTT	GAACGCAAGT
AACGTAGCAA	AATGCGATAC	CTGGTGTGAA	TTGCAGAATC	CCGTGAACCA	TCGAGTTTTT	GAACGCAAGT
AACGTAGCAA	AATGCGATAC	CTGGTGTGAA	TTGCAGAATC	CCGTGAACCA	TCGAGTTTTT	GAACGCAAGT
AACGTAGCAA	AATGCGATAC	CTGGTGTGAA	TTGCAGAATC	CCGTGAACCA	TCGAGTTTTT	GAACGCAAGT
AACGTAGCAA	AATGCGATAC	CTGGTGTGAA	TTGCAGAATC	CCGTGAACCA	TCGAGTTTTT	GAACGCAAGT
AACGTAGCAA	AATGCGATAC	CTGGTGTGAA	TTGCAGAATC	CCGTGAACCA	TCGAGTTTTT	GAACGCAAGT
AACGTAGCAA	AATGCGATAC	CTGGTGTGAA	TTGCAGAATC	CCGTGAACCA	TCGAGTTTTT	GAACGCAAGT
AACGTAGCAA	AATGCGATAC	CTGGTGTGAA	TTGCAGAATC	CCGTGAACCA	TCGAGTTTTT	GAACGCAAGT
AACGTAGCAA	AATGCGATAC	CTGGTGTGAA	TTGCAGAATC	CCGTGAACCA	TCGAGTTTTT	GAACGCAAGT
AACGTAGCAA	AATGCGATAC	CTGGTGTGAA	TTGCAGAATC	CCGTGAACCA	TCGAGTTTTT	GAACGCAAGT
AACGTAGCAA	AATGCGATAC	CTGGTGTGAA	TTGCAGAATC	CCGTGAACCA	TCGAGTTTTT	GAACGCAAGT
AACGTAGCAA	AATGCGATAC	CTGGTGTGAA	TTGCAGAATC	CCGTGAACCA	TCGAGTTTTT	GAACGCAAGT
AACGTAGCAA	AATGCGATAC	CTGGTGTGAA	TTGCAGAATC	CCGTGAACCA	TCGAGTTTTT	GAACGCAAGT
AACGTAGCAA	AATGCGATAC	CTGGTGTGAA	TTGCAGAATC	CCGTGAACCA	TCGAGTTTTT	GAACGCAAGT

	355	365	375	385	395	405	415
b.var.barbata61Arg	TGCGCCCGAG	GCCTTTTGGC	TGAGGGCACG	TCTGCCTGGG	CGTCACGCCA	AAATACACTC	CTCACCCATC
b.var.barbata5422Chih	TGCGCCCGAG	GCCTTTTGGC	TGAGGGCACG	TCTGCCTGGG	CGTCACGCCA	AAAGACACTC	CTCACCCATC
b.var.barbata5447Chih	TGCGCCCGAG	GCCTTTTGGC	TGAGGGCACG	TCTGCCTGGG	CGTCACGCCA	AAAGACACTC	CTCACCCATC
b.var.barbata2478Ags	TGCGCCCGAG	GCCTTTTGGC	TGAGGGCACG	TCTGCCTGGG	CGTCACGCCA	AAATACACTC	CTCACCCATC
b.var.barbata5416Coah	TGCGCCCGAG	GCCTTTTGGC	TGAGGGCACG	TCTGCCTGGG	CGTCACGCCA	AAATACACTC	CTCACCCATC
<pre>b.var.barbata126SLP</pre>	TGCGCCCGAG	GCCTTTTGGC	TGAGGGCACG	TCTGCCTGGG	CGTCACGCCA	AAATACACTC	CTCACCCATC
b.var.barbata5257BCS	TGCGCCCGAG	GCCTTTTGGC	TGAGGGCACG	TCTGCCTGGG	CGTCACGCCA	AAAGACACTC	CTCACCCATC
b.var.barbataGU359280.1Chih	TGCGCCCGAG	GCCTTTTGGC	TGAGGGCACG	TCTGCCTGGG	CGTCACGCCA	AAAGACACTC	CTCACCCATC
b.var.barbataKR184841.1TX	TGCGCCCGAG	GCCTTTTGGC	TGAGGGCACG	TCTGCCTGGG	CGTCACGCCA	AAATACACTC	CTCACCCATC
b.var.barbataKR184836.1SLP	TGCGCCCGAG	GCCTTTTGGC	TGAGGGCACG	TCTGCCTGGG	CGTCACGCCA	AAATACACTC	CTCACCCATC
b.var.barbataKR184835.1SLP	TGCGCCTGAG	GCCTTTTGGC	TGAGGGCACG	TCTGCCTGGG	CGTCACGCCA	AAATACACTC	CTCACCCATC
b.var.barbataKR184834.1SLP	TGCGCCTGAG	GCCTTTTGGC	TGAGGGCACG	TCTGCCTGGG	CGTCACGCCA	AAATACACTC	CTCACCCATC
b.var.barbata2229AZ	TGCGCCCGAG	GCCTTTTGGC	TGAGGGCACG	TCTGCCTGGG	CGTCACGCCA	AAATACACTC	CTCACCCATC
b.var.barbata2941	TGCGCCCGAG	GCCTTTTGGC	TGAGGGCACG	TCTGCCTGGG	CGTCACGCCA	AAAGACACTC	CTCACCCATC
b.var.barbata4943	TGCGCCCGAG	GCCTTTTGGC	TGAGGGCACG	TCTGCCTGGG	CGTCACGCCA	AAATACACTC	CTCACCCATC
b.var.rothrockiiKR184839.1Son	TGCGCCCAAG	GCCTTTTGGC	TGAGGGCACG	TCTGCCTGGG	CGTCACGCCA	AAAGACACTC	CTCACCCATC
b.var.rothrockii5249BCS	TGCGCCCAAG	GCCTTTTGGC	TGAGGGCACG	TCTGCCTGGG	CGTCACGCCA	AAAGACACTC	CTCACCCATC
b.var.rothrockii5460Son	TGCGCCCAAG	GCCTTTTGGC	TGAGGGCACG	TCTGCCTGGG	CGTCACGCCA	AAAGACACTC	CTCACCCATC
b.var.rothrockii5456Son	TGCGCCCAAG	GCCTTTTGGC	TGAGGGCACG	TCTGCCTGGG	CGTCACNNCA	AAAGACACTC	CTCACCCATC
b.var.rothrockii5228Son	TGCGCCCAAG	GCCTTTTGGC	TGAGGGCACG	TCTGCCTGGG	CGTCACGCCA	AAAGACACTC	CTCACCCATC
b.var.rothrockiiKR184838.1AZ	TGCGCCCAAG	GCCTTTTGGC	TGAGGGCACG	TCTGCCTGGG	CGTCACGCCA	AAAGACACTC	CTCACCCATC
b.var.rothrockiiKR184837.1Son	TGCGCCCAAG	GCCTTTTGGC	TGAGGGCACG	TCTGCCTGGG	CGTCACGCCA	AAAGACACTC	CTCACCCATC
b.var.rothrockiiKR184833.1AZ	TGCGCCCAAG	GCCTTTTGGC	TGAGGGCACG	TCTGCCTGGG	CGTCACGCCA	AAAGACACTC	CTCACCCATC
b.var.rothrockii5467Son	TGCGCCCAAG	GCCTTTTGGC	TGAGGGCACG	TCTGCCTGGG	CGTCACGCCA	AAAGACACTC	CTCACCCATC
b.var.rothrockii5227Son	TGCGCCCAAG	GCCTTTTGGC	TGAGGGCACG	TCTGCCTGGG	CGTCACGCCA	AAAGACACTC	CTCACCCATC
b.var.rothrockii2454AZ						AAAGACACTC	
b.var.rothrockii2934	TGCGCCCAAG	GCCTTTTGGC	TGAGGGCACG	TCTGCCTGGG	CGTCACGCCA	AAAGACACTC	CTCACCCATC
b.var.sonorae5459Son	TGCGCCCAAG	GCCTTTTGGC	TGAGGGCACG	TCTGCCTGGG	CGTCACGCCA	AAAGACACTC	CTCACCCATC
b.var.sonorae2368	TGCGCCCGAA	GCCTTTTGGC	TGAGGGCACG	TCTGCCTGGG	CGTCACGCCA	AAAGACACTC	CTCACCCTTC
b.var.sonorae5353						AAAGACACTC	
p.var.parryi 2299Son						AAAGACACTC	
p.var.parryi5349						AAAGACACTC	
p.var.gentryi5476Sin	TGCGCCCGAG	GCCTTTTGGC	TGAGG-CACG	TCTGCCTGGG	CGTCACGCCA	AAAGACACTC	CTCACCCATC

<pre>p.var.gentryiKR184918.1Sin</pre>
p.var.gentryi2369
p.var.gentryi316
elata2358Jal
elataKR184875.10ax
elataKR184874.1Col
elata23588Jal
elata4086
ramosa5144Chih
ramosaJF791632.1Coah
ramosa2287Coah
brevisetaKR184842.1NM
breviseta2211
breviseta2908TX
gracilis135
chaseiKR184845.1
scorpioides138

355	365	375	385	395	405	415
TGCGCCCGAG	GCCTTTTGGC	TGAGGGCACG	TCTGCCTGGG	CGTCACGCCA	AAAGACACTC	CTCACCCATC
TGCGCCCGAG	GCCTTTTGGC	TGAGGGCACG	TCTGCCTGGG	CGTCACGCCA	AAAGACACTC	CTCACCCATC
TGCGCCTGAG	GCCTTCTGGC	TGAGGGCACG	TCTGCCTGGG	CGTCACGCCA	AAAGACACTC	CTCACCCACC
TGCGCCCGAG	GCCTTTTGGC	TGAGGGCACG	TCTGCCTGGG	CGTCACGCCA	AAAGACACTC	CTCACCCATC
TGCGCCTGAG	GCCTTTTGGC	TGAGGGCACG	TCTGCCTGGG	CGTCACGCCA	AAAGACACTC	CTTACCCATC
TGCGCCTGAG	GCCTTTTGGC	TGAGGGCACG	TCTGCCTGGG	CGTCACGCCA	AAAGACACTC	CTTACCCATC
TGCGCCTGAG	GCCTTTTGGC	TGAGGGCACG	TCTGCCTGGG	CGTCACGCCA	AAAGACACTC	CTTACCCATC
TGCGCCTGAG	GCCTTTTGGC	TGAGGGCACG	TCTGCCTGGG	CGTCACGCCA	AAAGACACTC	CTTACCCATC
TGCGCCCGAG	GCCTTCTGGC	CG <mark>AGG</mark> GCACG	TCTGCCTGGG	CGTCACGCCA	AAAGACACTC	CCCATCCATC
TGCGCCCGAG	GCCTTCTGGC	CGAGGGCACG	TCTGCCTGGG	CGTCACGCCA	AAAGACACTC	CCCATCCATC
TGCGCCCGAG	GCCTTCTGGC	CGAGGGCACG	TCTGCCTGGG	CGTCACGCCA	AAAGACACTC	CCCATCCATC
TGCGCCCGAG	GCCTTCTGGC	CGAGGGCACG	TCTGCCTGGG	CGTCACGCCA	AAAGACACTC	CCCATCCATC
TGCGCCCGAG	GCCTTCTGGC	CGAGGGCACG	TCTGCCTGGG	CGTCACGCCA	AAAGACACTC	CCCATCCATC
TGCGCCCGAG	GCCTTCTGGC	CGAGGGCACG	TCTGCCTGGG	CGTCACGCCA	AAAGACACTC	CCCATCCATC
TGCGCCCAAG	GCCTTCTGGC	TGAGGGCACG	TCTGCCTGGG	CGTCACGCCA	AAAGACACTC	CTCATCCAAC
TGCGCCCGAG	GCCTTCTGGC	TGAGGGCACG	TCTGCCTGGG	CGTCACGCCA	AAAGACACTC	CTCAACCATC
TGCGCCCGAG	GCCTTCTGGT	TGAGGGCACG	TCTGCCTGGG	CGTCACGCCA	GAAGACACTC	CTCATCGATC

	425	435	445	455	465	475	485
b.var.barbata61Arg							
b.var.barbata5422Chih					CAGCGTG		
b.var.barbata5447Chih					CAGCGTG		
b.var.barbata2478Ags			-		CTGTGTG		
b.var.barbata5416Coah					CTGTGT-		
<pre>b.var.barbata126SLP</pre>							
b.var.barbata5257BCS					CAGCGTG		
b.var.barbataGU359280.1Chih	ACGGTGGCGA	TGAGGAAGTG	GAGTTTGGCT	CCTCGTGCCT	CAGCGTG	CGGAGGGCCT	AAGTTTGGGC
b.var.barbataKR184841.1TX	ACGGTGGTGA	TGAGGAAGTG	GTATTTGGCT	CCTCGTGCAT	CTGTGTG	CGGAGGGCCT	AAGTTGGGGC
b.var.barbataKR184836.1SLP	ACGGTGGTGA	TGAGGAAGTG	GTATTTGGCT	CCTCGTGCAT	CTGTGTG	CGGAGGGCCT	AAGTTGGGGC
b.var.barbataKR184835.1SLP	ACGGTGGTGA	TGAGGAAGTG	G <mark>TATTT</mark> GGCT	CCTCGTGCAT	CTGTGTG	CGGAGGGCCT	AAGTTGGGGC
b.var.barbataKR184834.1SLP	ACGGTGGTGA	TGAGGAAGTG	GTATTT GGCT	CCTCGTGCAT	CTGTGTG	CGGAGGGCCT	AAGTTGGGGC
b.var.barbata2229AZ	ACGGTGGTGA	TGAGGAAGTG	GTATTTGGCT	CCTCGTGCAT	CTGTGTG	CGGAGGGCCT	AAGTTGGGGC
b.var.barbata2941	ACGGTGGCGA	TGAGGAAGTG	GAGTTTGGCT	CCCCGTGCCT	CAGCGTG	CGGAGGGCCT	AAGTTTGGGC
b.var.barbata4943	ACGGTGGTGA	TGAGGAA <mark>GTG</mark>	GTATTTGGCT	CCTCGTGCAT	CTGTGTG	CGGAGGGCCT	AAGTTGGGGC
b.var.rothrockiiKR184839.1Son	ACGGTGGTGA	TGAGGAA <mark>GTG</mark>	GTATTTGGCT	CCCCGTGCAT	CTGTGTG	CGGAGGGCCT	AAGTTGGGGC
b.var.rothrockii5249BCS	ACGGTGGTGA	TGAGGAA <mark>GTG</mark>	GTATTTGGCT	CCCCGTGCAT	CTGTGTG	CGGAGGGCCT	AAGTTGGGGC
b.var.rothrockii5460Son	ACGGTGGTGA	TGAGGAA <mark>GTG</mark>	GTATTTGGCT	CCCCCTC			
b.var.rothrockii5456Son			-				
b.var.rothrockii5228Son	ACGGTGGTGA	TGAGGAAGTG	G				
b.var.rothrockiiKR184838.1AZ	ACGGTGGTGA	TGAGGAAGTG	GTATTTGGCT	CCCCGTGCAT	CTGTGTG	CGGAGGGCCT	AAGTTGGGGC
b.var.rothrockiiKR184837.1Son	ACGGTGGTGA	TGAGGAAGTG	GTATTTGGCT	CCCCGTGCAT	CTGTGTG	CGGAGGGCCT	AAGTTGGGGC
b.var.rothrockiiKR184833.1AZ	ACGGTGGTGA	TGAGGAAGTG	GTATTTGGCT	CCCCGTGCAT	CTGTGTG	CGGAGGGCCT	AAGTTGGGGC
b.var.rothrockii5467Son	ACGGTGGTGA	TGAGGAAGTG	GTATTTGGCT	CCCCGTGCAT	CTGTGTG	CGGAGGGCCT	AAGTTGGGGC
b.var.rothrockii5227Son	ACGGTGGTGA	TGAGGAAGTG	GTATTTGGCT	CCCCGTGCAT	CTGTGTG	CGGAGGGCCT	AAGTTGGGGC
b.var.rothrockii2454AZ	ACGGTGGTGA	TGAGGAAGTG	GTATTTGGCT	CCCCGTGCAT	CTGTGTG	CGGAGGGCCT	AAGTTGGGGC
b.var.rothrockii2934	ACGGTGGTGA	TGAGGAAGTG	GTATTTGGCT	CCCCGTGCAT	CTGTGTG	CGGAGGGCCT	AAGTTGGGGC
b.var.sonorae5459Son	ACGGTGGTGA	TGAGGAAGTG	GTATTTGGCT	CCCCGTGCAT	CTGTGTG	CGGAGGGCCT	AAGTTGGGGC
b.var.sonorae2368	ACTGTGGTTC	TGAGGAAGTG	GTGTTTGGCT	CCCCGTGCCT	CTGCGTG	CGGAGGGCCC	AAGTTGGGGC
b.var.sonorae5353	ACGGTGGTGA	TGAGGAAGTG	GTATTTGGCT	CCCCGTGCAT	CTGTGTG	CGGAGGGCCT	AAGTTGGRGC
p.var.parryi 2299Son	ATGGTGGTGA	TGAGGAAGTG	GTGTTTGGCT	CCCCGTGCCT	CTGCGTG	CGGAGGGCCT	AAGTTTGGGC
p.var.parryi5349	ATGGTGGTGA	TGAGGAAGTG	GTGTTTGGCT	CCCCGTGCCT	CTGCGTG	CGGAGCGCCT	AAGTTTGGGC
p.var.gentryi5476Sin	ATGGTGGTGA	TGAGGAAGTG					
p.var.gentryiKR184918.1Sin	ATGGTGGTGA	TGAGGAAGTG	GTGTTTGGCT	CCCCGTGCCT	CTGCGTG	CGGAGGGCCT	AAGTTTGGGC

ANEXO C. Continuación.

p.var.gentryi2369 p.var.gentryi316 elata2358Jal elataKR184875.10ax elataKR184874.1Col elata23588Jal elata4086 ramosa5144Chih ramosaJF791632.1Coah ramosa2287Coah brevisetaKR184842.1NM breviseta2211 breviseta2908TX gracilis135 chaseiKR184845.1 scorpioides138

425	435	445	455	465	475	485
${\tt ATGGTGGTGA}$	TGAGGAAGTG	GTGTTTGGCT	CCCCGTGCCT	CTGCGTG	CGGAGGGCCT	AAGTTTGGGC
ACAA-GGTGG	TTAGGAAGTG	GTGTTTGGCT	CCCCGTGCAT	CTTTGTG	CGGAGGGCCT	AAGTTGGGGC
ATGGTGGTGA	TGAGGAAGTG	GTGTTTGGCT	CCCC			
ACGATGGTGA	TGAGGAAGTG	GTATTTGGCT	CCCCGTGCAA	GTATGTG	CGGAGGGCCT	AAGTTGGGGC
ACGATGGTGA	TGAGGAAGTG	GTATTTGGCT	CCCCGTGCAA	GTACGTG	CGGAGGGCCT	AAGTTGGGGC
ACGATGGTGA	TGAGGAAGTG	GTATTTGGCT	CCCCGTGCAA	GTACGTG	CGGAGGGCCT	AAGTTGGGGC
ACGATGGTGA	TGAGGAAGTG	GTATTTGGCT	CCCCGTGCAA	GTACGTG	CGGAGGGCCT	AAGTTGGGGC
ACGAT	-GAGGAAGTG	GTATTCGGCT	CCCCGTGCAT	CTATGTG	CGGAGGGCCT	AAGTTGGGGC
ACGAT	-GAGGAAGTG	GTATTTGGCT	CCCCGTGCAT	CTATGTG	CGGAGGGCCT	AAGTTGGGGC
ACGAT	-GAGGAAGTG	GTATTTGGCT	CCCCGTGCAT	CTATGTG	CGGAGGGCCT	AAGTTGGGGC
ACGAT	-GAGGAAGTG	GTATTT GGCT	CCCCGTGCAT	CTATGTG	CGGAGGGCCT	AAGTTGGGGC
ACGAT	-GAGGAAGTG	GTATTTGGCT	CCCCGTGCAT	CTATGTR	CGGAGGGCCT	AAGTTGGGGC
ACGAT	-GAGGAAGTG	GTATTTGGCT	CCCCGTGCAT	CTATGTA	CGGAGGGCCT	AAGTTGGGGC
CAGGTTAAGA	TGAGGAAGTG	GTGTTTGGCT	CCCCGTGCAT	CAATGCA	CGGTGGGCCT	AAGTGGGGGT
TAGGTTAACA	TGAGGAAGTG	GT-TCTGGCT	CCCCATGCAT	CAATGCG	TGGTGGGCCT	AAGTGGGGGT
TAGGTTAAGA	TCGGGAAGTG	GTATTTGGCT	CCCCGCGCAT	CTGATATGTA	CGGTGGGCCT	AAGTGGGGGC

	 495	505	 515	 525	535	 545	 555
<pre>b.var.barbata61Arg</pre>							
b.var.barbata5422Chih	TGCCGGCGGT	GCCGATCACA	GCACAAGGTG	GATAACGGAA	GTTGTTCCTG	CTGCTATGAT	TCTGC
b.var.barbata5447Chih			GCACAAGGTG				
b.var.barbata2478Ags	TGCCGGCGGT	GCCGATCACA	GCACAAGGTG	GATAACGGAA	GTTGTTCCTG	CTGCTATGAT	TTTGC
b.var.barbata5416Coah							
<pre>b.var.barbata126SLP</pre>							
b.var.barbata5257BCS	TGCCGGCGGT	GCCGATCACA	GCACAAGGTG	GATAACGGAA	GTTGTTCCTG	CTGCTATGAT	TCTGC
b.var.barbataGU359280.1Chih	TGCCGGCGGT	GCCGATCACA	GCACAAGGTG	GATAACGGAA	GTTGTTCCTG	CTGCTATGAT	TCTGC
b.var.barbataKR184841.1TX	TGCCGGCGGT	GCCGATCACA	GCACAAGGTG	GATAACGGAA	GTTGTTCCTG	CTGCTATGAT	TTTGC
b.var.barbataKR184836.1SLP	TGCCGGCGGT	GCCGATCACA	GCACAAGGTG	GATAACGGAA	GTTGTTCCTG	CTGCTATGAT	TTTGC
b.var.barbataKR184835.1SLP	TGCCGGCGGT	GCCGATCACA	G <mark>CACAA</mark> GGTG	GATAACGGAA	GTTGTTCCTG	CTGCTATGAT	TTTGC
b.var.barbataKR184834.1SLP	TGCCGGCGGT	GCCGATCACA	GCACAAGGTG	GATAACGGAA	GTTGTTCCTG	CTGCTATGAT	TTTGC
b.var.barbata2229AZ	TGCCGGCGGT	GCCGATCACA	GCACAAGGTG	GATAACGGAA	GTTGTTCCTG	CTGCTATGAT	TTTGC
b.var.barbata2941	TGCCGGCGGT	GCCGATCACA	GCACAAGGTG	GATAACGGAA	GTTGTTCCTG	CTGCTATGAT	TCTGC
b.var.barbata4943	TGCCGGCGGT	GCCGATCACA	GCACAAGGTG	GATAACGGAA	GTTGTTCCTG	CTGCTATGAT	TTTGC
b.var.rothrockiiKR184839.1Son	TGCCGGCGGT	GCCGATCACA	GCACAAGGTG	GATAACGGAA	GTTGTTCCTG	CTGCTATGAT	TTTGC
b.var.rothrockii5249BCS	TGCCGGCGGT	GCCGATCACA	GCACAAGGTG	GATAACGGAA	GTTGTTCCTG	CTGCTATGAT	TTTGC
b.var.rothrockii5460Son							
b.var.rothrockii5456Son							
b.var.rothrockii5228Son							
b.var.rothrockiiKR184838.1AZ	TGCCGGCGGT	GCCGATCACA	GCACAAGGTG	GATAACGGAA	GTTGTTCCTG	CTGCTATGAT	TTTGC
b.var.rothrockiiKR184837.1Son	TGCCGGCGGT	GCCGATCACA	GCACAAGGTG	GATAACGGAA	GTTGTTCCTG	CTGCTATGAT	TTTGC
b.var.rothrockiiKR184833.1AZ	TGCCGGCGGT	GCCGATCACA	GCACAAGGTG	GATAACGGAA	GTTGTTCCTG	CTGCTATGAT	TTTGC
b.var.rothrockii5467Son	TGCCGGCGGT	GCCGATCACA	GCACAAGGTG	GATAACGGAA	GTTGTTCCTG	CTGCTATGAT	TTTGC
b.var.rothrockii5227Son	TGCCGGCGGT	GCCGATCACA	GCACAAGGTG	GATAACGGAA	GTTGTTCCTG	CTGCTATGAT	TTTGC
b.var.rothrockii2454AZ	TGCCGGCGGT	GCCGATCACA	GCACAAGGTG	GATAACGGAA	GTTGTTCCTG	CTGCTATGAT	TTTGC
b.var.rothrockii2934	TGCCGGCGGT	GCCGATCACA	GCACAAGGTG	GATAACGGAA	GTTGTTCCTG	CTGCTATGAT	TTTGC
b.var.sonorae5459Son	TGCCGGCGGT	GCCNATCACA	GCACAAGGTG	GATAACGGAA	GGTGGTCCTG	CTGCTNTGAT	TTTGC
b.var.sonorae2368	TGCCGGCGTT	GCTGATCACA	GCACAAGGTG	GATAACGGAA	GTTGTTCATG	ATGCTATGAT	TATGC
b.var.sonorae5353	TGCCGGCGGT	GCCGATCACA	GCACAAGGTG	GATAACGGAA	GTTGTTCCTG	CTGCTATGAT	TTTGC
p.var.parryi 2299Son	TGCCGGCGGT	GCCGATCACA	GCACAAGGTG	GATAACGGAA	GTTGTTCCTG	CTGCTATGAT	TCTGC
p.var.parryi5349	TGCCGGCGGT	GCCGATCACA	GCACAAGGTG	GATAACGGAA	GTTGTTCCTG	CTGCTATGAT	TCTGC
p.var.gentryi5476Sin							

ANEXO C. Continuación.

p.var.gentryiKR184918.1Sin p.var.gentryi2369 p.var.gentryi316 elata2358Jal elataKR184875.10ax elataKR184874.1Col elata23588Jal elata4086 ramosa5144Chih ramosaJF791632.1Coah ramosa2287Coah brevisetaKR184842.1NM breviseta2211 breviseta2908TX gracilis135 chaseiKR184845.1 scorpioides138

495	505	515	525	535	545	555
TGCCGGCGGT	GCCGATCACA	GCACAAGGTG	GATAACGGAA	GTTGTTCCTG	CTGCTATGAT	TCTGC
TGCCGGCGGT	GCCGATCACA	GCACAAGGTG	GATAACGGAA	GTTGTTCCTG	CTGCTATGAT	TCTGC
TGCCGGCGGT	GCCGATCACA		GATAACGGAA	GTTGTTCCTG	CTGCTATGAT	TTTGC
TGCCGGCGTT	GCCGATCACA	GCACAAGGTG	GATGACGGAA	GTTGTTCTTG	ATGCTATGAT	TTTGC
TGCCGGCGTT	GCCGATCACA	GCACAAGGTG	GATGACGGAA	GTTGTTCTTG	ATGCTATGAT	TTTGC
TGCCGGCGTT	GCCGATCACA	GCACAAGGTG	GATGACGGAA	GTYGTTCTTG	ATGCTATGAT	TTTGC
		GCACAAGGTG				
TGCCGGCGGT	GCCGATCACA	GC				
TGTCGGCGGT	GCCGATCACA	GCGCAAGGTG	GATGACGGAA	GTTGTTCTCG	GTGCTATGAT	TCGGACTGCT
TGTCGGCGGT	GCCGATCACA	GCGCAAGGTG	GATGACGGAA	GTTGTTCTCG	GTGCTATGAT	TCGGACTGCT
TGTCGGCGGT	GCCGATCACA	GCGCAAGGTG	GATGACGGAA	GTTGTTCTCG	GTGCTATGAT	TCGGACTGCT
TGTCGGCGGT	GCCGATCASA	GCGCAAGGTG	GATGACGGAA	GTTGTTCTCG	GTGCTATGAT	TCGGACTGCT
TGTCGGCGGT	GCCGATCACA	GCGCAAGGTG	GATGACGGAA	GTTGTTCTCG	GTGCTATGAT	TCGGACTGCT
TGCCGCCGGT	GCCGACCACA	GCACAAGGTG	GATGACGTAA	GTTATTCTCG	CTGCTATGAC	TCGGACAGGT
TGCCGGCGGT	GCCGACCACA	GCACAAGGTG	GATGACGTAA	GTTATTCTTG	GCGCTATGAT	TCGGACAG-T
TGCTGGCGGT	GCCGACCAGA	GCATAAGGTA	GATGACGTAA	GTTATTCTCG	GTGCTATGTT	TCGGACATGT

	 565	 575	 585	 595	605	615
b.var.barbata61Arg						
b.var.barbata5422Chih		CCCTTAGCAC				
b.var.barbata5447Chih		CCCTTAGCAC				
b.var.barbata2478Ags	GTTGATG	CCCTTAGCAC			TTCACTC	GGACCGCGA
b.var.barbata5416Coah						
<pre>b.var.barbata126SLP</pre>						
b.var.barbata5257BCS	CATGATG	CCCTTAGCAC	CCATGTAAAC	CGAAGTGTAT	TTCACTC	GGACCGCGA
b.var.barbataGU359280.1Chih	CATGATG	CCCTTAGCAC	CCATGTAC	CGAAGTGTAT	TTCACTC	GGACCGCGA
b.var.barbataKR184841.1TX	GTTGATG	CCCTTAGCAC	CCATGTAAAC	CGAAGTGCAT	TTCACTC	GGACCGCGA
b.var.barbataKR184836.1SLP	GTTGATG	CCCTTAGCAC	CCATGTAAAC	CGAAGTGCAT	TTCACTC	GGACCGCGA
b.var.barbataKR184835.1SLP	GTTGATG	CCCTTAGCAC	CCATGTAAAC	CGAAGTGCAT	TTCACTC	GGACCGCGA
b.var.barbataKR184834.1SLP	GTTGATG	CCCTTAGCAC	CCATGTAAAC	CGAAGTGCAT	TTCACTC	GGACCGCGA
b.var.barbata2229AZ	GTTGATG	CCCTTAGCAC	CCATGTAAAC	CGAAGTGCAT	TTCACTC	GGACCGCGA
b.var.barbata2941	CATGATG	CCCTTAGCAC	CCATGTAAAC	CGAAGTGTAT	TTCACTC	GGACCGCGA
b.var.barbata4943	GTTGATG	CCCTTAGCAC	CCATGTAAAC	CGAAGTGCAT	TTCACTC	GGACCGCGA
b.var.rothrockiiKR184839.1Son	GTTGATG	CCCTTAGCAC	CCATGTAAAC	CGAAGTGCAT	TTCACTC	GGACCGCGA
b.var.rothrockii5249BCS	GTTGATG	CCCTTAGCAC	CCATGTAAAC	CGAAGTGCAT	TTCACTC	GGACCGCGA
b.var.rothrockii5460Son						
b.var.rothrockii5456Son						
b.var.rothrockii5228Son						
b.var.rothrockiiKR184838.1AZ	GTTGATG	CCCTTAGCAC	CCATGTAAAC	CGAAGTGCAT	TTCACTT	GGACCGCGA
b.var.rothrockiiKR184837.1Son	GTTGATG	CCCTTAGCAC	CCATGTAAAC	CGAAGTGCAT	TTCACTC	GGACCGCGA
b.var.rothrockiiKR184833.1AZ	GTTGATG	CCCTTAGCAC	CCATGTAAAC	CGAAGTGCAT	TTCACTT	GGACCGCGA
b.var.rothrockii5467Son	GTTGATG	CCCTTAGCAC	CCATGTAAAC	CGAAGTGCAT	TTCACTC	GGACCGCGA
b.var.rothrockii5227Son	GTTGATG	CCCTTAGCAC	CCATGTAAAC	CGAAGTGCAT	TTCACTC	GGACCGCGA
b.var.rothrockii2454AZ	GTTGATG	CCCTTAGCAC	CCATGTAAAC	CGAAGTGCAT	TTCACTT	GGACCGCGA
b.var.rothrockii2934	GTTGATG	CCCTTAGYAC	CCATGTAAAC	CGAAGTGCAT	TTCACTT	GGACCGCGA
b.var.sonorae5459Son	GTTGATG	CCCTTA-CAC	CCATGTAAAC	CGAA		
b.var.sonorae2368	GTTCATG	CCCTTAGCAC	CCATGTAAAC	CGAAGTGTAT	TTCACTC	GGACCGCGA
b.var.sonorae5353	GTTGATG	CCCTTAGCAC	CCATGTAAAC	CGAAGTGCAT	TTCACTC	GGACCGCGA
p.var.parryi 2299Son	CATGATG	CCCTTAGCAC	CCATGTAAAC	CGAAGTGCAT	TTCACTC	GGACCGCGA
p.var.parryi5349	CATGATG	CCCTTAGCAC	CCATGTAAAC	CGAAGTGCAT	TTCACTC	GGACCGCGA
p.var.gentryi5476Sin						
p.var.gentryiKR184918.1Sin	CATGATG	CCCTTAGCAC	CCATGTAAAC	CGAAGTGCAT	TTCACTC	GGACCGCGA

ANEXO C. Continuación.

p.var.gentryi2369 p.var.gentryi316 elata2358Jal elataKR184875.10ax elataKR184874.1Col elata23588Jal elata4086 ramosa5144Chih ramosaJF791632.1Coah ramosa2287Coah brevisetaKR184842.1NM breviseta2211 breviseta2908TX gracilis135 chaseiKR184845.1 scorpioides138

		585	· · · · · · · · · · · · · · · · · · ·		•
		CCATGTAAAC			
GTTGATG	CCCTTAGCAC	CCATGTAAAC	CGAAGTGCAT	TTCACTC	GGACCGCGA
GTTCATG	TCCTTAGCAC	CCATGTAC	CGAAGTGTAC	ATCACTC	GAACCGCGA
GTTCATG	CCCTTAGCAC	CCATGTAC	CGAAGTGTAC	ATCACTC	GAACCGCGA
GTTCATG	CCCTTAGCAC	CCATGTAC	CGAAGTGTAC	ATCACTC	GAACCGCGA
GTTCATG	CCCTTAGCAC	CCATGTAC	CGAAGTGTAC	ATCACTC	GAACCGCGA
TTCGTTTATG	CCCTTAGCAC	CCATGTAC	CGAAGTGGAC	ATTGCTC	GGACCGCGA
TTCGTTTATG	CCCTTAGCAC	CCATGTAC	CGAAGTGGAC	ATTGCTC	GGACCGCGA
TTCGTTTATG	CCCTTAGCAC	CCATGTAC	CGAAGTGGAC	ATCGCTC	GGACCGCGA
TTCGTTTATG	CCCTTAGCAC	CCATGTAC	CGAAGTGGAC	ATCGCTC	GGACCGCGA
TTCGTTTATG	CCCTTAGCAC	CCATGTAC	CGAAGTGGAC	ATCGCTC	GGACCGCGA
ATTGGTGATG	CCCTGATCAC	CCAAGTAC	CGAAGCGCTT	GTTGACGCTC	GGACTGCGA
ATTGGTGATG	CCCTGAGCAC	CCAAGTAC	CGAAGCGC	-TTGACGCTC	GGACCGCGA
ATTGGTGATG	CCCTGAGCAC	CCAAGTTG	CGAAGCGC	-TCGACGCTT	GGACCGCGA

ANEXO D. Secuencias alineadas del intrón *rpl*16 de las especies incluidas en los análisis filogenéticos del complejo *B. barbata* y grupo externo. Los nucleótidos están numerados en dirección 5´-3´. Los guiones representan gaps.

	5	15	25	35	45	55	65
b.var.barbata61Arg	GAGTAAATAT	TCGCCCGCGA	AATCTTTATT	GGATTAAATT	AATTATGATT	CAATAAGCTT	AA
b.var.barbata5111Dgo	GAGTAAATAT	TCGCCCGCGA	AATCCTTATT	GGATTAAATT	AATTATGATT	CAATAAGCTT	AA
b.var.barbata2478Ags	GAGTAAATAT	TCGCCCGCGA	AATCTTTATT	GGATTAAATT	AATTATGATT	CAATAAGCTT	AA
b.var.barbata126SLP	GAGTAAATAT	TCGCCCGCGA	AATCTTTATT	GGATTAAATT	AATTATGATT	CAATAAGCTT	AA
b.var.barbata5257BCS	GAGTAAATAT	TCGCCCGCGA	AATCTTTATT	GGATTAGATT	AATTATGATT	CAATAAGGTT	AA
b.var.barbata5251BCS	GAGTAAATAT	TCGCCCGCGA	AATCTTTATT	GGATTAAATT	AATTATGATT	CAATAAGCTT	AA
<pre>b.var.barbata10Pue</pre>	GAGTAAATAT	TCGCCCGCGA	AATCTTTATT	GGATTAAATT	AATTATGATT	CAATAAGCTT	AA
b.var.barbata57051TX	GAGTAAATAT	TCGCCCGCGA	AATCTTTATT	GGATTAAATT	AATTATGATT	CAATAAGCTT	AA
b.var.barbata5416Coah	GAGTAAATAT	TCGCCCGCGA	AATCT <mark>TTA</mark> TT	GGATTAAATT	AATTATGATT	CAATAAGCTT	AA
b.var.barbata5137Chih	GAGTAAATAT	TCGCCCGCGA	AATC <mark>TTTAT</mark> T	GGATTAAATT	AATTATGATT	CAATAAGCTT	AA
b.var.barbata5148aChih	GAGTAAATAT	TCGCCCGCGA	AAT <mark>CTTTA</mark> TT	GGATTAAATT	AATTATGATT	CAATAAGCTT	AA
<pre>b.var.rothrockii5249BCS</pre>	GAGTAAATAT	TCGCCCGCGA	AATCCTTATT	GGATTAAATT	AATTATGATT	CAATAAGCTT	AA
b.var.rothrockii5228Son	GAGTAAATAT	TCGCCCGCGA	AATCCTTATT	GGATTAAATT	AATTATGATT	CAATAAGCTT	AA
b.var.rothrockii5467Son	GAGTAAATAT	TCGCCCGCGA	AATCCTTATT	GGATTAAATT	AATTATGATT	CAATAAGCTT	AA
b.var.rothrockii5460Son	GAGTAAATAT	TCGCCCGCGA	AATCCTTATT	GGATTAAATT	AATTATGATT	CAATAAGCTT	AA
b.var.rothrockii5229Son	GAGTAAATAT	TCGCCCGCGA	AATCCTTATT	GGATTAAATT	AATTATGATT	CAATAAGCTT	AA
b.var.rothrockii5456Son	GAGTAAATAT	TCGCCCGCGA	AATCCTTATT	GGATTAAATT	AATTATGATT	CAATAAGCTT	AA
b.var.rothrockii5473Son	GAGTAAATAT	TCGCCCGCGA	AATCCTTATT	GGATTAAATT	AATTATGATT	CAATAAGCTT	AA
p.var.gentryi5489Sin	GAGTAAATAT	TCGCCCGCGA	AATCTTTATT	GGATTAAATT	AATTATGATT	CAATAAGCTT	AA
elata2358Jal	GAGTAAATAT	TCGCCCGCGA	AATCTTTATT	GGATTAGATT	AATTAAGATT	CAATAAGGTT	AA
ramosa5437Chih	GAGTAAATAT	TCGCCCGCGA	AATCTTTATT	GGATGAGATT	AATTATGATT	CAATAAGGTT	AA
ramosa5156Chih	GAGTAAATAT	TCGCCCGCGA	AATCTTTATT	GGATGAGATT	AATTATGATT	CAATAAGGTT	AA
ramosa5144Chih	GAGTAAATAT	TCGCCCGCGA	AATCTTTATT	GGATGAGATT	AATTATGATT	CAATAAGGTT	AA
ramosa5411Coah	GAGTAAATAT	TCGCCCGCGA	AATCTTTATT	GGATGAGATT	AATTATGATT	CAATAAGGTT	AA
ramosa5147Chih	GAGTAAATAT	TCGCCCGCGA	AATCTTTATT	GGATGAGATT	AATTATGATT	CAATAAGGTT	AA
ramosa5124Chih	GAGTAAATAT	TCGCCCGCGA	AATCTTTATT	GGATGAGATT	AATTATGATT	CAATAAGGTT	AA
ramosa5125Chih	GAGTAAATAT	TCGCCCGCGA	AATCTTTATT	GGATGAGATT	AATTATGATT	CAATAAGGTT	AA
breviseta2908TX			ATT	GGATGAGATT	AATTATGATT	CAATAAGGTT	AA
gracilis135			TATT		-		
scorpioides138	AATAT	TCGCCCGCGA	AATCT-TATT	GGATGATATT	CATTATGATT	CAATAAGGTT	CAAATTTTTA

	75	85	95	105	115	125	135
b.var.barbata61Arg			AAAAAAAAA-				
b.var.barbata5111Dgo	AAATAAAGAT	ATTC-TTTAT	AAAAAAA	GAAATA	CATTCTATAA	AAATATAGAA	TTTGGATATG
b.var.barbata2478Ags	AAATAAAGAT	ATTCCTAAAA	AAAAAAAA-	-GAAGAAATA	CATTATAAAA	ATATATAGAA	TTTGGATATG
<pre>b.var.barbata126SLP</pre>	AAATAAAGAT	ATTCCTAAAA	AAAAAAAA-	-GAAGAAATA	CATTATAAAA	ATATATAGAA	TTTGGATATG
b.var.barbata5257BCS	AAATAAAGAT	ATTCCTTCTA	AAAA-GAAAA	-GAAGGATTA	CATTATCTAC	AAATATAGAA	TTTGGATATG
b.var.barbata5251BCS	AAATAAAGAT	ATTCCTAAAA	AAAAAAAA-	-GAAGAAATA	CATTATAAAA	ATATATAGAA	TTTGGATATG
<pre>b.var.barbata10Pue</pre>	AAATAAAGAT	ATTCCTAAAA	AAAAAAAA-	-GAAGAAATA	CATTATAAAA	ATATATAGAA	TTTGGATATG
b.var.barbata57051TX	AAATAAAGAT	ATTCCTAAAA	AAAAAAAAA-	-GAAGAAATA	CATTATAAAA	ATATATAGAA	TTTGGATATG
b.var.barbata5416Coah	AAATAAAGAT	ATTCCTAAAA	AAAAAA <mark>A</mark> AAA	-GAAGAAATA	CATTATAAAA	ATATATAGAA	TTTGGATATG
b.var.barbata5137Chih	AAATAAAGAT	ATTCCTAAAA	AAAA <mark>AAAA</mark> -	-GAAGAAATA	CATTATAAAA	ATATATAGAA	TTTGGATATG
b.var.barbata5148aChih	AAATAAAGAT	ATTCCTAAAA	AAA <mark>AAAAA</mark> -	-GAAGAAATA	CATTATAAAA	ATATATAGAA	TTTGGATATG
<pre>b.var.rothrockii5249BCS</pre>	AAATAAAGAT	ATTC-TTTAT	AAAAAA	GAAATA	CATTCTATAA	AAATATAGAA	TTTGGATATG
b.var.rothrockii5228Son	AAATAAAGAT	ATTC-TTTAT	AAAAAAAA	GAAATA	CATTCTATAA	AAATATAGAA	TTTGGATATG
b.var.rothrockii5467Son	AAATAAAGAT	ATTC-TTTAT	AAAAAAAAA	GAAATA	CATTCTATAA	AAATATAGAA	TTTGGATATG
b.var.rothrockii5460Son	AAATAAAGAT	ATTC-TTTAT	AAAAAAAAA	GAAATA	CATTCTATAA	AAATATAGAA	TTTGGATATG
b.var.rothrockii5229Son	AAATAAAGAT	ATTC-TTTAT	AAAAAAAA	GAAATA	CATTCTATAA	AAATATAGAA	TTTGGATATG
b.var.rothrockii5456Son	AAATAAAGAT	ATTC-TTTAT	AAAAAAA	GAAATA	CATTCTATAA	AAATATAGAA	TTTGGATATG
b.var.rothrockii5473Son	AAATAAAGAT	ATTC-TTTAT	AAAAAAAA-	GAAATA	CATTCTATAA	AAATATAGAA	TTTGGATATG
p.var.gentryi5489Sin	AAATAAAGAT	ATTCCTAAAA	AAAAAAAA	AGAAGAAATA	CATTATATAA	AAATATAGAA	TTTGGATATG
elata2358Jal	AAATAAAGAT	ATTCCTTGTA	AAAAA	-GAAGGATTA	CATTATCTAA	AAATATAGAA	TTTGGATATG
ramosa5437Chih	AAATAAAGAT	ATTCCTTCTA	AAAA-GAAAA	-GAAGGATTA	CATTATCTAC	AAATATAGAA	TTTGGATATA
ramosa5156Chih	AAATAAAGAT	ATTCCTTCTA	AAAA-GAAAA	-GAAGGATTA	CATTATCTAC	AAATATAGAA	TTTGGATATA
ramosa5144Chih	AAATAAAGAT	ATTCCTTCTA	AAAA-GAAAA	-GAAGGATTA	CATTATCTAC	AAATATAGAA	TTTGGATATA
ramosa5411Coah	AAATAAAGAT	ATTCCTTCTA	AAAA-GAAAA	-GAAGGATTA	CATTATCTAC	AAATATAGAA	TTTGGATATA
ramosa5147Chih	AAATAAAGAT	ATTCCTTCTA	AAAA-GAAAA	-GAAGGATTA	CATTATCTAC	AAATATAGAA	TTTGGATATA
ramosa5124Chih	AAATAAAGAT	ATTCCTTCTA	AAAA-GAAAA	-GAAGGATTA	CATTATCTAC	AAATATAGAA	TTTGGATATA
ramosa5125Chih	AAATAAAGAT	ATTCCTTCTA	AAAA-GAAAA	-GAAGGATTA	CATTATCTAC	AAATATAGAA	TTTGGATATA
breviseta2908TX	AAATAAAGAT	ATTCCTTCTA	AAAAATAAAA	-GAAGGATTA	CATTATCTAC	AAATATAGAA	TTTGGATATA
gracilis135	AAATAAAGAT	ATTCCC	TAATAAAT	GGAGGGAATA	CATTCTATCC	AAATTCTATA	TTTGGATATA
scorpioides138	AAATAAAGAT	ATTCCAAAAT	AATAATAAAT	GGAAGGAA			TTTA

						105	
l ll + - C17	145	155	165	175	185	195	205
b.var.barbata61Arg						ATGCAAAATA	
b.var.barbata5111Dgo			-		_	ATGCAAAATA	
b.var.barbata2478Ags					_	ATGCAAAATA	
b.var.barbata126SLP						ATGCAAAATA	
b.var.barbata5257BCS						ATGCAAAATA	
b.var.barbata5251BCS						ATGCAAAATA	
b.var.barbata10Pue			-			ATGCAAAATA	
b.var.barbata57051TX	TTCTAGATCT	TCTTTCTTAA	CTATATATTT	TTATTTTTCG	ATTTTAAGAA	ATGCAAAATA	AAAAAA-CCT
b.var.barbata5416Coah	TTCTAGATCT	TCTTTCTTAA	CTATATATTT	TTATTTTTCG	ATTTTAAGAA	ATGCAAAATA	AAAAAA-CCT
b.var.barbata5137Chih	TTCTAGATCT	TCTTTCTTAA	CTATA <mark>TATT</mark> T	TTATTTTTCG	ATTTTAAGAA	ATGCAAAATA	AAAAAA-CCT
b.var.barbata5148aChih	TTCTAGATCT	TCTTTCTTAA	CTAT <mark>ATATT</mark> T	TTATTTTTCG	ATTTTAAGAA	ATGCAAAATA	AAAAAA-CCT
<pre>b.var.rothrockii5249BCS</pre>	TTCTAGATCT	TCTTTCTTAA	CT <mark>ATATAT</mark> TT	TTATTTTTCG	ATTTTAAGAA	ATGCAAAATA	AAAAAA-CCT
b.var.rothrockii5228Son	TTCTAGATCT	TCTTTCTTAA	CTATATATTT	TTATTTTTCG	ATTTTAAGAA	ATGCAAAATA	AAAAAA-CCT
b.var.rothrockii5467Son	TTCTAGATCT	TCTTTCTTAA	CTATATATTT	TTATTTTTCG	ATTTTAAGAA	ATGCAAAATA	AAAAAA-CCT
b.var.rothrockii5460Son	TTCTAGATCT	TCTTTCTTAA	CTATATATTT	TTATTTTTCG	ATTTTAAGAA	ATGCAAAATA	AAAAAA-CCT
b.var.rothrockii5229Son	TTCTAGATCT	TCTTTCTTAA	CTATATATTT	TTATTTTTCG	ATTTTAAGAA	ATGCAAAATA	AAAAAA-CCT
b.var.rothrockii5456Son	TTCTAGATCT	TCTTTCTTAA	CTATATATTT	TTATTTTTCG	ATTTTAAGAA	ATGCAAAATA	AAAAAA-CCT
b.var.rothrockii5473Son	TTCTAGATCT	TCTTTCTTAA	CTATATATTT	TTATTTTTCG	ATTTTAAGAA	ATGCAAAATA	AAAAAA-CCT
p.var.gentryi5489Sin	TTCTAGATCT	TCTTTCTTAA	CTATATATTT	TTATTTTTCG	ATTTTAAGAA	ATGCAAAATA	AAAAAA-CCT
elata2358Jal	TTCTAGATCT	TCTTTCTTAA	CTATATATTT	ATATTTTTCT	ATTTTAAGAA	ATGCAAAATA	AAAAAAACCT
ramosa5437Chih	TTCTAGATCT	TCTTTCTTAA	CTATA	ATATTTTTCT	ATTTTAAGAA	ATGCAAAATA	AAAAAAACCT
ramosa5156Chih	TTCTAGATCT	TCTTTCTTAA	CTATA	ATATTTTTCT	ATTTTAAGAA	ATGCAAAATA	AAAAAAACCT
ramosa5144Chih	TTCTAGATCT	TCTTTCTTAA	CTATA	ATATTTTTCT	ATTTTAAGAA	ATGCAAAATA	AAAAAAACCT
ramosa5411Coah	TTCTAGATCT	TCTTTCTTAA	CTATA	ATATTTTTCT	ATTTTAAGAA	ATGCAAAATA	AAAAAAACCT
ramosa5147Chih	TTCTAGATCT	TCTTTCTTAA	CTATA	ATATTTTTCT	ATTTTAAGAA	ATGCAAAATA	AAAAAAACCT
ramosa5124Chih	TTCTAGATCT	TCTTTCTTAA	CTATA	ATATTTTTCT	ATTTTAAGAA	ATGCAAAATA	AAAAAAACCT
ramosa5125Chih	TTCTAGATCT	TCTTTCTTAA	CTATA	ATATTTTTCT	ATTTTAAGAA	ATGCAAAATA	AAAAAAACCT
breviseta2908TX	TTCTAGATCT	TCTTTCTTAA	CTATA	ATATTTTTCT	ATTTTAAGAA	ATGCAAAATA	AAAAAAACCT
gracilis135	TTCTAGATCT	TTTTTCTTAA	TATTCTATTT	TTTCT	ATTTTAAGAA	ATGCAAAATA	AAAAAA-CCT
scorpioides138	TTCTAGATCT					ATGCAAAATA	
-							

	1 1	1 1		1 1	1 1	1 1	1 1
	215	225	235	245	255	265	275
b.var.barbata61Arg	ATTATTATTA						
b.var.barbata5111Dgo	ATTATTATTA	T					GTAATATTTT
b.var.barbata2478Ags	ATTATTATTA	T		ATTAT	ATACTGATGT	GTATCTATCC	GTAAAATTTT
b.var.barbata126SLP	ATTATTATTA	T		ATTAT	ATACTGATGT	GTATCTATCC	GTAAAATTTT
b.var.barbata5257BCS	ATTATTATTA					GTATCTATCC	GTAATATTTT
b.var.barbata5251BCS	ATTATTATTA	T		ATTAT	ATACTGATGT	GTATCTATCC	GTAAAATTTT
b.var.barbata10Pue	ATTATTATTA	T		ATTAT	ATACTGATGT	GTATCTATCC	GTAAAATTTT
b.var.barbata57051TX	ATTATTATTA	T		ATTAT	ATACTGATGT	GTATCTATCC	GTAAAATTTT
b.var.barbata5416Coah	ATTATTATTA	T		ATTAT	ATACTGATGT	GTATCTATCC	GTAAAATTTT
b.var.barbata5137Chih	ATTATTATTA	T		ATTAT	ATACTGATGT	GTATCTATCC	GTAAAATTTT
b.var.barbata5148aChih	ATTATTATTA	T		ATTAT	ATACTGATGT	GTATCTATCC	GTAAAATTTT
b.var.rothrockii5249BCS	ATTATTAGTA	T		ATTAT	ATACTGATGT	GTATCTATCC	GTAATATTTT
b.var.rothrockii5228Son	ATTATTAGTA	T		ATTAT	ATACTGATGT	GTATCTATCC	GTAATATTTT
b.var.rothrockii5467Son	ATTATTAGTA	T		ATTAT	ATACTGATGT	GTATCTATCC	GTAATATTTT
b.var.rothrockii5460Son	ATTATTAGTA	T		ATTAT	ATACTGATGT	GTATCTATCC	GTAATATTTT
b.var.rothrockii5229Son	ATTATTAGTA	T		ATTAT	ATACTGATGT	GTATCTATCC	GTAATATTTT
b.var.rothrockii5456Son	ATTATTAGTA	T		ATTAT	ATACTGATGT	GTATCTATCC	GTAATATTTT
b.var.rothrockii5473Son	ATTATTAGTA	T		ATTAT	ATACTGATGT	GTATCTATCC	GTAATATTTT
p.var.gentryi5489Sin	ATTATTATTA	TTTTATATAC	TGATATTATT	ATTATATTAT	ATACTGATGT	GTATCTATCC	GTAATATTTT
elata2358Jal	ATTATTATTA	T		ATTAT	ATACTGATGT	GTATCTATCC	GTATTATTTT
ramosa5437Chih	ATTATTATTA	T		ATTAT	ATACTGATGT	GTATCTATCC	GTAATATTTT
ramosa5156Chih	ATTATTATTA	T		ATTAT	ATACTGATGT	GTATCTATCC	GTAATATTTT
ramosa5144Chih	ATTATTATTA	T		ATTAT	ATACTGATGT	GTATCTATCC	GTAATATTTT
ramosa5411Coah	ATTATTATTA	T		ATTAT	ATACTGATGT	GTATCTATCC	GTAATATTTT
ramosa5147Chih	ATTATTATTA	T		ATTAT	ATACTGATGT	GTATCTATCC	GTAATATTTT
ramosa5124Chih	ATTATTATTA	T					
ramosa5125Chih	ATTATTATTA	T		ATTAT	ATACTGATGT	GTATCTATCC	GTAATATTTT
breviseta2908TX	ATTATTATTA	T		ATTAT	ATACTGATGT	GTATCTATCC	GTAATATTTT
gracilis135	ATTATTATTA	T	ATTATAT	ATTATATAAT	ATACTGATGT	GTATCTATCC	GTAATATTTT
scorpioides138	ATTATTATTA	T		ATTATATAAT	ATACTGATGT	GTATCTATCC	GTAATATTTT

	1 1	1 1		1 1	1 1	1 1	1 1
	285	295	305	315	325	335	345
b.var.barbata61Arg			AAATTTGCAC				
b.var.barbata5111Dgo	-		AAATTTGCAC				
b.var.barbata2478Ags	-		AAATTTGCAC				
b.var.barbata126SLP	TGAATATTAT	GGAATTAGAT	AAATTTGCAC	GCTTTCTCAT	TTCATTCGCG	AGGAGCTGGA	TGAGAAGAAA
b.var.barbata5257BCS			AAATTTGCAC				
b.var.barbata5251BCS	TGAATATTAT	GGAATTAGAT	AAATTTGCAC	GCTTTCTCAT	TTCATTCGCG	AGGAGCTGGA	TGAGAAGAAA
b.var.barbata10Pue	TGAATATTAT	GGAATTAGAT	AAATTTGCAC	GCTTTCTCAT	TTCATTCGCG	AGGAGCTGGA	TGAGAAGAAA
b.var.barbata57051TX	TGAATATTAT	GGAATTAGAT	AAATTTGCAC	GCTTTCTCAT	TTCATTCGCG	AGGAGCTGGA	TGAGAAGAAA
b.var.barbata5416Coah	TGAATATTAT	GGAATTAGAT	AAATTTGCAC	GCTTTCTCAT	TTCATTCGCG	AGGAGCTGGA	TGAGAAGAAA
b.var.barbata5137Chih	TGAATATTAT	GGAATTAGAT	AAATT <mark>TGCA</mark> C	GCTTTCTCAT	TTCATTCGCG	AGGAGCTGGA	TGAGAAGAAA
b.var.barbata5148aChih	TGAATATTAT	GGAATTAGAT	AAAT <mark>TTGCA</mark> C	GCTTTCTCAT	TTCATTCGCG	AGGAGCTGGA	TGAGAAGAAA
b.var.rothrockii5249BCS	TGAATATTAT	GGAATTAGAG	AAATTTGCAC	GCTTTCTCAT	TTCATTCGCG	AGGAGCTGGA	TGAGAAGAAA
b.var.rothrockii5228Son	TGAATATTAT	GGAATTAGAG	AAATTTGCAC	GCTTTCTCAT	TTCATTCGCG	AGGAGCTGGA	TGAGAAGAAA
b.var.rothrockii5467Son	TGAATATTAT	GGAATTAGAG	AAATTTGCAC	GCTTTCTCAT	TTCATTCGCG	AGGAGCTGGA	TGAGAAGAAA
b.var.rothrockii5460Son	TGAATATTAT	GGAATTAGAG	AAATTTGCAC	GCTTTCTCAT	TTCATTCGCG	AGGAGCTGGA	TGAGAAGAAA
b.var.rothrockii5229Son	TGAATATTAT	GGAATTAGAG	AAATTTGCAC	GCTTTCTCAT	TTCATTCGCG	AGGAGCTGGA	TGAGAAGAAA
b.var.rothrockii5456Son	TGAATATTAT	GGAATTAGAG	AAATTTGCAC	GCTTTCTCAT	TTCATTCGCG	AGGAGCTGGA	TGAGAAGAAA
b.var.rothrockii5473Son	TGAATATTAT	GGAATTAGAG	AAATTTGCAC	GCTTTCTCAT	TTCATTCGCG	AGGAGCTGGA	TGAGAAGAAA
p.var.gentryi5489Sin	TGAATATTAT	GGAATTAGAG	AAATTTGCAC	GCTTTCTCAT	TTCATTCGCG	AGGAGCTGGA	TGAGAAGAAA
elata2358Jal	TGAATATTAT	GGAATTAGAG	AAATTTGCAC	GCTTTCTCAT	TTCATTCGCG	AGGAGCTGGA	TGAGAAGAAA
ramosa5437Chih	TGAATATTAT	GGAATTAGAG	AAATTTGCAC	GCTTTCTCAT	TTCATTCGCG	AGGAGCTGGA	TGAGAAGAAA
ramosa5156Chih	TGAATATTAT	GGAATTAGAG	AAATTTGCAC	GCTTTCTCAT	TTCATTCGCG	AGGAGCTGGA	TGAGAAGAAA
ramosa5144Chih	TGAATATTAT	GGAATTAGAG	AAATTTGCAC	GCTTTCTCAT	TTCATTCGCG	AGGAGCTGGA	TGAGAAGAAA
ramosa5411Coah	TGAATATTAT	GGAATTAGAG	AAATTTGCAC	GCTTTCTCAT	TTCATTCGCG	AGGAGCTGGA	TGAGAAGAAA
ramosa5147Chih	TGAATATTAT	GGAATTAGAG	AAATTTGCAC	GCTTTCTCAT	TTCATTCGCG	AGGAGCTGGA	TGAGAAGAAA
ramosa5124Chih	TGAATATTAT	GGAATTAGAG	AAATTTGCAC	GCTTTCTCAT	TTCATTCGCG	AGGAGCTGGA	TGAGAAGAAA
ramosa5125Chih	TGAATATTAT	GGAATTAGAG	AAATTTGCAC	GCTTTCTCAT	TTCATTCGCG	AGGAGCTGGA	TGAGAAGAAA
breviseta2908TX	TGAATATTAT	GGAATTAGAG	AAATTTGCAC	GCTTTCTCAT	TTCATTCGCG	AGGAGCTGGA	TGAGAAGAAA
gracilis135	TGAATATTAT	GTAATTAGAG	AAATTTGCAC	GCTTTCTCAT	TTCATTCGCG	AGGAGCTGGA	TGAGAAGAAA
scorpioides138	-CTCTCTTAT	GTAATTAGAG	AAATTTGCAC	GCTTTCTCAT	TTCATTCGCG	AGAAGCTGGA	TGAGAAGAAA

		365	375	385	395	405	415
la lala (1 7	355			AACTAAAAAA			
b.var.barbata61Arg				AACTAAAAAA			
b.var.barbata5111Dgo				-			
b.var.barbata2478Ags				AACTAAAAA			
b.var.barbata126SLP				AACTAAAAA			
b.var.barbata5257BCS				AACTAAAAA			
b.var.barbata5251BCS				AACTAAAAA			
b.var.barbata10Pue				AACTAAAAA			
b.var.barbata57051TX				AACTAAAAA			
b.var.barbata5416Coah				AACTAAAAA			
b.var.barbata5137Chih				AACTAAAAAA			
b.var.barbata5148aChih				AACTAAAAAA			
b.var.rothrockii5249BCS	CTCTCATGTC	CAGTTTTGTA	GTAGAGATGG	AACTAAAAAA	GAACCATCGA	CTATAACCCC	AAAAGAACTA
b.var.rothrockii5228Son				AAC TAAAAAA			
b.var.rothrockii5467Son	CTCTCATGTC	CAGTTTTGTA	GTAGAGATGG	AACTAAAAAA	GAACCATCGA	CTATAACCCC	AAAAGAACTA
b.var.rothrockii5460Son	CTCTCATGTC	CAGTTTTGTA	GTAGAGATGG	AACTAAAAAA	GAACCATCGA	CTATAACCCC	AAAAGAACTA
b.var.rothrockii5229Son	CTCTCATGTC	CAGTTTTGTA	GTAGAGATGG	AACTAAAAAA	GAACCATCGA	CTATAACCCC	AAAAGAACTA
b.var.rothrockii5456Son	CTCTCATGTC	CAGTTTTGTA	GTAGAGATGG	AACTAAAAAA	GAACCATCGA	CTATAACCCC	AAAAGAACTA
b.var.rothrockii5473Son	CTCTCATGTC	CAGTTTTGTA	GTAGAGATGG	AACTAAAAAA	GAACCATCGA	CTATAACCCC	AAAAGAACTA
p.var.gentryi5489Sin	CTCTCATGTC	CAGTTTTGTA	GTAGAGATGG	AACTAAAAAA	GAACCATCGA	CTATAACCCC	AAAAGAACTA
elata2358Jal	CTCTCATGTC	CAGTTTTGTA	GTAGAGATGG	AACTAAAAAA	GAACCATCGA	CTATAACCCC	AAAAGAACTA
ramosa5437Chih	CTCTCATGTC	CAGTTTTGTA	GTAGAGATGG	AACTAAAAAA	GAACCATCGA	CTATAACCCC	AAAAGAACTA
ramosa5156Chih	CTCTCATGTC	CAGTTTTGTA	GTAGAGATGG	AACTAAAAAA	GAACCATCGA	CTATAACCCC	AAAAGAACTA
ramosa5144Chih	CTCTCATGTC	CAGTTTTGTA	GTAGAGATGG	AACTAAAAAA	GAACCATCGA	CTATAACCCC	AAAAGAACTA
ramosa5411Coah	CTCTCATGTC	CAGTTTTGTA	GTAGAGATGG	AACTAAAAA	GAACCATCGA	CTATAACCCC	AAAAGAACTA
ramosa5147Chih	CTCTCATGTC	CAGTTTTGTA	GTAGAGATGG	AACTAAAAA	GAACCATCGA	CTATAACCCC	AAAAGAACTA
ramosa5124Chih	CTCTCATGTC	CAGTTTTGTA	GTAGAGATGG	AACTAAAAA	GAACCATCGA	CTATAACCCC	AAAAGAACTA
ramosa5125Chih	CTCTCATGTC	CAGTTTTGTA	GTAGAGATGG	AACTAAAAA	GAACCATCGA	CTATAACCCC	AAAAGAACTA
breviseta2908TX	CTCTCATGTC	CAGTTTTGTA	GTAGAGATGG	AACTAAAAA	GAACCATCGA	CTATAACCCC	AAAAGAACTA
gracilis135	CTCTCATGTC	CAGTTTTGTA	GTAGAGATGG	AACTAAAAAA	GAACCATCGA	CTATAACCCC	AAAAGAACTA
scorpioides138	CTCTCATGTC	CAGTTTTGTA	GTAGAGATGG	AACTAAAAAA	GAACCATCGA	CTATAACCCC	AAAAGAACTA
-							

l	425	435	00	
b.var.barbata61Arg		ACAACATAGA		
b.var.barbata5111Dgo		ACAACATAGA		
b.var.barbata2478Ags		ACAACATAGA		
b.var.barbata126SLP		ACAACATAGA		
b.var.barbata5257BCS	-	ACAACATAGA		
b.var.barbata5251BCS	-	ACAACATAGA		
b.var.barbata10Pue	-	ACAACATAGA		
b.var.barbata57051TX	-	ACAACATAGA		
b.var.barbata5416Coah	-	ACAACATAGA		
b.var.barbata5137Chih	GATTTCGTAA	ACAACATAGA	GG	
b.var.barbata5148aChih	GATTTCGTAA	ACAACATAGA	GG	
<pre>b.var.rothrockii5249BCS</pre>	GATTTCGTAA	ACAACATAGA	GG	
b.var.rothrockii5228Son	GATTTCGTAA	ACAACATAGA	GG	
b.var.rothrockii5467Son	GATTTCGTAA	ACAACATAGA	GG	
b.var.rothrockii5460Son	GATTTCGTAA	ACAACATAGA	GG	
b.var.rothrockii5229Son	GATTTCGTAA	ACAACATAGA	GG	
b.var.rothrockii5456Son	GATTTCGAAA	ACAACATTGA	GG	
b.var.rothrockii5473Son	GATTTCGTAA	ACAACATAGA	GG	
p.var.gentryi5489Sin	GATTTCGTAA	ACAACATAGA	GG	
elata2358Jal	GATTTCGTAA	ACAACATAGA	GG	
ramosa5437Chih	GATTTCGTAA	ACAACATAGA	GG	
ramosa5156Chih	GATTTCGTAA	ACAACATAGA	GG	
ramosa5144Chih	GATTTCGTAA	ACAACATAGA	GG	
ramosa5411Coah	GATTTCGTAA	ACAACATAGA	GG	
ramosa5147Chih	GATTTCGTAA	ACAACATAGA	GG	
ramosa5124Chih	GATTTCGTAA	ACAACATAGA	GG	
ramosa5125Chih	GATTTCGTAA	ACAACATAGA	GG	
breviseta2908TX	GATTTCGTAA	ACAACATAGA	GG	
gracilis135	GATTTCGTAA	ACAACATAGA	GG	
scorpioides138	GATTTCGTAA	ACAACATAGA	GG	

Anexo E. Ejemplares utilizados en los análisis morfométricos, con sus respectivos caracteres morfológicos.

			Tall	0		Ancho de	Lámii	na foliar
Taxón	No. de colecta	Ciclo	Apecto	Longitud cm	Estolones	lígula mm	Anch o mm	Longitu d cm
Bouteloua ramosa	5408	Perenne	Erecto	37.87	Ausentes	0.16	1.03	2.30
Bouteloua ramosa	5409	Perenne	Erecto	40.43	Ausentes	0.20	1.10	3.86
Bouteloua ramosa	5410	Perenne	Erecto	50.90	Ausentes	0.20	1.06	2.56
Bouteloua ramosa	5411	Perenne	Erecto	50.77	Ausentes	0.16	1.66	3.96
Bouteloua ramosa	5412	Perenne	Erecto	38.17	Ausentes	0.16	1.20	3.50
Bouteloua barbata var. barbata	5413	Anual	Decumbente	6.73	Ausentes	0.93	1.20	1.96
Bouteloua barbata var. barbata	5414	Anual	Decumbente	11.93	Ausentes	1.23	1.26	2.96
Bouteloua barbata var. barbata	5415	Anual	Decu <mark>mb</mark> ente	13.50	Ausentes	0.90	1.40	3.50
Bouteloua barbata var. barbata	5416	Anual	De <mark>cumbe</mark> nte	11.16	Ausentes	1.16	1.66	5.76
Bouteloua barbata var. barbata	5417	Anual	Decumbente Decumber	8.13	Ausentes	1.00	1.26	2.16
Bouteloua barbata var. barbata	5418	Anual	Decumbente	20.93	Ausentes	1.00	1.70	4.80
Bouteloua barbata var. barbata	5419	Anual	Decumbente	27.93	Ausentes	0.83	1.20	3.60
Bouteloua barbata var. barbata	5420	Anual	Decumbente	27.30	Ausentes	1.00	1.16	3.30
Bouteloua barbata var. barbata	5421	Anual	Decumbente	19.36	Ausentes	0.86	1.06	2.90
Bouteloua barbata var. barbata	5422	Anual	Decumbente	19.16	Ausentes	1.03	1.33	3.53
Bouteloua ramosa	5437	Perenne	Erecto	47.50	Ausentes	0.16	1.26	4.13
Bouteloua ramosa	5438	Perenne	Erecto	49.86	Ausentes	0.26	1.23	4.30
Bouteloua ramosa	5439	Perenne	Erecto	40.80	Ausentes	0.16	1.33	3.16
Bouteloua ramosa	5440	Perenne	Erecto	44.66	Ausentes	0.36	1.36	5.86
Bouteloua ramosa	5441	Perenne	Erecto	33.16	Ausentes	0.43	1.60	3.86
Bouteloua ramosa	5442	Perenne	Erecto	35.10	Ausentes	0.36	1.10	4.83
Bouteloua barbata var. barbata	5443	Anual	Decumbente	15.13	Ausentes	0.86	1.03	1.90
Bouteloua barbata var. barbata	5444	Anual	Decumbente	20.43	Ausentes	0.86	1.70	5.36
Bouteloua barbata var. barbata	5445	Anual	Decumbente	15.20	Ausentes	0.60	1.33	2.50

ANEXO E. Continuación.

			Tall	0		Ancho de	Lámii	na foliar
Taxón	No. de colecta	Ciclo	Aspecto	Longitud cm	Estolones	lígula mm	Anch o mm	Longitu d cm
Bouteloua barbata var. barbata	5446	Anual	Decumbente	21.06	Ausentes	0.96	1.43	4.00
Bouteloua barbata var. barbata	5447	Anual	Decumbente	20.56	Ausentes	0.93	1.86	4.33
Bouteloua barbata var. rothrockii	5452	Perenne	Erecto	32.23	Ausentes	1.26	1.53	3.36
Bouteloua barbata var. rothrockii	5453	Perenne	Erecto	21.86	Ausentes	1.00	1.80	6.76
Bouteloua barbata var. rothrockii	5454	Perenne	Erecto	31.96	Ausentes	0.76	1.20	6.06
Bouteloua barbata var. rothrockii	5455	Perenne	Erecto	24.63	Ausentes	1.13	1.66	6.33
Bouteloua barbata var. rothrockii	5456	Perenne	E <mark>recto</mark>	37.60	Presentes	0.80	1.20	6.20
Bouteloua barbata var. sonorae	5457	Perenne	D <mark>ecumbe</mark> nte	13.60	Presentes	1.30	1.36	3.40
Bouteloua barbata var. sonorae	5458	Perenne	Decumbente	15.90	Ausentes	1.53	1.40	4.93
Bouteloua barbata var. sonorae	5459	Perenne	Decumbente	8.70	Presentes	1.40	1.10	2.73
Bouteloua barbata var. rothrockii	5460	Perenne	Erecto	26.40	Ausentes	1.16	1.70	4.23
Bouteloua barbata var. rothrockii	5461	Perenne	Erecto	39.76	Ausentes	0.76	1.46	4.60
Bouteloua barbata var. rothrockii	5462	Perenne	Erecto	31.40	Ausentes	1.63	1.63	4.03
Bouteloua barbata var. rothrockii	5467	Perenne	Erecto	24.96	Ausentes	1.06	1.53	3.96
Bouteloua barbata var. rothrockii	5468	Perenne	Erecto	38.80	Presentes	1.06	1.23	3.86
Bouteloua barbata var. rothrockii	5469	Perenne	Erecto	36.70	Presentes	1.30	1.76	8.70
Bouteloua barbata var. rothrockii	5470	Perenne	Erecto	37.13	Presentes	1.16	2.00	5.50
Bouteloua barbata var. rothrockii	5471	Perenne	Erecto	31.53	Presentes	1.30	2.00	5.53
Bouteloua barbata var. rothrockii	5473	Perenne	Erecto	32.86	Presentes	1.33	2.20	11.83
Bouteloua barbata var. rothrockii	5474	Perenne	Erecto	43.73	Ausentes	1.36	1.93	7.96
Bouteloua barbata var. rothrockii	5475	Perenne	Erecto	36.13	Ausentes	1.36	1.53	7.06
Bouteloua parryi var. gentryi	5476	Perenne	Decumbente	19.70	Ausentes	1.00	1.96	4.50
Bouteloua parryi var. gentryi	5477	Perenne	Decumbente	20.23	Ausentes	0.86	2.23	3.73
Bouteloua parryi var. gentryi	5478	Perenne	Decumbente	25.00	Ausentes	0.70	1.86	3.70

- 106 -

ANEXO E. Continuación.

			Tall	О		Ancho de	Lámii	na foliar
Taxón	No. de colecta	Ciclo	Aspecto	Longitud cm	Estolones	lígula mm	Anch o mm	Longitu d cm
Bouteloua parryi var. gentryi	5479	Perenne	Decumbente	15.00	Ausentes	0.63	1.86	5.00
Bouteloua parryi var. gentryi	5480	Perenne	Erecto	39.96	Ausentes	0.76	1.43	4.33
Bouteloua parryi var. gentryi	5481	Perenne	Erecto	38.26	Ausentes	0.66	1.50	4.33
Bouteloua parryi var. gentryi	5482	Perenne	Erecto	34.23	Ausentes	0.63	1.16	3.03
Bouteloua parryi var. gentryi	5483	Perenne	Decumbente	15.33	Ausentes	0.66	1.70	2.06
Bouteloua parryi var. gentryi	5484	Perenne	Decumbente	28.90	Presentes	0.76	1.63	3.00
Bouteloua parryi var. gentryi	5485	Perenne	Dec <mark>umbe</mark> nte	19.60	Ausentes	0.90	1.56	2.40
Bouteloua parryi var. gentryi	5486	Perenne	D <mark>ecumbe</mark> nte	12.00	Ausentes	0.66	1.50	2.70
Bouteloua parryi var. gentryi	5487	Perenne	Decumbente	13.40	Ausentes	0.70	1.13	1.86
Bouteloua parryi var. gentryi	5488	Perenne	Decumbente	19.83	Ausentes	0.86	1.43	4.33
Bouteloua parryi var. gentryi	5489	Perenne	Decumbente	34.56	Ausentes	0.80	1.43	3.53
Bouteloua parryi var. gentryi	5490	Perenne	Decumbente	40.13	Ausentes	0.73	1.20	2.56
Bouteloua parryi var. gentryi	5491	Perenne	Decumbente	32.63	Ausentes	0.63	1.26	3.00
Bouteloua parryi var. gentryi	5492	Perenne	Erecto	21.36	Ausentes	0.86	1.60	3.70
Bouteloua parryi var. gentryi	2493	Perenne	Erecto	36.00	Ausentes	0.70	1.33	4.20
Bouteloua parryi var. gentryi	5494	Perenne	Erecto	18.30	Ausentes	0.60	1.20	3.20
Bouteloua parryi var. gentryi	5495	Perenne	Erecto	14.63	Ausentes	0.36	1.36	3.56
Bouteloua parryi var. gentryi	5496	Perenne	Erecto	17.56	Ausentes	0.80	1.33	3.26
Bouteloua parryi var. gentryi	5497	Perenne	Erecto	18.10	Ausentes	0.80	1.30	3.60
Bouteloua parryi var. gentryi	5498	Perenne	Erecto	21.40	Ausentes	0.73	1.66	4.53
Bouteloua parryi var. gentryi	5499	Perenne	Erecto	15.90	Ausentes	0.80	1.23	2.53
Bouteloua parryi var. gentryi	5500	Perenne	Erecto	18.00	Ausentes	0.66	1.43	2.53
Bouteloua parryi var. gentryi	5501	Perenne	Erecto	15.96	Ausentes	0.86	1.33	3.66
Bouteloua parryi var. gentryi	5502	Perenne	Erecto	10.16	Ausentes	0.46	1.53	4.00

- 107 -

ANEXO E. Continuación.

			Tall	0		Ancho de	Lámii	na foliar
Taxón	No. de colecta	Ciclo	Aspecto	Longitud cm	Estolones	lígula mm	Anch o mm	Longitu d cm
Bouteloua parryi var. gentryi	5503	Perenne	Erecto	15.50	Ausentes	0.53	1.13	2.36
Bouteloua elata	114	Perenne	Erecto	68.30	Ausentes	0.43	2.00	28.16
Bouteloua elata	114 (A)	Perenne	Erecto	60.10	Ausentes	0.50	1.93	20.00
Bouteloua parryi var. parryi	2369(1)	Anual	Erecto	27.33	Ausentes	0.93	1.16	3.50
Bouteloua parryi var. parryi	2369(2)	Anual	Erecto	27.20	Ausentes	0.90	1.26	2.13
Bouteloua parryi var. parryi	2369(3)	Anual	Erecto	25.13	Ausentes	0.76	1.76	3.10
Bouteloua parryi var. parryi	2369(4)	Anual	E <mark>recto</mark>	32.50	Ausentes	0.86	1.10	2.36
Bouteloua ramosa	86	Perenne	Erecto	51.73	Ausentes	0.33	1.40	4.76
Bouteloua ramosa	87	Perenne	Erecto	54.13	Ausentes	0.23	1.30	3.96
Bouteloua ramosa	88	Perenne	Erecto	47.66	Ausentes	0.30	1.30	4.90
Bouteloua ramosa	89	Perenne	Erecto	47.03	Ausentes	0.20	1.33	5.23
Bouteloua ramosa	90	Perenne	Erecto	44.03	Ausentes	0.33	1.23	4.73
Bouteloua barbata var. barbata	126	Anual	Decumbente	8.93	Ausentes	0.80	1.30	1.86
Bouteloua elata	2358 A	Perenne	Erecto	66.00	Ausentes	0.33	2.03	18.40
Bouteloua elata	2358 B	Perenne	Erecto	59.20	Ausentes	0.46	1.73	12.60
Bouteloua elata	2358 C	Perenne	Erecto	71.65	Ausentes	0.43	1.70	11.16
Bouteloua barbata var. barbata	10 (1)	Anual	Decumbente	19.06	Ausentes	1.00	1.63	3.63
Bouteloua barbata var. barbata	10 (2)	Anual	Decumbente	11.93	Ausentes	0.96	1.70	2.33
Bouteloua barbata var. barbata	10 (3)	Anual	Decumbente	21.70	Ausentes	1.16	1.76	3.80
Bouteloua barbata var. barbata	10 (4)	Anual	Decumbente	12.53	Ausentes	1.06	1.73	3.03
Bouteloua barbata var. barbata	10 (5)	Anual	Decumbente	16.86	Ausentes	0.96	1.50	3.23
Bouteloua barbata var. barbata	10 (6)	Anual	Decumbente	15.60	Ausentes	1.03	1.93	3.23
Bouteloua barbata var. barbata	10 (7)	Anual	Decumbente	16.06	Ausentes	0.96	1.90	2.86
Bouteloua barbata var. barbata	10 (8)	Anual	Decumbente	16.33	Ausentes	1.16	1.53	3.33

- 108 -

ANEXO E. Continuación.

			Tall	0		Ancho de	Lámii	na foliar
Taxón	No. de colecta	Ciclo	Aspecto	Longitud cm	Estolones	lígula mm	Anch o mm	Longitu d cm
Bouteloua barbata var. barbata	10 (9)	Anual	Decumbente	15.76	Ausentes	1.00	2.00	3.33
Bouteloua barbata var. barbata	10(10)	Anual	Decumbente	19.60	Ausentes	1.03	1.80	2.96
Bouteloua barbata var. barbata	4558	Anual	Decumbente	11.03	Ausentes	0.90	1.23	2.06
Bouteloua barbata var. barbata	4689	Anual	Decumbente	8.53	Ausentes	0.76	1.10	1.56
Bouteloua barbata var. barbata	4800	Anual	Decumbente	13.60	Ausentes	0.96	1.26	2.96
Bouteloua barbata var. barbata	4809	Anual	Decumbente	7.80	Ausentes	0.83	1.03	1.70
Bouteloua ramosa	4814	Perenne	E <mark>recto</mark>	25.23	Ausentes	0.26	1.16	2.76
Bouteloua barbata var. barbata	5110	Anual	D <mark>ecumbe</mark> nte	8.43	Ausentes	1.03	1.30	2.10
Bouteloua barbata var. barbata	5111	Anual	Decumbente	17.93	Ausentes	0.63	1.23	2.20
Bouteloua ramosa	5124	Perenne	Erecto	23.26	Ausentes	0.53	1.10	3.33
Bouteloua ramosa	5125	Perenne	Erecto	21.50	Ausentes	0.26	1.46	2.80
Bouteloua ramosa	5126	Perenne	Erecto	17.90	Ausentes	0.33	1.43	3.60
Bouteloua ramosa	5130	Perenne	Erecto	24.10	Ausentes	0.33	1.26	3.43
Bouteloua barbata var. barbata	5137	Anual	D <mark>ecumb</mark> ente	12.66	Ausentes	1.06	0.93	4.56
Bouteloua ramosa	5144	Perenne	Erecto	29.10	Ausentes	0.33	1.16	3.36
Bouteloua ramosa	5145	Perenne	Erecto	33.20	Ausentes	0.20	1.53	4.00
Bouteloua ramosa	5146	Perenne	Erecto	34.36	Ausentes	0.23	1.26	4.36
Bouteloua barbata var. barbata	5146A	Anual	Decumbente	7.46	Ausentes	0.90	1.23	1.60
Bouteloua ramosa	5147	Perenne	Erecto	31.00	Ausentes	0.30	1.46	3.43
Bouteloua barbata var. barbata	5147A	Anual	Decumbente	8.53	Ausentes	1.00	1.26	2.26
Bouteloua barbata var. barbata	5148A	Anual	Decumbente	12.50	Ausentes	1.00	1.26	3.40
Bouteloua barbata var. barbata	5149A	Anual	Decumbente	9.90	Ausentes	0.96	1.36	2.36
Bouteloua barbata var. barbata	5150A	Anual	Decumbente	10.76	Ausentes	0.83	1.36	2.50
Bouteloua ramosa	5156	Perenne	Erecto	47.75	Ausentes	0.23	1.06	5.20

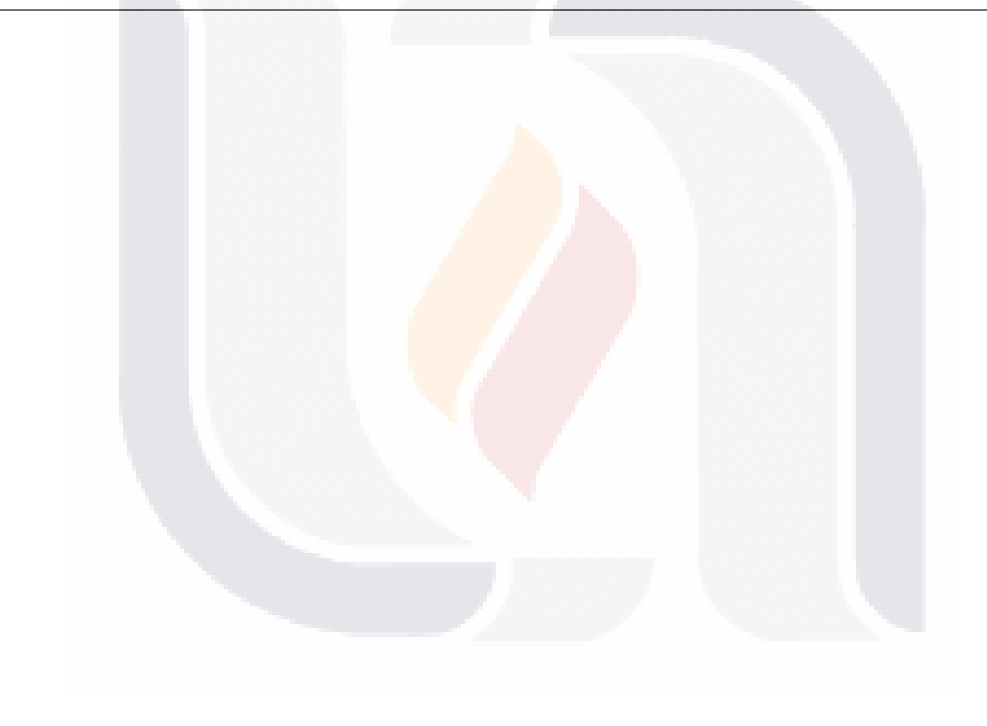
- 109 -

ANEXO E. Continuación.

			Tall	0		Ancho de	Lámi	na foliar
Taxón	No. de colecta	Ciclo	Aspecto	Longitud cm	Estolones	lígula mm	Anch o mm	Longitu d cm
Bouteloua barbata var. barbata	5160	Anual	Decumbente	11.56	Ausentes	0.96	1.20	2.70
Bouteloua barbata var. barbata	5161	Anual	Decumbente	13.06	Ausentes	0.90	1.10	2.83
Bouteloua barbata var. barbata	5162	Anual	Decumbente	16.46	Ausentes	0.86	1.33	2.16
Bouteloua barbata var. barbata	5163	Anual	Decumbente	8.06	Ausentes	0.53	1.23	2.50
Bouteloua barbata var. barbata	5164	Anual	Decumbente	14.13	Ausentes	1.00	1.33	2.46
Bouteloua barbata var. barbata	5167	Anual	Decumbente	8.36	Ausentes	1.26	1.43	2.16
Bouteloua barbata var. barbata	5177	Anual	Dec <mark>umbe</mark> nte	6.33	Ausentes	1.03	1.36	2.53
Bouteloua barbata var. barbata	5178	Anual	D <mark>ecumbe</mark> nte	11.93	Ausentes	0.76	1.16	2.73
Bouteloua barbata var. barbata	5179	Anual	Decumbente	5.76	Ausentes	0.90	1.00	3.06
Bouteloua barbata var. barbata	5180	Anual	Decumbente	10.46	Ausentes	0.76	0.90	1.63
Bouteloua barbata var. barbata	5181	Anual	Erecto	16.43	Ausentes	1.23	1.63	4.23
Bouteloua barbata var. rothrockii	5226	Perenne	Erecto	30.96	Ausentes	1.10	1.86	5.36
Bouteloua barbata var. rothrockii	5227	Perenne	Erecto	33.90	Ausentes	1.16	1.86	6.93
Bouteloua barbata var. rothrockii	5228	Perenne	Erecto	32.80	Presentes	1.00	1.70	4.56
Bouteloua barbata var. rothrockii	5229	Perenne	Decumbente	26.73	Presentes	1.13	1.60	3.83
Bouteloua barbata var. rothrockii	5230	Perenne	Erecto	26.46	Ausentes	1.13	1.66	3.93
Bouteloua barbata var. rothrockii	5231	Perenne	Decumbente	29.46	Ausentes	1.16	1.86	6.00
Bouteloua barbata var. rothrockii	5232	Perenne	Erecto	29.16	Ausentes	1.16	1.76	6.56
Bouteloua barbata var. barbata	5233	Anual	Decumbente	6.50	Ausentes	0.66	1.06	1.86
Bouteloua barbata var. rothrockii	5249 (A)	Perenne	Decumbente	45.10	Ausentes	1.10	1.43	5.53
Bouteloua barbata var. rothrockii	5250 (B)	Perenne	Decumbente	37.13	Presentes	1.13	1.73	5.40
Bouteloua barbata var. barbata	5251 (C)	Anual	Decumbente	2.30	Ausentes	1.03	1.03	1.70
Bouteloua barbata var. barbata	5257 (I)	Anual	Decumbente	7.50	Ausentes	1.13	1.23	2.90
Bouteloua barbata var. barbata	5263 (O)	Anual	Decumbente	12.40	Ausentes	0.66	1.60	2.03

- 110 -

			Tall	o		Ancho de	Ancho de Lámi	
Taxón	No. de colecta	Ciclo	Aspecto	Longitud cm	Estolones	lígula mm	Anch o mm	Longitu d cm
Bouteloua barbata var. barbata	5264 (P)	Anual	Decumbente	8.60	Ausentes	1.03	1.06	2.36
Bouteloua barbata var. barbata	2478	Anual	Decumbente	15.30	Ausentes	0.83	1.26	1.93
Bouteloua barbata var. sonorae	1309	Perenne	Decumbente	8.60	Presentes	1.00	1.23	1.43



ANEXO E. Continuación

		R	amas			Espiguillas		Pubescencia	-
Taxón	No. de colecta	No. de ramas por inflorescencia	Ancho mm	Longitud cm	No. de espiguillas por rama	Ancho mm	Longitud mm	de base papilosa en 2da gluma	Aristas en pálea
Bouteloua ramosa	5408	2	4.60	1.83	32	1.83	4.83	Ausente	Ausente
Bouteloua ramosa	5409	2	5.35	2.40	42	2.76	5.80	Ausente	Ausente
Bouteloua ramosa	5410	2	5.00	2.26	41	3.06	4.83	Ausente	Ausente
Bouteloua ramosa	5411	2	5.73	2.80	42	3.60	5.76	Ausente	Ausente
Bouteloua ramosa	5412	2	6.60	2.53	35	3.10	5.63	Ausente	Ausente
Bouteloua barbata var. barbata	5413	4	2.86	1.70	33	1.63	3.70	Ausente	Presente
Bouteloua barbata var. barbata	5414	5	2.43	2.00	38	1.16	3.33	Ausente	Present
Bouteloua barbata var. barbata	5415	5	3.96	1.70	34	2.06	3.56	Ausente	Present
Bouteloua barbata var. barbata	5416	5	2.96	1.43	29	1.30	3.66	Ausente	Present
Bouteloua barbata var. barbata	5417	5	3.16	1.70	28	1.36	3.90	Ausente	Present
Bouteloua barbata var. barbata	5418	4	3.30	2.16	30	1.60	3.13	Ausente	Presente
Bouteloua barbata var. barbata	5419	5	3.10	2.26	42	2.53	3.06	Ausente	Present
Bouteloua barbata var. barbata	5420	6	3.33	2.06	37	2.36	3.20	Ausente	Present
Bouteloua barbata var. barbata	5421	5	3.56	2.13	33	1.86	3.80	Ausente	Present
Bouteloua barbata var. barbata	5422	5	3.03	2.53	40	1.70	3.60	Ausente	Present
Bouteloua ramosa	5437	2	5.03	2.16	37	2.53	5.20	Ausente	Ausente
Bouteloua ramosa	5438	2	5.13	2.60	37	3.50	5.33	Ausente	Ausente
Bouteloua ramosa	5439	3	4.86	2.93	36	2.76	6.10	Ausente	Ausente
Bouteloua ramosa	5440	2	5.20	3.23	41	3.16	6.06	Ausente	Ausente
Bouteloua ramosa	5441	1	5.66	2.33	36	3.50	6.00	Ausente	Ausente
Bouteloua ramosa	5442	2	4.53	2.63	36	2.73	5.43	Ausente	Ausente
Bouteloua barbata var. barbata	5446	4	2.86	2.33	37	1.66	3.80	Ausente	Present
Bouteloua barbata var. barbata	5444	6	3.06	2.95	41	1.43	2.93	Ausente	Present

ANEXO E. Continuación

Taxón		Rama	s		Esp	iguillas		Pubescencia	Aristas en pálea
	No. de colecta	No. de ramas por inflorescencia	Ancho mm	Longitud cm	No. de espiguillas por rama	Ancho mm	Longitud mm	de base papilosa en 2da gluma	
Bouteloua barbata var. barbata	5445	6	2.70	2.13	42	1.60	2.73	Ausente	Presente
Bouteloua barbata var. barbata	5447	5	2.66	1.96	36	3.00	1.66	Ausente	Presente
Bouteloua barbata var. rothrockii	5452	8	3.50	1.96	32	2.36	3.30	Ausente	Presente
Bouteloua barbata var. rothrockii	5453	9	3.36	2.63	49	1.53	3.70	Ausente	Presente
Bouteloua barbata var. rothrockii	5454	7	2.50	2.60	41	1.06	4.00	Ausente	Presente
Bouteloua barbata var. rothrockii	5455	5	2.06	2.16	39	1.10	3.63	Ausente	Presente
Bouteloua barbata var. rothrockii	5456	8	2.00	2.00	36	0.96	3.36	Ausente	Presente
Bouteloua barbata var. sonorae	5457	6	2.40	1.60	34	0.86	3.03	Ausente	Presente
Bouteloua barbata var. sonorae	5458	8	2. <mark>55</mark>	1.80	45	1.56	2.83	Ausente	Presente
Bouteloua barbata var. sonorae	5459	7	2.23	1.40	28	0.86	3.23	Ausente	Presente
Bouteloua barbata var. rothrockii	5460	6	3.10	2.93	41	2.26	4.70	Ausente	Presente
Bouteloua barbata var. rothrockii	5461	6	2.36	2.50	37	1.46	3.80	Ausente	Presente
Bouteloua barbata var. rothrockii	5462	7	3.76	2.23	37	1.96	3.86	Ausente	Presente
Bouteloua barbata var. rothrockii	5467	5	2.76	3.80	38	2.53	4.60	Ausente	Presente
Bouteloua barbata var. rothrockii	5468	9	3.26	3.30	56	8.66	3.90	Ausente	Presente
Bouteloua barbata var. rothrockii	5469	9	3.66	3.30	55	2.96	3.73	Ausente	Presente
Bouteloua barbata var. rothrockii	5470	9	3.36	3.13	46	2.40	3.96	Ausente	Presente
Bouteloua barbata var. rothrockii	5471	10	4.26	3.23	60	3.33	4.23	Ausente	Presente
Bouteloua barbata var. rothrockii	5473	10	3.16	2.53	43	2.40	3.96	Ausente	Presente
Bouteloua barbata var. rothrockii	5474	9	3.23	3.43	53	2.33	4.03	Ausente	Presente
Bouteloua barbata var. rothrockii	5475	7	3.80	3.23	57	2.20	4.13	Ausente	Presente
Bouteloua parryi var. gentryi	5476	5	3.36	2.20	42	2.96	3.73	Presente	Presente

ANEXO E. Continuación

Taxón		Ramas			Esp	iguillas			
	No. de colecta	No. de ramas por inflorescencia	Ancho mm	Longitud cm	No. de espiguillas por rama	Ancho mm	Longitud mm	Pubescencia de base papilosa en 2da gluma	Aristas en pálea
Bouteloua parryi var. gentryi	5477	6	4.23	2.16	43	3.70	4.13	Presente	Presente
Bouteloua parryi var. gentryi	5478	5	3.30	1.66	38	1.73	3.20	Presente	Presente
Bouteloua parryi var. gentryi	5479	4	3.86	2.23	40	3.40	3.50	Presente	Presente
Bouteloua parryi var. gentryi	5480	4	3.23	1.90	36	3.03	3.86	Presente	Presente
Bouteloua parryi var. gentryi	5481	5	4.16	2.43	37	2.90	3.96	Presente	Presente
Bouteloua parryi var. gentryi	5482	3	2.76	1.33	24	2.86	3.90	Presente	Presente
Bouteloua parryi var. gentryi	5483	6	3.13	1.90	45	2.36	3.03	Presente	Presente
Bouteloua parryi var. gentryi	5484	5	4. <mark>60</mark>	2.16	41	2.96	4.26	Presente	Presente
Bouteloua parryi var. gentryi	5485	5	4 <mark>.10</mark>	1.90	33	3.06	3.60	Presente	Presente
Bouteloua parryi var. gentryi	5486	4	3.20	1.53	36	1.63	3.46	Presente	Presente
Bouteloua parryi var. gentryi	5487	4	3.16	1.30	33	2.40	3.16	Presente	Presente
Bouteloua parryi var. gentryi	5488	4	3.96	1.73	36	3.06	3.70	Presente	Presente
Bouteloua parryi var. gentryi	5489	6	3.76	2.03	40	2.83	3.83	Presente	Presente
Bouteloua parryi var. gentryi	5490	6	3.30	1.60	33	2.76	3.73	Presente	Presente
Bouteloua parryi var. gentryi	5491	6	3.26	1.70	31	2.50	3.40	Presente	Presente
Bouteloua parryi var. gentryi	5492	4	3.56	1.80	36	2.73	4.10	Presente	Presente
Bouteloua parryi var. gentryi	2493	5	4.16	1.70	28	3.26	4.06	Presente	Presente
Bouteloua parryi var. gentryi	5494	3	4.30	2.06	30	2.20	3.33	Presente	Presente
Bouteloua parryi var. gentryi	5495	4	3.63	1.76	33	2.30	3.60	Presente	Presente
Bouteloua parryi var. gentryi	5496	4	3.26	1.73	30	1.80	3.56	Presente	Presente
Bouteloua parryi var. gentryi	5497	4	3.60	2.06	47	2.13	3.86	Presente	Presente

ANEXO E. Continuación

Taxón		Ramas			Esp	iguillas			
	No. de colecta	No. de ramas por inflorescencia	Ancho mm	Longitud cm	No. de espiguillas por rama	Ancho mm	Longitud mm	Pubescencia de base papilosa en 2da gluma	Aristas en pálea
Bouteloua parryi var. gentryi	5500	4	4.20	2.03	33	1.93	4.06	Presente	Presente
Bouteloua parryi var. gentryi	5498	4	3.33	3.86	31	2.63	3.40	Presente	Presente
Bouteloua parryi var. gentryi	5499	5	3.76	1.56	36	2.76	3.80	Presente	Presente
Bouteloua parryi var. gentryi	5501	5	3.60	1.90	42	2.73	3.76	Presente	Presente
Bouteloua parryi var. gentryi	5502	3	3.83	1.66	29	2.16	3.76	Presente	Presente
Bouteloua parryi var. gentryi	5503	4	3.40	2.30	36	2.23	3.96	Presente	Presente
Bouteloua elata	114	11	5.10	2.86	53	2.83	6.23	Presente	Presente
Bouteloua elata	114 (A)	8	5.9 <mark>3</mark>	2.53	50	4.56	5.43	Presente	Presente
Bouteloua parryi var. parryi	2369(1)	5	3 <mark>.56</mark>	1.40	25	2.63	3.36	Presente	Presente
Bouteloua parryi var. parryi	2369(2)	3	4.16	1.90	38	3.16	4.30	Presente	Presente
Bouteloua parryi var. parryi	2369(3)	5	3.33	1.86	42	2.70	3.63	Presente	Presente
Bouteloua parryi var. parryi	2369(4)	4	4.06	1.73	32	2.66	4.13	Presente	Presente
Bouteloua ramosa	86	3	5.76	2.23	32	4.46	5.60	Ausente	Ausente
Bouteloua ramosa	87	2	5.43	2.50	39	3.66	5.73	Ausente	Ausente
Bouteloua ramosa	88	3	5.43	3.10	46	3.30	6.43	Ausente	Ausente
Bouteloua ramosa	89	2	5.40	3.06	44	3.83	6.90	Ausente	Ausente
Bouteloua ramosa	90	2	5.33	2.20	33	2.76	6.00	Ausente	Ausente
Bouteloua barbata var. barbata	126	3	2.36	1.66	24	2.13	3.46	Ausente	Presente
Bouteloua elata	2358 A	8	5.13	3.56	69	3.76	4.86	Presente	Presente
Bouteloua elata	2358 B	10	5.03	2.50	54	2.43	4.80	Presente	Presente
Bouteloua elata	2358 C	13	5.70	2.80	65	3.93	5.73	Presente	Presente

ANEXO E. Continuación

Taxón		Rama	s		Esp	iguillas			
	No. de colecta	No. de ramas por inflorescencia	Ancho mm	Longitud cm	No. de espiguillas por rama	Ancho mm	Longitud mm	Pubescencia de base papilosa en 2da gluma	Aristas en pálea
Bouteloua barbata var. barbata	10 (5)	7	2.96	2.13	40	2.00	3.96	Ausente	Presente
Bouteloua barbata var. barbata	10 (1)	6	3.40	2.30	40	1.90	4.33	Ausente	Presente
Bouteloua barbata var. barbata	10 (2)	5	2.73	1.90	42	2.36	3.66	Ausente	Presente
Bouteloua barbata var. barbata	10 (3)	7	3.06	2.30	41	2.83	4.33	Ausente	Presente
Bouteloua barbata var. barbata	10 (4)	6	2.90	1.70	35	1.80	4.10	Ausente	Presente
Bouteloua barbata var. barbata	10 (6)	8	3.10	2.10	37	2.40	4.36	Ausente	Presente
Bouteloua barbata var. barbata	10 (7)	6	2.90	1.66	35	2.00	3.46	Ausente	Presente
Bouteloua barbata var. barbata	10 (8)	7	3. <mark>16</mark>	1.93	38	1.93	3.93	Ausente	Presente
Bouteloua barbata var. barbata	10 (9)	7	3.23	2.06	41	1.73	3.83	Ausente	Presente
Bouteloua barbata var. barbata	10(10)	6	2.73	1.86	38	1.63	3.50	Ausente	Presente
Bouteloua barbata var. barbata	4558	3	2.43	2.00	21	1.66	3.76	Ausente	Presente
Bouteloua barbata var. barbata	4689	3	2.56	1.83	26	1.33	3.93	Ausente	Presente
Bouteloua barbata var. barbata	4800	5	2.63	2.06	36	1.93	3.00	Ausente	Presente
Bouteloua barbata var. barbata	4809	3	2.50	1.60	23	1.20	3.50	Ausente	Presente
Bouteloua ramosa	4814	2	3.66	1.86	26	1.40	4.73	Ausente	Ausente
Bouteloua barbata var. barbata	5110	4	2.63	1.90	28	1.53	3.86	Ausente	Presente
Bouteloua barbata var. barbata	5111	5	3.00	2.30	40	1.70	3.56	Ausente	Presente
Bouteloua ramosa	5124	2	4.26	1.80	27	1.30	3.16	Ausente	Ausente
Bouteloua ramosa	5125	2	5.30	2.06	41	1.06	5.66	Ausente	Ausente
Bouteloua ramosa	5126	2	5.13	2.13	37	0.96	5.86	Ausente	Ausente
Bouteloua ramosa	5130	1	4.60	1.96	34	1.53	5.30	Ausente	Ausente

ANEXO E. Continuación

Taxón		Rama	s		Esp	iguillas			
	No. de colecta	No. de ramas por inflorescencia	Ancho mm	Longitud cm	No. de espiguillas por rama	Ancho mm	Longitud mm	Pubescencia de base papilosa en 2da gluma	Aristas en pálea
Bouteloua barbata var. barbata	5147 A	3	2.90	2.20	26	1.70	4.56	Ausente	Presente
Bouteloua barbata var. barbata	5137	4	3.23	2.23	26	1.50	4.20	Ausente	Presente
Bouteloua ramosa	5144	2	4.46	2.20	30	1.36	5.80	Ausente	Ausente
Bouteloua ramosa	5145	1	4.83	1.96	35	1.70	4.96	Ausente	Ausente
Bouteloua ramosa	5146	2	5.10	1.76	24	2.03	5.63	Ausente	Ausente
Bouteloua barbata var. barbata	5146A	4	2.93	2.00	21	2.10	4.56	Ausente	Presente
Bouteloua ramosa	5147	1	5.06	2.06	38	2.43	4.83	Ausente	Ausente
Bouteloua barbata var. barbata	5148 A	5	2. <mark>63</mark>	2.33	33	1.56	3.63	Ausente	Presente
Bouteloua barbata var. barbata	5149 A	4	3 <mark>.73</mark>	2.36	30	1.86	4.36	Ausente	Presente
Bouteloua barbata var. barbata	5150A	4	2.13	2.16	33	1.43	3.43	Ausente	Presente
Bouteloua ramosa	5156	2	3.06	2.06	23	1.06	5.10	Ausente	Ausente
Bouteloua barbata var. barbata	5160	3	2.80	1.90	25	1.83	3.93	Ausente	Presente
Bouteloua barbata var. barbata	5161	4	3.40	1.36	26	2.10	4.00	Ausente	Presente
Bouteloua barbata var. barbata	5162	4	3.30	2.00	25	2.56	3.65	Ausente	Presente
Bouteloua barbata var. barbata	5163	5	1.73	1.96	33	1.10	3.30	Ausente	Presente
Bouteloua barbata var. barbata	5164	4	3.00	2.30	22	2.16	4.43	Ausente	Presente
Bouteloua barbata var. barbata	5167	5	2.83	2.26	31	1.53	4.16	Ausente	Presente
Bouteloua barbata var. barbata	5177	3	2.63	1.53	20	1.86	3.80	Ausente	Presente
Bouteloua barbata var. barbata	5178	4	2.80	2.00	19	2.93	4.16	Ausente	Presente
Bouteloua barbata var. barbata	5179	2	2.36	1.66	16	2.13	4.06	Ausente	Presente
Bouteloua barbata var. barbata	5180	3	2.40	1.93	21	1.86	4.10	Ausente	Presente

ANEXO E. Continuación

Taxón		Rama	s		Esp				
	No. de colecta	No. de ramas por inflorescencia	Ancho mm	Longitud cm	No. de espiguillas por rama	Ancho mm	Longitud mm	Pubescencia de base papilosa en 2da gluma	Aristas en pálea
Bouteloua barbata var. barbata	5233	3	2.86	1.40	16	2.06	3.33	Ausente	Presente
Bouteloua barbata var. barbata	5181	4	3.90	1.96	34	1.76	4.36	Ausente	Presente
Bouteloua barbata var. rothrockii	5226	6	3.16	2.63	58	2.20	3.10	Ausente	Presente
Bouteloua barbata var. rothrockii	5227	7	2.63	1.70	34	1.56	3.16	Ausente	Presente
Bouteloua barbata var. rothrockii	5228	6	3.13	1.96	46	2.23	3.40	Ausente	Presente
Bouteloua barbata var. rothrockii	5229	7	2.93	1.66	35	2.60	3.10	Ausente	Presente
Bouteloua barbata var. rothrockii	5230	7	3.06	2.33	49	1.76	3.30	Ausente	Presente
Bouteloua barbata var. rothrockii	5231	7	4. <mark>16</mark>	2.13	48	1.40	4.30	Ausente	Presente
Bouteloua barbata var. rothrockii	5232	7	3.40	2.03	44	1.83	4.10	Ausente	Presente
Bouteloua barbata var. rothrockii	5249 (A)	5	4.13	2.20	32	2.73	5.00	Ausente	Presente
Bouteloua barbata var. rothrockii	5250 (B)	6	3.60	3.03	41	1.80	4.80	Ausente	Presente
Bouteloua barbata var. barbata	5251 (C)	2	3.00	1.36	15	2.20	4.03	Ausente	Presente
Bouteloua barbata var. barbata	5257 (I)	4	3.26	1.66	19	1.86	4.63	Ausente	Presente
Bouteloua barbata var. barbata	5263 (O)	4	2.93	1.96	22	1.93	3.96	Ausente	Presente
Bouteloua barbata var. barbata	5264 (P)	4	3.33	1.63	13	2.00	3.76	Ausente	Presente
Bouteloua barbata var. barbata	2478	4	4.90	2.20	24	2.26	2.83	Ausente	Presente
Bouteloua barbata var. sonorae	1309	3	3.40	1.30	24	1.06	3.50	Ausente	Presente

